

РАДИО

АУДИО · ВИДЕО · СВЯЗЬ · ЭЛЕКТРОНИКА · КОМПЬЮТЕРЫ

7.5 пФ

MC13156

MMBR5179

100

68



В КОМ
Приемник
Контроль
Сигналы
Чип-Клуб

В КОМЕРЕ :

Синтезаторы частоты

УКВ - приемники ЦА7008

Контроллеры семейства 80C10

Радиусилители

ПЛДС фирмы ALTERA

Анонс 36



усилитель-ограничитель

№ 4 1996

ИЗДАЕТСЯ С 1924 ГОДА

4
1996

ВЫСТАВКА В ВЫСТАВКЕ



FT-3000M

Новинка от **YAESU**.

Прием от 110 до 900 MHz!
Передача от 144 до 146 MHz.
Выходная мощность 70 ватт!



Motorola GP-68

Без комментариев.



Впервые в мире —
ДУПЛЕКС

НА ОДНОЙ ЧАСТОТЕ!

HITACHI EUM-03SD/SWT



Motorola SM-120

Самая маленькая
автомобильная
радиостанция.



APELCO-530

GPS, Loran C и плоттер
в одном корпусе.

Связь-Экспоком

96

Павильон №1

Стенд

№1430

ЮНИКОМ

INTERNATIONAL COMMUNICATIONS

(095) 930-80-80

...И ЕЩЕ

БОЛЕЕ 300

ЭКСПОНАТОВ

РАДИО

4 • 1996

МАССОВЫЙ ЕЖЕМЕСЯЧНЫЙ
НАУЧНО-ТЕХНИЧЕСКИЙ ЖУРНАЛ

аудио • видео • связь
электроника • компьютеры

ИЗДАЕТСЯ С 1924 ГОДА

УЧРЕДИТЕЛЬ: РЕДАКЦИЯ
ЖУРНАЛА "РАДИО"

Зарегистрирован Комитетом РФ по
печати 21 марта 1995 г.
Регистрационный № 01331

Главный редактор

А.В. ГОРОХОВСКИЙ

Редакционная коллегия:

И.Т. АКУЛИНЧЕВ, В.М. БОНДАРЕНКО,
С.А. БИРЮКОВ (отв. секретарь),
А.М. ВАРБАНСКИЙ, А.Я. ГРИФ,
А.С. ЖУРАВЛЕВ, Б.С. ИВАНОВ,
А.Н. ИСАЕВ, Н.В. КАЗАНСКИЙ,
Е.А. КАРНАУХОВ, В.И. КОЛОДИН,
А.Н. КОРОТКОШКО, В.Г. МАКОВЕЕВ,
В.В. МИГУЛИН, С.Л. МИШЕНКОВ,
А.Л. МСТИСЛАВСКИЙ,
Б.Г. СТЕПАНОВ (зам. гл. редактора).

Художественный редактор

Г.А. ФЕДОТОВА

Корректор Т.А. ВАСИЛЬЕВА.

Компьютерная верстка

Ю. КОВАЛЕВСКАЯ.

Адрес редакции: 103045,

Москва, Селиверстов пер., 10

Телефон для справок и группы

работы с письмами — 207-77-28.

Отделы: общей радиотехники —

207-88-18;

аудио, видео, радиоприема

и измерений — 208-83-05;

микропроцессорной техники и тех-

нической консультации — 207-89-00,

оформления — 207-71-69,

группа рекламы и реализации —

208-99-45.

Тел./факс (095) 208-77-13;

208-13-11

"КВ-журнал" — 208-89-49

РВП "Символ-Р" — 285-18-41.

Наши платёжные реквизиты: почто-

вый индекс банка — 101000; для ин-

дивидуальных платёжников и органи-

зации г. Москва и области — ИНН

7708023424, ЗАО "Журнал Радио",

р/сч 400609329 в АКБ "Бизнес" в

Москве, МФО 44583478, уч. 74, для ин-

дивидуальных организаций-платёжни-

ков — р/сч 400609329 в АКБ "Бизнес",

МФО 201791, корр.сч. 478161600 в

РКЦ ГУ ЦБ

Редакция не несет ответственности за

достоверность рекламных объявлений.

Подписано к печати 01.03.1996 г.

Формат 60х84/8. Бумага мелованная

Гарнитуры "Гельветика" и "Прагма-

тика". Печать офсетная. Объем 8,0

печл., 4,0 бум л. Усл. печ. л. 7,4

В розницу — цена договорная

Подписной индекс по каталогу

"Роспечати" — 70772

Отпечатано ИПС Consulting LTD

(Vaasa Finland)

© Радио, 1996 г.

РАДИОКУРЬЕР

ТЕХНИКА НАШИХ ДНЕЙ

Я. Федотов ПЯТЬ "ПРОФЕССИЙ" СЕГНЕТОЭЛЕКТРИКОВ

ЛИЧНАЯ РАДИОСВЯЗЬ

И. Нечаев. S-МЕТР И ТРАКТ ПРИЕМА АМ СИГНАЛОВ В ПОРТАТИВНОЙ
ЧМ РАДИОСТАНЦИИ Ю. Виноградов. О СОГЛАСОВАНИИ МАЛОГАБАРИТ-
НЫХ АНТЕНН (с. 9)

ВИДЕОТЕХНИКА

А. Пескин. МИКРОСХЕМЫ TDA46** В МНОГОСИСТЕМНОМ ДЕКОДЕРЕ
ВИДЕОПРОЦЕССОР TDA4680 А. Кармызов. ПОДКЛЮЧЕНИЕ ПРИЕМНИ-
КА СДУ К ТЕЛЕВИЗОРАМ (с. 12)

ЗВУКОТЕХНИКА

А. Сырица. УМЗЧ С ЗАЩИТОЙ НАГРУЗКИ БЕЗ РЕЛЕ С.Агеев. РАЗВИТИЕ
ТЕХНИКИ МАГНИТНОЙ ЗАПИСИ. ИСТОРИЧЕСКИЕ ЗАМЕТКИ (с. 16)

ПРОМЫШЛЕННАЯ АППАРАТУРА

Л. Васильева. МАГНИТОЛА "ВЕГА РМ-252С"

РАДИОПРИЕМ

В. Гытенко. РАДИОПРИЕМНИКИ НА ОТЕЧЕСТВЕННОМ РЫНКЕ. И. Не-
чаев. УКВ ЧМ ПРИЕМНИК НА МИКРОСХЕМЕ КФ548ХА1 (с. 22)

СОВЕТЫ ПОКУПАТЕЛЯМ

С ЮМОРОМ, НО НЕ БЕЗ ЗДРАВОО СМЫСЛА!

МИКРОПРОЦЕССОРНАЯ ТЕХНИКА

"ОРИОН-128". "Z80-CARD". А. Фрунзе. КАК "ОЖИВИТЬ" КОМПЬЮТЕР (с. 29).

А. Жаров "Я ХОЧУ, ЧТОБЫ КАРТИНКА ОЖИЛА" (с. 33)

ИНТЕРВЬЮ НОРВЕКОМ-96 ТРАНКИНГ СЕГОДНЯ. DUPLEX НА ОДНОЙ
ЧАСТОТЕ? СКОЛЬКО ДОЛЛАРОВ В КИЛОБИТЕ? НАШЕ СБ

"РАДИО" — НАЧИНАЮЩИМ

А. Мохов. УПРАВЛЕНИЕ МОДЕЛЯМИ ПО РАДИО. КАК ЗДОРОВЬЕ, ТРАН-
ЗИСТОР? (с. 38) И. Городецкий. ОПРЕДЕЛИТЕЛЬ СТРУКТУРЫ И ВЫВО-
ДОВ ТРАНЗИСТОРА (с. 38) П. Алешин. СВЕТОДИОДНЫЙ ИЛИ СТРЕЛОЧ-
НЫЙ? (с. 39) Н. Герцен. НЕ ТОЛЬКО ТРАНЗИСТОРЫ, НО И ОУ (с. 41)

ЭЛЕКТРОННЫЕ МУЗЫКАЛЬНЫЕ ИНСТРУМЕНТЫ

В. Кожухов. УПРОЩЕННЫЙ РИТМ-БОКС

ЭЛЕКТРОНИКА В БЫТУ

С. Бирюков. МНОГОКАНАЛЬНАЯ СИСТЕМА ТРЕВОЖНОЙ СИГНАЛИЗАЦИИ

ЭЛЕКТРОНИКА ЗА РУБЕЖОМ

В. Банников. ПРОСТАЯ ПРИСТАВКА ДЛЯ ЗАЩИТЫ ЛАМП ФАР. А. Маслов.
ЭЛЕКТРОННЫЙ БЛОК ЭКОНОМАЙЗЕРА НА К54ВУН1 (с. 51)

РАДИОЛЮБИТЕЛЮ-КОНСТРУКТОРУ

А. Михайлов. СОПРЯЖЕНИЕ ОПТОПАР С МИКРОСХЕМАМИ КМОП. А. Гло-
тов. УСТРОЙСТВО ДИНАМИЧЕСКОЙ ИНДИКАЦИИ (с. 53)

ИСТОЧНИКИ ПИТАНИЯ

И. Лоскутов. КАК УМЕНЬШИТЬ ПУЛЬСАЦИИ БЛОКА ПИТАНИЯ

ЗА РУБЕЖОМ

ПРОГРАММАТОР НАСТРОЙКИ В УКВ ПРИЕМНИКЕ

СПРАВОЧНЫЙ ЛИСТОК

С. Бирюков. МИКРОСХЕМА K174ХА35. В. Фролов. "РАДИОЛЮБИТЕЛЬСКАЯ
ТЕХНОЛОГИЯ". УКАЗАТЕЛЬ ПУБЛИКАЦИЙ ЖУРНАЛА "РАДИО" (с. 59)

ПРОДАМ, КУПЛЮ, ОБМЕНЯЮ (с. 13) ОБМЕН ОПЫТОМ (с. 56). НАША КОНСУЛЬТА-
ЦИЯ (с. 61). ДОСКА ОБЪЯВЛЕНИЙ (с. 21, 24—26, 34, 43, 51, 54, 55, 62—66)

На первой странице обложки:



Ежемесячный журнал «CHIP NEWS»/Новости о микросхемах/
Электронные компоненты ведущих зарубежных и отечественных
фирм — обзоры, схемы, рекомендации к применению Журнал для
специалистов — инженеров и руководителей фирм, использующих
в разработках современную элементную базу. Издатель — НПК
«ТИМ».

Адрес редакции журнала «CHIP NEWS»:

Москва, 111141, Зеленый проспект, 2/19

Телефон (095) 306 0026, факс (095) 306 0283.

ШИРОКОФОРМАТНЫЕ ТЕЛЕВИЗОРЫ НА ЕВРОПЕЙСКОМ РЫНКЕ

Маркетинговые службы ведущих фирм производителей телевизоров изучили рынок потребления широкоформатных телевизоров (16:9) на европейском континенте. Несмотря на то, что разные фирмы имеют некоторые расхождения в оценках и выводах, однако одинаково трактуют тенденции развития.

В странах, объединившихся в общеевропейское сообщество (Бельгия, Нидерланды, Люксембург, Дания, Франция, Греция, Испания, Португалия, Германия, Великобритания и Италия), в 1994 г. парк таких телевизоров составлял около 200 тыс. штук. Но и в странах, не вошедших в сообщество

форматных телевизоров по прогнозам проведенных исследований сохранится вплоть до 1997 г., когда парк будет насчитывать около 2 млн таких телевизоров.

В ходе исследований проводился и опрос потенциальных покупателей для выявления причин, сдерживающих рост приобретения телевизоров. На основании ответов респондентов установлено:

— 56 % хотят иметь широкий экран, их привлекает более выразительный образ картин;

— основной сдерживающий фактор приобретения телевизора — их цена;

— желание приобрести широкоформатный телевизор будет сопровождаться желанием иметь модель определенной фирмы;

— клиенты склонны заплатить за широкоформатный та-

МОЩНЫЙ УСИЛИТЕЛЬ

В АОТ "ЦКБ-связь" разработан малогабаритный макет транзисторного усилителя с выходной мощностью 5 кВт, который может найти самое широкое применение в проводном вещании, используемом для звукоусиления, вибростимуляции и других целей.

Выходную мощность обеспечивает один выходной каскад, а на несколько блоков, что позволит уменьшить габариты, улучшить технологичность производства и эксплуатацию, значительно снизит стоимость усилителя по сравнению с известными усилителями аналогичной и меньшей мощности.

Выходной каскад, работающий в режиме коммутации при напряжении питания в зависимости от уровня сигнала, позволяет получить весьма высокий КПД как при синусоидальном, так и при вещательном сигналах.

Габариты макета усилителя: ширина — 300, высота — 800 и глубина — 500 мм; масса — не более 150 кг, что заметно меньше, чем у существующих ламповых. Это позволяет эффективно использовать усилитель как в стационарных условиях, так и в передвижных установках.

Основные технические характеристики усилителя отвечают требованиям к усилителям 1-го класса проводного вещания. Питается усилитель от трамвайной сети, но сохраняет работоспособность на вещательном сигнале при наличии только одной (любое) фазы. Отсутствие ключевого режима ШИМ в выходном каскаде исключает помехи как для высококачественных каналов трамвайного вещания, так и для радиоприемников.

"Вестник связи"

НЕСГОРАЕМЫЙ ТЕЛЕВИЗОР

Самовозгорание телевизора знакомо многим россиянам — кому понаслышке, а кто-то был и печальным свидетелем буйной стихии. Однако это малопривлекательное явление присутствует не только отечественным телеприемникам. По всей вероятности, оно свойственно и их зарубежным собратьям. Чем еще можно объяснить появление в немецком журнале "VDI-Nachrichten" (1994 г., № 12) приятного сообщения о том, что фирмой "ЛевеОпта" начата разработка новой модели телевизора, в которой просто нечему гореть. В этой конструкции предполагается кор-

пус выполнить из тонкого стального листа вместо обычных пластмасс или древесностружечных плит. И внутри корпуса конструкторы исключают применение пластмасс — гетинакса и стеклотекстолита. Традиционный материал для изготовления монтажных плат заменят керамикой. Пластмасса, в виде изоляционного материала, останется только на проводах. Но и в этом случае будут применены специальные искусственные материалы, которые при горении не выделяют ядовитых компонентов. В результате на 8 кг пластмассы в новом телевизоре останется не более 50 г.

Удельный вес керамики и стали, конечно, выше, чем у пластмасс, но конструкторы надеются, что это не отразится на увеличении веса нового телевизора. Такая уверенность имеет под собой почву: подобная технология уже используется при производстве военной и космической техники, но впервые предпринимается попытка внедрить ее в бытовую радиотехнику. Журнал умалчивает, в какую стоимость это выльется для потребителей.

МЕЖДУНАРОДНОЕ СОТРУДНИЧЕСТВО В КОСМОСЕ

В феврале в г. Калининграде (Московская обл.) состоялось знаменательное событие: подписано соглашение о стратегическом партнерстве между РАО "Газпром", ракетно-космической корпорацией (РКК) "Энергия" им. С. П. Королёва, АО "Газком" и американскими компаниями Loral и Space Systems/Loral (SS/L) в области создания и эксплуатации систем спутниковой связи и телевидения, экологического мониторинга и других проектов на базе высоких технологий.

Компания Loral является известным в мире производителем электроники, систем управления и моделирования для оборонных программ, космических и телекоммуникационных систем. Компания SS/L производит спутники связи, метеоспутники, бортовые ретрансляторы, антенны, компьютеры, энергосистемы и т. д.

В соответствии с соглашением в 1997 г. предстоит запустить двух геостационарных спутников связи "Ямал", отвечающих лучшим зарубежным аналогам (срок активного существования 10 лет; точность удержания на орбите 0,1°; полная пропускная способность 12500 каналов и т. д.). Работы в этой области успешно осуществляются. Спутники "Ямал" будут использоваться для развития телекоммуникаций в ин-



Широкоформатный телевизор фирмы "Nokia".

(Австрия, Финляндия, Норвегия, Швейцария, Швеция), таких телевизоров не меньше — 220 тыс. штук.

В 1995 г. ожидалась дальнейший рост числа приобретаемых широкоформатных телевизоров в каждой из групп стран примерно на полмиллиона. В Германии, например, этот рост, как и прогнозировалось, составил с 50 до 150 тыс. Увеличение числа телевизоров в стране сопровождается расширением программ, передаваемых по системе PALplus, обеспечивающей более полное функциональное использование телевизоров новой модели.

Во Франции в 1993 г. доля продаж широкоформатных телевизоров едва достигала 0,5 %, в 1994 г. она приблизилась к 1 %. В 1995 г. отмечено возрастание парка телевизоров новой модели со 100 тыс. до 200 тыс. Тенденция ежегодного удвоения продаж широ-

ковизор цену, не превышающую более чем на 28 % стоимость обычного формата (4:3 или 4:5 с равносторонней диагональю экрана).

"Radioelektronik
Audio-Hifi-Video"

ВАМ УЛЫБАЕТСЯ РОБОТ

Японский инженер Фумио Хара создал робота, которому доступна "человеческая" мимика. На механическом черепе с 18 пневмоцилиндрами натянута маска из силиконового каучука. Пневматика, управляемая микропроцессором, движет участками маски, меняя выражение "лица" робота. Но до всех тонкостей человеческой мимики робот пока не дотягивает — все-таки у человека не 18, а 26 мимических мышц.

"Geo"

тересах "Газпрома" и других потребителей услуг связи, организации телевизионного и радиовещания. Решено также производить и продавать геостационарные и высокоскоростные спутники связи и ТВ на базе космических платформ "Ямал" и бортового оборудования SS/L, участвовать в развитии международных спутниковых мобильных систем связи, а также в ряде других проектов в области спутниковой связи.

ФИЛЬТР ЗАЩИТИТ ЭЛЕКТРОНИКУ ОТ ЭЛЕКТРОМАГНИТНЫХ ПОМЕХ

Фирма "Эконика-Техно" предлагает новый сетевой помехоподавляющий трансформаторный фильтр. Защита от импульсных и высокочастотных радио- и электромагнитных помех — необходимое условие эксплуатации электронной техники, так как они присутствуют в любой электрической сети и являются одной из причин сбоев в работе.

Трансформаторный фильтр разработан специально для совместного использования с любыми электронными устройствами, восприимчивыми к помехам в питающей электросети (персональные компьютеры, средства связи, мини-АТС, медицинская и научная аппаратура и др.). Он не только подавляет импульсы, но и стабилизирует на выходе напряжение на номинальном уровне. Гальваническая развязка от внешней сети позволяет обходиться без специального заземления для подключения компьютеров и оргтехники, обеспечивает безопасность персонала от поражения электрическим током при работе с оборудованием. Еще одна отличительная особенность трансформаторного фильтра — он существенно затрудняет несанкционированный доступ к информации по сети питания.

"Инженерная газета"

2000 \$ ЗА СТАРЫЙ КОМПЬЮТЕР!

Если у вас есть старый 386-й компьютер "Toshiba T3200SXС", то вам явно повезло: вы можете кому-то спасти жизнь и при этом не остаться внакладе. Компания Toshiba собирает эти компьютеры и передает их на сердечные стимуляторы. А тот, кто сдаст свой старый компьютер "T3200SXС", получит скидку до 2000 долларов при покупке

нового портативного компьютера типа "notebook" производства Toshiba.

"Известия из Лондона"

НОВЫЙ ПЕЙДЖЕР

Первую презентацию нового пейджера "Messenger LUX" фирма PHILIPS провела в России в феврале и только в марте-апреле предлагает провести его презентацию в Европе. Представители фирмы отметили, что они рассматривают Россию как важнейшего партнера в деле продвижения на рынок современных высо-

альных затрат на модификацию уже используемого оборудования предыдущего поколения. Россия же готова взять для внедрения самые развитые технологии и средства.

Новый пейджер — единственный в мире с восьмиструнным дисплеем, что позволяет отображать большие объемы информации. Наряду с полным набором функциональных возможностей, он имеет большую память и может хранить до 99 сообщений длиной до 120 символов каждое (при максимальной до 1000 символов). Пейджер полностью русифицирован, причем отличается



ких технологий средств персонального радиовызова (пейджинга). Это направление весьма быстро развивается в нашей стране, причем отставание России в этой отрасли связи в известном смысле сыграло в данном случае положительную роль. В Европе, где пейджеры уже получили широкое распространение, наблюдается естественная консервативность во внедрении новых технологий, поскольку это требует заметных матери-

альных затрат на начертание букв русского алфавита. Масса пейджера 110 грамм, включая источник питания, которые обеспечивают работу в течение 12 недель.

ЦИФРОВОЙ ВИДЕОКЛ

После трудных переговоров и обмена пресс-коммюнике между Philips-Sony, с одной стороны, и

Toshiba-Matsushita — с другой (см. "Радио", 1996, № 2), достигнута договоренность о спецификации на цифровые видеодиски, — сообщает французская газета "Трибюн".

В целом видеодиск DVD (Digital Video Disc) будет выполняться по техническим решениям, предложенным совместно компаниями Toshiba и Matsushita: диаметр 120 мм и толщина 0,6 мм, склеен с аналогичным для того, чтобы получить двусторонний лазерно-оптический диск вместимостью по 4,7 Гб с каждой стороны (это соответствует более чем двухчасовому фильму).

По признанию специалистов, возможности мирового рынка DVD, т. е. товаров широкого применения (фильмы, игры, каталоги заочной торговли), огромны. Согласно оценкам, в 2000 г. объем мирового рынка проигрывающих устройств DVD достигнет 120 млн единиц, тогда как совокупные продажи видеомассовых устройств составляют сейчас 40 млн единиц. Первые видеопроигрыватели нового формата DVD, по заверениям экспертов Thomson multimedia, должны поступить в продажу в конце 1996 г. Их цена на французском рынке предположительно составит 500–600 долл.

Газета "Трибюн" приводит также список будущих производителей цифровых видеодисков: Matsushita Electric Ind. (Япония), Toshiba Corp. (Япония), Time Warner Inc. (США), Thomson Multimedia (Франция), Sony Corp. (Япония), Philips Electronics N.V. (Нидерланды), Hitachi Ltd. (Япония), Mitsubishi Electric Corp. (Япония), Victor Co. of Japan — JVC (Япония), MCA Universal (США), Paramount (США).

"Инженерная газета"

Среди постоянных зрителей учебной передачи "Компьютерная энциклопедия", посвященной различным вопросам применения компьютеров, редакция журнала "Радио" провела лотерею — был разыгран современный персональный компьютер. Приз достался москвичке Ирене Качеливской, которой он очень пригодится для ее будущей профессиональной деятельности.

На вешнем фото — счастливая обладательница приза.

Фото В.Афанасьева



ПЯТЬ «ПРОФЕССИЙ» СЕГНЕТОЭЛЕКТРИКОВ

Я. ФЕДОТОВ, докт. техн. наук, г. Москва

Наука и практика открывают немало новых путей создания электронных приборов и устройств на основе "неизвестных" свойств давно известных и широко применяемых в радиотехнике материалов — диэлектриков или изоляторов. Оказывается, один из них — сегнетоэлектрик, обретает в электронике самые различные "профессии" благодаря удивительным способностям своеобразно реагировать на электрическое поле, свет, тепло, механические воздействия. Об этом и рассказывает статья известного популяризатора достижений электроники, нашего постоянного автора профессора Я. А. Федотова.

Магнитные эффекты известны более двух тысяч лет. Использовали природные магниты в компасах в Китае. В первом веке до нашей эры римский поэт и философ Лукреций описывал магнетизм в поэме "О природе вещей". К 1600 г. было уже известно, что Земля представляет собой магнитный диполь и что разделяют северный и южный полюса магнита невозможно. В конце XVIII — начале XIX веков немецкий врач Месмер пытался использовать свойства магнитных материалов в медицине.

С развитием электротехники, а затем и электроники, эти материалы начали применяться особенно широко. В частности, например, можно назвать устройства памяти на цинкдирических магнитных доменах (ЦМД) — локальных динамических неоднородностях, вектор магнитной поляризации которых направлен в сторону, противоположную направлению поляризации окружающей среды. Этой средой является ферромагнитная пленка. Однако довольно долго ученые не догадывались, что у магнитных эффектов есть свой электрический аналог. И даже узнав об этом, не использовали его так же широко, как магнитные эффекты.

В электронике мы привыкли делить все вещества на три основных категории: проводники, полупроводники и диэлектрики или изоляторы. При этом предполагается, что у проводников (чаще всего это металлы) используют их проводящие свойства, а у диэлектриков — изолирующие. И лишь полупроводники вроде бы обладают широким набором магнитных свойств, позволяющих создавать транзисторы и интегральные схемы, светодиоды и фотоприемники, силовые выпрямители и солнечные батареи.

Однако при более детальном рассмотрении выяснилось, что и диэлектрики способны выполнять не только функции изоляторов. Некоторые из них могут реализовывать такие возможности, которые оказываются не под силу полупроводникам. Речь идет об одной из групп диэлектриков — сегнетоэлектриках и их замечательных свойствах.

Само название "сегнетоэлектрик" происходит от сегнетовой соли — двойной натриево-кальевой соли винной кислоты, открытой французским аптекарем Э. Сегнетом (E. Selgneite) в середине XVII века.

Прошло более 250 лет, прежде чем было обнаружено, что кристаллы сегне-

товой соли обладают свойством электрической поляризации, похожей на магнитную поляризацию магнитов — ферромагнетиков. Произошло это в 1920 г. Несколько позже аналогичные свойства были обнаружены и у дигидрофосфата калия. Число веществ, обладающих этим свойством электрической поляризации неуклонно возрастало. По аналогии с ферромагнетиками в англоязычных странах эти материалы получили название ферроэлектриков. У нас они носят название сегнетоэлектриков.

Пленка сегнетоэлектрика состоит из большого числа доменов. Если "центры тяжести" положительных и отрицательных зарядов не совпадают, то у домена появляется вектор электрической поляризации. Суммарный эффект поляризации отдельных доменов и дает самопроизвольную (спонтанную) поляризацию. Одним из внешних факторов, воздействующих на образец, может являться электрическое поле. Под действием этого поля доменные границы смещаются так, что число доменов, поляризованных по направлению внешнего поля, увеличивается за счет доменов, поляризованных против сил поля. В сильном поле образец становится однодоменным.

Приложение сильного электрического поля противоположного направления в некоторой локальной площади поверхности может привести к переполаризации доменов внутри объема образца в границах этой площади.

При рассмотрении этого явления в сегнетоэлектриках и магнитных свойствах в ферромагнетиках достаточно ясно проливается некоторая аналогия механизмов изменений в этих двух категориях материалов. Однако она далеко не полная.

В ферромагнетиках магнитную поляризацию мы наблюдаем непосредственно,

Это объясняется тем, что не существует магнитных зарядов двух противоположных знаков, которые могли бы компенсировать магнитную поляризацию. А в сегнетоэлектриках спонтанная или вынужденная поляризация регистрируется как динамика процесса изменения поверхностной плотности зарядов под воздействием, например, внешнего электрического поля. Дало в том, что поляризация компенсируется натекающими подвижными электрическими зарядами на поверхности и в объеме.

Тем не менее именно эффект поляризации в сегнетоэлектриках дает возможность создавать энергонезависимые устройства памяти, носители информации в которых будут домены переполаризации.

Такие устройства памяти, не утрачивающие информации при отключении источников питания, имеют определенные преимущества перед ячейками памяти, в основе которых лежат МДП-структуры и накопление заряда происходит на границе раздела "диэлектрик-полупроводник".

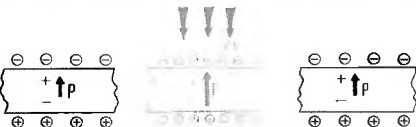
Существует точка зрения, что сегнетоэлектрическая технология позволяет получить энергонезависимую память проще и быстрее, чем любая из существующих сегодня в микроэлектронике технологий. При этом, правда, оговаривается, что у сегнетоэлектрических запоминающих устройств, построенных на принципах поляризации, ограничена долговечность — сегнетоэлектрики будут иметь тенденцию к "размагничиванию". По американскому статистике современные устройства, построенные на этом принципе, имеют заданную износоустойчивость в 10^{11} циклов при десятилетнем сроке ввода и вывода данных. При этом по существующим прогнозам в ближайшее время уровень долговечности сегнетоэлектрических СЗУ повысится до 10^{12} и, возможно, до 10^{13} циклов, что будет соответствовать примерно 30 годам.

Таким образом, энергонезависимая память — это первая и весьма перспективная "профессия" сегнетоэлектриков.

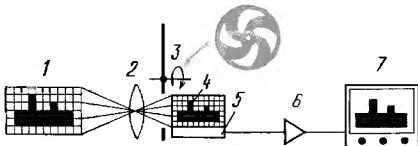
Вторая относится к области технического зорения — визионике, причем в первую очередь при работе в ИК-области спектра и без глубокого охлаждения.

Техническое зрение в ИК-области является довольно давней и очень важной проблемой, связанной не только с "ночным зрением", но и с наблюдением за тепловыми полями, например, за некоторыми сложными технологическими процессами, а также в медицинской практике.

В первых ИК-камерах использовались в качестве детектора фотодиоды на узкозонных полупроводниках. Однако для работы в диапазоне 3–5 мкм, и особенно в диапазоне 8–14 мкм, что представляет наибольший интерес, требовалось их глубокое охлаждение — до температур жидкого азота. В этой связи вспоминаю о возможности создания неохлаждаемых ИК-камер на базе сегнетоэлектриков, кото-



Динамика изменений поверхностной плотности зарядов в сегнетоэлектриках под воздействием ИК-лучей — сегнетоэлектрик до облучения, во время облучения и после него.



Получение изображения с помощью неохлаждаемого матричного приемника ИК-излучения, помещенного в фокальной плоскости: 1 — объект наблюдения; 2 — оптика; 3 — модулятор; 4 — матрица ИК-приемников; 5 — система считывания; 6 — система обработки сигнала; 7 — дисплей.

рые обладают еще и пьезоэлектрическими свойствами. Термин "пирозлектрик" происходит от греческого "pyr" — огонь. Смысл этого эффекта заключается в следующем. На спонтанную поляризацию действует не только электрическое поле, но и изменение температуры. Под действием ИК-излучения, падающего на образец, меняются его температура, поляризация и плотность поверхностного заряда. Время перехода электромагнитной энергии фотона в тепловую энергию (термализация фотона) очень мало. Оно составляет $10^{-11} \dots 10^{-12}$ с. Поскольку наблюдение сигнала в статике оказывается невозможным, приходится прибегать к модулированию потока ИК-излучения. Для наиболее полного использования энергии ИК-излучения поверхность образца покрывают слоем алюминиевой или платиновой черны, что обеспечивает коэффициент поглощения, близкий к 100%.

Изменение плотности поверхностного заряда можно считать с помощью электронного луча с пьезоэлектрической мыши, как это имеет место в обычном видеониз, у которого мышь из узкозонного полупроводника. В данном случае это будет видикон с пьезоэлектрической мышью или пировидикон. Однако развитие техники приборов с зарядовой связью (ПЗС), как линейных, так и матричных, делает этот вариант более перспективным. Приборы с зарядовой связью не требуют ни вакуума, ни высоких напряжений. Они надежнее уже хотя бы потому, что не имеют подогреваемого катода. Тем не менее здесь приходится решать серьезную задачу совмещения технологии пирозлектрических слоев с технологией полупроводниковой электроники.

Другая серьезная проблема — преодоление несовместимости чувствительности отдельных элементов в матрице. Один из возможных путей устранения этого эффекта — подвергнуть всю матрицу облучению с одинаковой интенсивностью, а различия в величине считываемых сигналов записать в память. При эксплуатации камеры по данным памяти в сигнал вносятся соответствующая поправка. Используются также в камерах и механический модулятор. Он представляет собой диск с прорезями. При вращении диска матрица чувствительных элементов открывается и закрывается на одинаковые интервалы времени. Чувствительный элемент нагревается в "открытый" период и охлаждается в "закрытый". Скорость вращения диска должна быть такой, чтобы обеспечивать максимальное накопление энергии сигнала, с одной стороны, но и не выходить в режим насыщения — с другой. В принципе возможен также не только механический, но и электронно-оптический модулятор.

Таким образом, второй "профессий" сегнетоэлектриков является создание приборов на базе пьезоэффектов, дающих возможность конструировать неохлаждаемые ИК-камеры, например, устройства ночного видения. Проблема эта, естественно, не столь проста, как может показаться на первый взгляд. Тем не менее переносные ИК-камеры диапазона 8...14 мкм весом в 2...3 кг являются сегодня реальностью.

Следует также отметить, что пьезоэлектрические приемники имеют весьма широкий спектральный диапазон, захватывающий и коротковолновые (1 мкм и 3...5 мкм) области. Рабочий диапазон камеры "вырабат" оптика — линзы и фильтры.

Особенность сегнетоэлектриков состоит и в том, что они являются не только пьезоэлектриками, но и пьезоэлектриками и реагируют на внешние механические воздействия. Механическая деформация кристалла вызывает появление электрического поля между металлическими контактами на поверхности пьезоэлектрика, и наоборот, электрическое поле, приложенное к металлическим контактам, вызывает деформацию кристалла между этими контактами. Здесь мы уже вступаем в область акустоэлектроники и акустооптики — третьей и четвертой "профессий" сегнетоэлектриков.

Акустоэлектроника, как и акустооптика основываются на основном на принципах возбуждения, распространения и преобразования так называемых поверхностных акустических волн — ПАВ. Не исключено при этом и использование обычных акустических волн, но поверхностные акустические волны используются более широко. Их можно назвать наиболее перспективными. Эффекты, связанные с использованием ПАВ, неоднократно описывались в технической литературе, поэтому мы ограничимся здесь лишь кратким напоминанием о сути и возможностях этих эффектов, связанных с сегнетоэлектриками.

Итак, в основе акустоэлектроники лежит взаимодействие акустических и электрических процессов в пьезоэлектрических материалах. Простейшим устройством акустоэлектроники будет являться линия задержки. На некотором расстоянии друг от друга на поверхности пленки материала, обладающего пьезоэлектрическими свойствами, нанесены две пары металлических электродов. Ширина каждой полосы, также как и расстояние между ними, равна $1/4$ длины волны. При подведении синусоидальных колебаний к первой паре электродов материал пленки между электродами будет расширяться или сжиматься в соответствии с изменением плотности приложенного напряжения. Возникающая при этом акустическая волна

распространится вдоль поверхности пленки в направлении второй пары электродов со скоростью звука в данной среде. При достижении акустической волны второй пары электродов в соответствии с деформацией материала пленки между электродами на них появится электрический сигнал той же частоты с отставанием от входного сигнала на время, определенное расстоянием между парами электродов и скоростью звука в данной среде.

Меняя конфигурацию электродов (их число, расстояние между ними, их длину и ширину), можно получать фильтры, настроенные на те или иные частоты, амплитудизировать импульсы, подаваемые на вход устройств.

Механические и электрические формы воздействия на пьезоэлектрик приводят помимо всего к изменению их оптических свойств. Меняются, в частности, коэффициент преломления.

В этом случае воздействие на пьезоэлектрик световым потоком приводит к определенным акустооптическим взаимодействиям. Распространение акустических волн в пьезоэлектрике вызывает периодическое изменение показателя преломления в ней, что, в свою очередь, приводит к возникновению структуры, аналогичной дифракционной решетке с периодом, равным длине акустической волны, и движущейся со скоростью звука.

Акустооптические устройства, создаваемые на этих принципах из сегнетоэлектриков, позволяют управлять амплитудой, поляризацией, спектральным составом светового сигнала и направлением светового пучка. К числу устройств, использующих принципы акустооптики, относятся дефлекторы, сканеры, модуляторы и оптические фильтры.

Отдельного упоминания здесь заслуживают акустооптические процессоры, обеспечивающие обработку больших массивов информации в реальном масштабе времени. Примером этому может являться преобразование Фурье или нахождение взаимной корреляции заданной функции с опорной. По сравнению с традиционными схемотехническими методами решения этих задач здесь мы получаем выигрыш в быстродействии на два-три порядка.

Акустоэлектронные и акустооптические устройства, устройства vision, использующие ПЗС в качестве мультиплексора, дефлекторы, сканеры и модуляторы представляют широкие возможности для интеграции различных физических эффектов в одном устройстве функциональной электроники, возможности использования интегральной электроники для обработки информации массивами, в одномоментных параллельных процессах, что резко повышает быстродействие систем.

И в заключение несколько слов о ятой "профессии" сегнетоэлектриков. Сегнетоэлектрики характеризуются обычно значительной величиной диэлектрической постоянной, что дает возможность их весьма успешно использовать в конденсаторной технике. Вблизи же точки Кюри диэлектрическая постоянная резко возрастает, что дает возможность использовать этот эффект для контроля и измерения температуры. Сильную зависимость диэлектрической постоянной от напряженности электрического поля используют в нелинейных конденсаторах — варикапах.

Таковы лишь "профессии" сегнетоэлектриков, позволяющих их с успехом использовать для создания широкого круга электронных приборов и устройств.

S-МЕТР И ТРАКТ ПРИЕМА АМ СИГНАЛОВ В ПОРТАТИВНОЙ ЧМ РАДИОСТАНЦИИ

И. НЕЧАЕВ, г. Курск

Если в Си-Би радиостанцию ввести S-метр, то это позволит не только оценивать силу сигналов корреспондентов, но и использовать ее как измерительный прибор при настройке и проверке антенного хозяйства, а совместно с направленной антенной — и как радиоспеленгатор.

Дополнить АМ радиостанцию S-метром несложно. Информацию об уровне сигнала можно снять с выхода АМ детектора или системы АРУ. В ЧМ радиостанциях сделать это не так просто.

Одно из возможных решений — "докомплектовка" ЧМ радиостанции АМ трактом из специализированной микросхемы. Это позволит ввести не только S-метр, но и режим приема АМ сигналов, что является дополнительным эксплуатационным удобством. Учитывая, что размеры портативных радиостанций невелики, в АМ тракте следует использовать малогабаритные детали. Здесь подойдет микросхема КФ548ХА1, которая представля-

ет собой АМ детектор с встроенным АМ трактом и специальным выходом на микроамперметр. Микросхема содержит активный полосовой фильтр, а это повышает избирательность. Схема АМ тракта и S-метра показана на рис. 1. Подключают этот узел к выходу пьезофильтра (465 кГц) ПЧ радиостанции с помощью короткого отрезка экранированного провода. Резистор R1 (его уста-

навливают у пьезофильтра) необходим для того, чтобы исключить шунтирование пьезофильтра и, как следствие, ухудшение чувствительности и избирательности тракта ЧМ. На транзисторе VT1 собран усилитель ПЧ, усиливающий сигнал примерно на 20 дБ. Минимальный уровень сигнала ПЧ, который индицирует прибор, 10...20 мкВ. С учетом усиления по ВЧ в самой радиостанции S-метр позволит индизировать уровень входных ВЧ сигналов, начиная с 1...2 мкВ.

Схема включения микросхемы в основ-

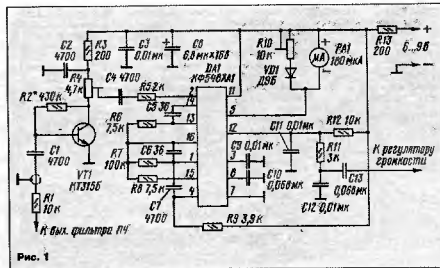


Рис. 1

ет собой тракт ПЧ АМ сигналов с встроенным АМ детектором и специальным выходом на микроамперметр. Микросхема содержит активный полосовой фильтр, а это повышает избирательность.

Схема АМ тракта и S-метра показана на рис. 1. Подключают этот узел к выходу пьезофильтра (465 кГц) ПЧ радиостанции с помощью короткого отрезка экранированного провода. Резистор R1 (его уста-

Продетектированный сигнал с конденсатора C13 подают через переключатель (на схеме не показан) на регулятор громкости радиостанции. Этот переключатель на два положения предназначен для коммутации режимов приема АМ/ЧМ. Его надо установить в корпусе радиостанции в удобном месте. Если режим приема АМ не нужен, то схему можно упростить. Для этого следует исключить конденсаторы

C11—C13 и резисторы R11, R12, а выводы 11 и 12 микросхемы DA1 соединить вместе.

В зависимости от конкретного типа радиостанции печатная плата S-метра может быть различной конфигурации. В случае, если есть свободное место по площади, но имеются ограничения по высоте, рекомендуется использовать плату, эскиз которой приведен на рис. 2. Она изготовлена из двустороннего фольгированного стеклотекстолита толщиной 1 мм. Одна сторона платы оставлена металлизированной и соединена по периметру в нескольких местах с общим проводом.

Устройством можно применить следующие детали: конденсатор C8 типа K53-18, остальные конденсаторы — КМ-6, К10-17; резисторы R4, R10 — СП3-19, СП3-28, остальные — МЛТ, P1-12 или другие малогабаритные. Микроамперметр PA1 — малогабаритный с током полного отклонения 100 мкА.

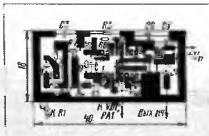


Рис. 2

Налаживанна производят после подключения устройства к радиостанции. Для калибровки S-метра потребуются генератор сигналов, настроенный на рабочую частоту. На вход радиостанции подают сигнал, соответствующий уровню чувствительности, и резистором R4 добиваются едва заметного отклонения стрелки индикатора PA1. Увеличивая уровень входного сигнала и удерживая стрелку прибора резистором R10 в пределах 70...80 мкА, отмечают такой уровень, когда это уже не приводит к длительному увеличению тока через микроамперметр. Это означает, что тракт ВЧ и преобразователи частоты вошли в зону ограничения. После этого уровень входного сигнала снижают до тех пор, пока ток через индикатор не начнет уменьшаться. Этот уровень фиксируют, и резистором R10 устанавливают стрелку прибора на конечную отметку шкалы. Затем градуируют шкалу в баллах или микровольтах.

Если нет генератора, для установок максимального уровня можно использовать другую радиостанцию, работающую на передатчике на той же частоте. Регулируют уровень сигнала в этом случае, меняя расстояние между антеннами радиостанций.

В заключение следует отметить, что с помощью АМ тракта оказалось возможным прием с удовлетворительным качеством ЧМ сигналов с частотой, отличной на 5 кГц от частоты настройки радиостанции.

О СОГЛАСОВАНИИ МАЛОГАБАРИТНЫХ АНТЕНН

Ю. ВИНОГРАДОВ, г. Москва

Антенны малого размера, длина которых много меньше половины длины волны, применяют в случаях, когда эксплуатация радиоаппарата с нормальной, полноразмерной антенной оказывается невозможной. Они нашли, в частности, широкое применение в аппаратуре охранной сигнализации и в портативных Си-Би радиостанциях, работающих в 11-метровом диапазоне. Электрические характеристики таких антенн имеют особенности, которые важно иметь в виду.

Резонансная частота короткой антенны будет, очевидно, значительно выше диапазона рабочих частот. Для понижения резонансной частоты в антенный контур вводят "удлиняющую" катушку, индуктив-

ности, качества и состояния ва проводников и изоляторов ($R_a + R_{\text{пот}} + R_{\text{кон}}$). Так, сопротивление излучения штыря длиной 45 см (штатной антенны радиостанции "Урал-Р") с проводящей поверхностью в качестве противовеса: $R_{\text{изл}} = 400(l/\lambda)^2 = 400(0,45/11)^2 = 0,7 \text{ Ом}$ (l — длина вибратора, λ — длина волны). И хотя с реальным противовесом (в портативных радиостанциях таким "противовесом" является сам оператор) R_a увеличивается до 5...15 Ом (в значительной мере за счет потерь в "противовесе"), но и тогда оно оказывается существенно меньше нормативных 60 или 75 Ом.

Невнимание к этим особенностям коротких антенн — установка такой антенны



Индикатор антенного тока.

ность которой компенсирует емкостную составляющую входного сопротивления короткого излучателя. Удлиняющую катушку обычно включают в разрыв вибратора у его основания, иногда — в середину. Нередко ее делают протяженной, излучающей. Такие антенны получили название спирально-штыревых. В последнее время большой популярностью стали пользоваться просто спиральные антенны, объединившие в себе обе функции: и излучателя, и удлиняющей катушки.

Особенностью так или иначе настроенной короткой антенны является ее относительно малое входное активное сопротивление (R_a). Его обычно представляют в виде двух составляющих: сопротивления излучения ($R_{\text{изл}}$), т. е. полезной нагрузки, и сопротивления потерь ($R_{\text{пот}}$), которое зависит от конструкции антенной

в свой аппарат без настройки и согласования — приводит обычно к разочарывающим результатам.

Но если с настройкой короткой антенны особых проблем не возникает (антенны заводского изготовления часто имеют встроенную индуктивность и на свой диапазон "вечерне" уже настроены, нередко допускают и подстройку "по месту"), то согласованию такой антенны, т. е. приведению ее R_a к величине, оптимальной для данного аппарата, должного внимания обычно не уделяют. Часто им просто пренебрегают.

На рис. 1 приведена схема одного из самых распространенных согласующих устройств — П-контра, включаемой между антенной и антенным входом радиоапп-

(Окончание см. на с. 42)

МИКРОСХЕМЫ TDA46** В МНОГОСИСТЕМНОМ ДЕКОДЕРЕ

ВИДЕОПРОЦЕССОР TDA4680

А. ПЕСКИН, г. Москва

В последней, четвертой части статьи о многосистемном декодере рассмотрен видеопроцессор TDA4680. Напоминаем, что в первой части материала было рассказано о структурной схеме декодера и о формирователе-опознавателе TDA4650, во второй — о микросхеме-линии задержки с переключаемыми конденсаторами TDA4660, в третьей — о корректоре сигналов TDA4670.

Микросхема TDA4680 представляет собой процессор сигналов основных цветов R, G, B с управлением по двупроводной цифровой шине I²C и автоматической стабилизацией темнового тока лучей кинескопа, а также двумя раздельными групповыми входами R, G, B с быстросрабатывающим коммутатором.

Микросхема TDA4680 может обрабатывать три группы входных сигналов: а) сигнал яркости (Y) и два цветоразностных сигнала (R-Y, B-Y), которые преобразуются матрицей ПАЛУ/СЕКАМ ($U_{0Y} = 0,51U_{R-Y} - 0,19U_{B-Y}$) или матрицей HTСЦ ($U_{0Y-Y} = 0,43U_{R-Y} - 0,11U_{B-Y}$, $U_{0B-Y} = 1,57U_{R-Y} - 0,41U_{B-Y}$) в сигналы R, G, B; б) сигналы (R, G, B); в) сигналы (R, G, B)₂. Оба входа R, G, B имеют одинаковые характеристики.

Структурная схема видеопроцессора

изображение на рис. 14. Входные сигналы Y, R-Y, B-Y поступают на матрицу ПАЛУ/СЕКАМ/HTСЦ, коэффициенты матрицирования которой выбирают управлением по шине I²C. Полученные после матрицирования сигналы R, G, B приходят на быстросрабатывающий коммутатор. На два других входа коммутатора проходят сигналы R, G, B с входов 1 и 2.

Входные сигналы выбирают внешними управляющими напряжениями FSW1 и FSW2 или через шину I²C. Кроме того, в коммутаторе происходит первая фиксация уровня черного входных сигналов.

Внешнее напряжение FSW1 управляет сигналами, поступающими на первый вход R, G, B, и сигналами матрицы ПАЛУ/СЕКАМ/HTСЦ.

Внешнее напряжение FSW2 управляет сигналами, поступающими с второго входа R, G, B, и одним из вышеуказанных в зависимости от напряжения FSW1.

Управление коммутатором через шину I²C обеспечивается двумя управляющими восьмибитовыми регистрами. В зависимости от состояния первого из них происходят следующие действия: выбор строк измерительных импульсов, переключение матрицы ПАЛУ/СЕКАМ/HTСЦ, выключение пикового ограничения выходных сигналов, управление буферным регистром, управление задержкой фронта стробирующего импульса, переключение детектора стробирующего импульса.

В зависимости от состояния второго регистра обеспечиваются следующие опе-

Окончание. Начало см. в "Радио", 1996, № 1-3.

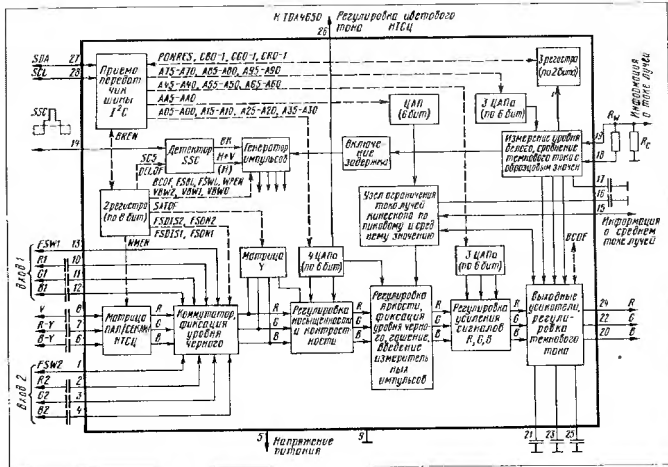


Таблица 4

Состояние битов		Режим регистров
CR1 (CG1, CB1)	CR0 (CG0, CB0)	
0	0	Установка после считывания
1	0	Измеренное значение меньше образцового
1	1	Измеренное значение равно образцовому
0	1	Измеренное значение больше образцового

Основные технические характеристики

Напряжение питания, В.....	7,2—8,8
Потребляемый ток, мА.....	85—110
Размах входного сигнала Y, В.....	0,45
Размах входного сигнала R—Y, В.....	1,05
Размах входного сигнала B—Y, В.....	1,33
Уровень трехуровневого стробрующего импульса SSC, В.....	2,5—4,5—8
Уровень двухуровневого стробрующего импульса, В.....	2,5—4,5
Размах входных сигналов R, G, B от уровня черного до уровня белого, В.....	0,7
Амплитуда выходных сигналов (от пика до пика), В.....	2
Уровень 0 шин SCL, SDA, В.....	1,5
Уровень 1 шин SCL, SDA, В.....	3
Максимальная частота синхронизации, кГц.....	190

раций: включение и выключение сигналов первого или второго входа, выключение узла автобаланса темнового тока лучей кинескопа, включение и выключение сигналов "черное поле" и "белое поле", выключение управления насыщенностью.

С выхода коммутатора сигналы R, G, B поступают на узлы регулировки насыщенности и контрастности и далее на узел регулировки яркости. Здесь же происходит вторая фиксация уровня черного и вводятся измерительные импульсы для узла автоматической регулировки темного тока кинескопа.

Управление яркостью, контрастностью и насыщенностью обеспечивается тремя цифровыми преобразователями (ЦАП), управляемыми приемопередатчиком шины I²C. Четвертый ЦАП может использоваться для регулировки цветового тона (вывод 26) в микросхеме TDA4650 в режиме HTCC.

На узлы управления яркостью и контрастностью приходят управляющие сигналы ограничения среднего и пикового значений тока лучей кинескопа.

В узел пикового ограничения тока лучей входит ЦАП, напряжение на выходе которого устанавливается по шине I²C. Конденсатор, подключенный к выводу 16 микросхемы, служит запоминающим для узла пикового ограничения. В узле сравнивается максимальное значение сигналов на выводах 24, 22, 20 микросхемы с установленным на ЦАП и выработывается напряжение для коррекции уровня контрастности и яркости.

Таблица 5

Функция	Под-адрес	Обозначение битов							
		7	6	5	4	3	2	1	0
Яркость	0	0	0	A05	A04	A03	A02	A01	A00
Насыщенность	01	0	0	A15	A14	A13	A12	A11	A10
Контрастность	02	0	0	A25	A24	A23	A22	A21	A20
Цветовой тон	03	0	0	A25	A24	A23	A22	A21	A20
Усиление	04	0	0	A45	A44	A43	A42	A41	A40
Усиление	05	0	0	A55	A54	A53	A52	A51	A50
Усиление	03	0	0	A65	A64	A63	A62	A61	A60
Уровень черного	07	0	0	A75	A74	A73	A72	A71	A70
Уровень черного	03	0	0	A85	A84	A83	A82	A81	A80
Уровень черного	03	0	0	A85	A84	A83	A82	A81	A80
Ограничение пикового значения белого	0A	0	0	AA5	AA4	AA3	AA2	AA1	AA0
Управляющий регистр 1	0C	SC5	DELO	BREN	WPEN	NMEN	VBW2	VBW1	VBW0
Управляющий регистр 2	0D	SATO	PSWL	FSBL	BCOF	FSDIS	FSON	FSDIS	FSON

Таблица 6

Состояние битов			Номер измерительных строк черного			Номер измерительных строк белого			Система цветности — стандарт
VWB2	VWB1	VWB0	R	G	B				
0	0	0	19	20	21	22			ПАЛ/СЕКАМ
0	0	1	19	17	18	19			HTCC/ПАЛ-М
0	1	0	22	23	24	25			ПАЛ/СЕКАМ
1	0	0	38,39	40,41	42,43	44,45			ПАЛ/СЕКАМ
1	0	1	32,33	34,35	36,37	38,39			HTCC/ПАЛ-М
1	1	0	44,45	46,47	48,49	50,51			ПАЛ/СЕКАМ

Таблица 7

Состояние информационных битов второго регистра				Состояние аналоговых переключателей		Подключение входных сигналов		
FSON2	FSDIS2	FSON1	FSDIS1	FSW2	FSW1	(R, G, B) ₂	(R, G, B) ₁	Y, R-Y, B-Y
				L	L	Вкл.	Вкл.	Вкл.
0	0	0	0	L	H	Вкл.	Вкл.	Вкл.
				H	X	Вкл.	Вкл.	Вкл.
				L	X	Вкл.	Вкл.	Вкл.
				H	X	Вкл.	Вкл.	Вкл.
0	0	0	1	L	X	Вкл.	Вкл.	Вкл.
				H	X	Вкл.	Вкл.	Вкл.
0	0	1	X	X	L	Вкл.	Вкл.	Вкл.
				X	L	Вкл.	Вкл.	Вкл.
0	1	0	0	X	H	Вкл.	Вкл.	Вкл.
				X	H	Вкл.	Вкл.	Вкл.
0	1	0	1	X	X	Вкл.	Вкл.	Вкл.
0	1	1	X	X	X	Вкл.	Вкл.	Вкл.
1	X	X	X	X	X	Вкл.	Вкл.	Вкл.

Для работы узла ограничения среднего тока лучей кинескопа необходимо на вывод 15 микросхемы подать напряжение, пропорциональное среднему току.

После узлов регулировки сигналы R, G, B поступают на три усилителя, коэффициенты усиления которых устанавливаются тремя ЦАП по состоянию приемопередатчика шины I²C. Амплитуда сигнала можно изменять относительно номинального значения на $\pm 60\%$.

Далее сигналы приходят на выходные усилители и узел регулировки темного тока лучей кинескопа. Конденсаторы, под-

ключенные к выводам 21, 23, 25 микросхемы, служат для запоминания уровня черного до следующего его измерения.

Информация о токе лучей присутствует на выводе 19 микросхемы, причем напряжение, образующееся на резисторе R₂ в момент прохождения измерительного импульса, пропорционально темновому току лучей кинескопа. Это напряжение сравнивается с образцовым. Результат сравнения используется для компенсации отклонения узлом регулировки темного тока. Через три ЦАП можно уста-

новить по шине \bar{CS} образцовые уровни черного в сигналах при выключенном узле автобаланса темного тока.

Для получения информации о токе уровня белого к выводам 18 и 19 микросхемы подключен резистор R_{14} . Информация о значении этого тока относительно образцового уровня хранится в трех регистрах и считывается через приемопередатчик в шину \bar{CS} . Она используется основным процессором для воздействия на коэффициенты усиления сигналов R , G , B для компенсации изменения. Соответствие состояния этих регистров режиму работы показано в табл. 4.

Функции, выполняемые микросхемой TDA4680 по командам через шину \bar{CS} , и их информационное представление указаны в табл. 5. Из нее следует, что каждый бит управляющих регистров содержит информацию, используемую для операций с режимами микросхемы.

Биты первого регистра управляют следующими функциями:

VBW0—VBW2 определяют длительность кадрового гасящего импульса и распределение относительно него трех измерительных импульсов темного тока и импульса уровня белого (их состояние показано в табл. 6);

NMEN обеспечивает переключение матрицы на требуемую систему цветности: 0 — PAL/CEKAM, 1 — NTSC;

WPEN включает (уровнем 1) и выключает (уровнем 0) измерительную строку уровня белого;

BREN определяет режим работы управляющих регистров: 0 — новая информация используется сразу после приема; 1 — в регистре имеется переданная информация, новая информация не принимается и подтверждение о приеме не выдается;

DELOF обеспечивает задержку (уровнем 0) фронта фиксирующего импульса или ее отсутствия (уровнем 1);

SCS изменяет режим детектирования стробирующего импульса: 0 — трехуровневый, 1 — двухуровневый.

Биты второго регистра управляют следующими функциями:

FS0N1, FSDIS1, FSON2, FSDIS2 определяют выбор входного сигнала (взаимодействие этих битов с управляющими сигналами FSW1, FSW2 показано в табл. 7, где L — напряжение меньше 0,4 В, H — напряжение больше 0,9 В, X — любое состояние);

BCOF включает (уровнем 1) и выключает (уровнем 0) автобаланс темного тока лучшей кинескопа;

FSBL включает (уровнем 1) и выключает (уровнем 0) сигнал "черное поле";

FSWL включает (уровнем 1) и выключает (уровнем 0) сигнал "белое поле";

SATOF включает (уровнем 0) и выключает (уровнем 1) регулировку насыщенности.

В заключение следует отметить, что видеопроцессор выпускается в двух видах корпуса

TDA4680—28 выводов, в два ряда, корпус DIL;

TDA4680WP—28 выводов по периметру, корпус PLCC

ПОДКЛЮЧЕНИЕ ПРИЕМНИКА СДУ К ТЕЛЕВИЗОРУ

А. КАРМЫЗОВ, г. Москва

Публикуемую здесь статью можно считать продолжением материала, помещенного в № 12 журнала за 1995 г. В ней даются конкретные рекомендации по оборудованию различных моделей телевизоров системой дистанционного управления (СДУ) — подключению ее приемника к их регулирующим и переключающим узлам.

Сейчас в пользования телезрителей находится много различных модификаций телевизоров второго—четвертого поколений. Несомненно радиолюбителям зачастую бывает неприятно подключать к ним СДУ. Тем более, что ее приемник при этом должен обеспечивать изменение сопротивления управляющих транзисторов в цепях регуляторов и коммутацию напряжений в блоке переключения программ.

Известно, что современные СДУ строят, как правило, на специализированном комплексе микросхем KP1505XJ1 (передатчик) и KP1505XJ2 (приемник) с использованием для коммутации телевизионных каналов мультимиксера K561KP72 или сходного с ним. Именно для таких СДУ и даны здесь следующие рекомендации. Все обозначения в статье приводятся по принципиальным схемам телевизоров

1. "Рубин Ц-201", "Рубин Ц-202", "Рубин Ц-208" (УПИМЦТ-61/62).

Переключение программ в этих телевизорах происходит в блоке СБП-4-1 мультисхемным способом, коммутацией напряжений 50...50 В. Для согласования блока выбора программ с СДУ необходимо установить специальный реленый модуль, описанный в [1] или [2].

Модуль УПЧ3 телевизоров построен на микросхеме K174YU1. Для подключения СДУ к каналу звука необходимо смонтировать модуль согласования, рассмотренный в [2]. Сначала разрезав проводник на кросс-плате БОС-3, идущий от контакта 1 разъема Х3 к контакту 2 разъема Х13 (в него включен модуль AS3—УМ1-3) с контакта 1 разъема Х3 звуковой сигнал подает на вход модуля согласования, выход которого подключают к контакту 2 разъема Х13. Модулем согласования управляют изменением напряжения с СДУ. Все вновь введенные соединения выполнены экранированным проводом.

Для подключения к цепям регулировки яркости соответствующий выход приемника СДУ припаивают в модуле AS3—М2-3-1 к точке соединения резисторов R_6 (81 кОм, подключен к контакту 4 разъема Х18) и R_{14} . Для удобства монтажа и последующего обслуживания удобнее заменить резистор R_6 перемычкой, а сам резистор впаять непосредственно в кросс-плату вместо перемычки, которая соединяет контакт 4 с остальными блоками. Иными словами, поменять эту перемычку и резистор R_6 местами. В этом случае выход регулировки яркости СДУ подключают к контакту 4 разъема Х18 на блоке БОС-3.

При согласовании с цепями регулировки контрастности соответствующий выход СДУ подключают к контакту 7 разъема Х18 в модуле яростного канала AS8—М2-3-1, а для управления насыщенностью соот-

ветствующий выход СДУ подсоединяют к контакту 16 этого разъема.

Приемник СДУ на микросхеме KP1505XJ2 в телевизорах УПИМЦТ-61/62 без дополнительного источника питания работать не сможет, поскольку в них отсутствует необходимое ей напряжение 28 В. Применение же дополнительного источника только расширит эксплуатационные функции СДУ, так как позволит ввести дежурный режим работы, в котором все узлы телевизора обесточены, кроме СДУ. Если в СДУ нет дежурного режима, то напряжение 220 В для дополнительного источника питания подводят с контактов 5 и 8 вилки разъема Х5 в блоке БТ-11. Если в СДУ есть дежурный режим (присутствует реле с платными контактами), то необходимо отпаять провода, идущие с блока управления А4 к контактам 5 и 8 вилки разъема Х5 блока БТ-11 и соединить их с блоком питания СДУ. Далее, припаяв провода к контактам 5 и 8 этой вилки, подключают их к контактам реле СДУ.

2. "Электрон Ц-265", "Электрон Ц-282", "Электрон Ц-382" и "Темп Ц-280".

Поскольку переключение программ в этих телевизорах обеспечивается коммутацией напряжений +12 В, то это позволяет подключить СДУ непосредственно к блоку УСУ-1-15-1. В общую цепь сенсоров включен резистор R_9 сопротивлением 350 Ом, и общий выход узла переключения программ СДУ подключают после него. Остальные восемь выходов переключения программ припаивают к соответствующим сенсорам.

В канале звука соответствующий выход СДУ подключают к контакту 5 разъема Х9(А1) в модуле МФК-21.

Для регулировки яркости соответствующий выход СДУ припаивают к контакту 1 разъема Х5(А2) в модуле МЦ-31 (или МЦ-41).

С целью регулировки контрастности соответствующий выход СДУ подключают после резистора R_6 для МЦ-31 (или R_2 для МЦ-41) сопротивлением 20 кОм, соединенного с контактом 3 разъема Х5(А2).

Для регулировки насыщенности соответствующий выход СДУ соединяют с контактом 2 этого же разъема.

3. "Электрон Ц-280", "Электрон Ц-380" и "Рекорд Ц-275", "Рекорд Ц-280".

Блок выбора программ (ЕВР) в них — УСУ-1-15. Подключение к нему аналогично соответствующему пункту раздела 2, за исключением того, что в общую цепь сенсоров включен резистор R_{49} сопротивлением 3 кОм или 56 кОм и общий выход переключения программ СДУ под-

ключают до него, т. е. непосредственно к общему выводу сенсоров.

Для регулировки яркости соответствующий выход СДУ подключают к контактам 6 резистора X9 (A1) в модуле МРК-2-5.

В целях яркости соответствующий выход СДУ соединяют с контактом 1 резистора X5 (A2) в модуле МЦ-2 (или МЦ-3).

Для управления контрастностью соответствующий выход СДУ подпаивают после резистора R4 в модуле МЦ-2 (МЦ-3) сопротивлением 3,9 кОм, соединенного с контактом 3 резистора X5 (A2).

С целью регулировки насыщенности соответствующий выход СДУ подключают к контакту 2 резистора X5 (A2) в модуле МЦ-2 (или МЦ-3).

4. "Весна Ц-276", "Рубин Ц-381" (с блоком СВП-4-5), "Рекорд ВЦ-381" и "Витязь Ц-381".

К блоку выбора программ СВП-4-5 подключение СДУ аналогично соответствующему пункту раздела 1.

Для управления основными регулировками (яркостью, контрастностью, насыщенностью) в модулях цветности МЦ-3, МРК-2-5, УПЧ3-2 подключают СДУ аналогично соответствующим пунктам раздела 3.

5. "Рубин Ц-381" (с блоком СВП-4-10).

Программы в этих телевизорах переключаются напряжением +12 В. Подключение аналогично соответствующему пункту раздела 2. При этом общий выход переключения программ СДУ соединяют с общим выводом сенсоров.

Громкость, яркость, контрастность, насыщенность регулируются в модулях цветности МЦ-3, МРК-2-5, УПЧ3-2 при подключении СДУ аналогично соответствующим пунктам раздела 3.

6. "Рубин-Тесла 391", "Рубин 51ТЦ402", "Рубин 54ТЦ402", "Рубин 54ТЦ403", "Рубин 61ТЦ403".

В этих телевизорах установлен блок выбора программ МВП-2-1 (МВП-2-1А). Переключение программ происходит при соединении цепи управления с общим проводом. Для согласования СДУ можно, во-первых, применить реленый модуль согласования аналогично соответствующему пункту раздела 1. Во-вторых, можно незначительно изменить включение мультиплексора К561КП2. Если на его вывод 3 подать напряжение +12 В, то следует прервать это соединение (разрезать печатный проводник), а вывод соединить с общим проводом. Выходы пере-

ключения программ СДУ следует припаять к соответствующим сенсорам МВП.

Модуль радиоканала в телевизорах — МРК-2-СЕ-1. Для согласования СДУ с каналом звука необходим модуль, предложенный в [2]. При его установке отключают резистор X9 от МРК. На модуль согласования подают сигнал звука с контакта 1 или 3 резистора X9 (A1), а выход его соединяют с контактом 1 или 3 резистора X9 (A9) МРК.

В телевизоре установлен модуль цветности МЦ-Тесла или МЦ-402, МЦ-403. Для регулировки яркости соответствующий выход СДУ подключают после резистора R43, соединенного с контактом 5 резистора X5 в модуле цветности.

С целью управления контрастностью соответствующий выход СДУ подключают после резистора R51, соединенного с контактом 7 резистора X5 в модуле цветности, а для регулировки насыщенности соответствующий выход СДУ — после резистора R52, соединенного с контактом 9 резистора X5.

7. "Горизонт Ц-258", "Горизонт Ц-355" и "Янтарь Ц-355".

В телевизоре используется блок выбора программ СВП 4-5. Подключение к нему аналогично соответствующему пункту раздела 1.

В канале звука (модуль УПЧ3 построен на микросхеме К174УР4) соответствующий выход СДУ подключают к контакту 6 резистора X9 (A1).

В целях регулировки яркости соответствующий выход СДУ соединяют с контактом 1 резистора X5 (A2) в модуле МЦ-1-2 (или МЦ-1-5).

Для управления контрастностью соответствующий выход СДУ подключают после резистора R19 сопротивлением 22 кОм, соединенного с контактом 3 резистора X5 (A2) в том же модуле, а для управления насыщенностью соответствующий выход СДУ — к контакту 2 того же резистора.

8. "Горизонт ТЦ-411", "Горизонт ТЦ-412".

К блоку выбора программ в них — МВП-1-3 — СДУ подключают аналогично соответствующему пункту раздела 2, за исключением того, что в общую цепь сенсоров включен резистор R1 (5,6 кОм) и общий выход переключения программ СДУ подпаивают до него (непосредственно к общему выводу сенсоров).

В канале звука (модуль УПЧ3 на К174УР4) соответствующий выход СДУ соединяют с контактом 1 резистора X10 (A1) на кассете КОС-402.

Для регулировки яркости соответствующий выход СДУ подключают после резистора R50, соединенного с контактом 8 того же резистора, контрастности — после резистора R54, соединенного с контактом 6, а насыщенности — после резистора R52, соединенного с контактом 7.

9. "Электрон ТЦ-450", "Электрон ТЦ-451".

К блоку выбора программ в них — УСУ-1-15-1 или МУ-48 — СДУ подключают аналогично соответствующему пункту раздела 2, за исключением того, что в общую цепь сенсоров включен резистор R9 — 360 Ом — (или R1 — 5,6 кОм — для МУ-48) и общий вывод переключения программ СДУ подключают после него (для МУ-48 непосредственно к общему выводу сенсоров).

Поскольку канал звука построен на модуле УПЧ3-2, то подключение к нему аналогично соответствующему пункту того же раздела 2.

Для регулировки яркости, контрастности, насыщенности к модулю цветности МЦ-31 (или МЦ-48-1) СДУ подсоединяют аналогично соответствующим пунктам раздела 2. Лишь в модуле МЦ-46-1 соответствующую цепь СДУ подключают после резистора R7 (20 кОм), соединенного с контактом 3 резистора X5 (A2).

10. "Рубин 54ТЦ346".

Поскольку в телевизоре применен блок выбора программ МВП-2-1, то СДУ подключают к нему аналогично соответствующему пункту раздела 6.

Основные регулировки выполняют в модулях МЦ-3, МРК-2-5 и УПЧ3-2, к которым СДУ подсоединяют аналогично соответствующему пункту раздела 3.

11. "Электрон 51ТЦ423".

В телевизоре установлен блок выбора программ УСУ-1-15-1Р, к которому СДУ подключают аналогично соответствующему пункту раздела 3.

Канал звука построен на модуле УПЧ3-2 (УПЧ3-1М). Подсоединение аналогично соответствующему пункту раздела 3.

Остальные регулировки выполняют в модуле цветности МЦ-31 (или МЦ-41П), к которому СДУ подпаивают аналогично соответствующему пункту раздела 2.

ЛИТЕРАТУРА

1. Писелов С. Система ДУ в телевизорах УПИМЦ. — Радио, 1994, № 12, с. 10, 11.
2. Кармозов А. Подключение системы ДУ телевизоров. — Радио, 1995, № 12, с. 10.

ПРОДАМ:

Обмоточный провод ПЭЛ, ПЗВ, ПЭЛШКО различного сечения, ОППТ-307-10,7 МГц 18, ФЭМ4-500-500-3, 1Н-2, ФЭМ-035-500Н-3-1.

624630, г. Алапаевск, ул. Чернышова, 47-1, Андреев Б. А.

Годные комплекты журнала "Радио" за 1958—1991 гг. (с 1956 по 1980 гг. — в переплетах). Тел. (095) 321-59-33

Фольгированный стеклотекстолит; головки звукоусилителя магнитные стереофонические ГЗМ-003 и ГЗМ-043; тек. литературу, журнал "Радио", "Радиосбытатель", "ВРП". Вышел каталог.

ПРОДАМ, КУПУЮ, ОБМЕНЯЮ...

241022, г. Брянск-22, а/я 10, Комарову А. П.

Селектор каналов СКВ-418-06 (новый), модуль питания МП-4-5 (новый), селектор дециметровый СКД-24С (новый), модуль цветности МЦ-3 и УСР (к ЗУСЦТ), блок сведения БС-11 и другие блоки и модули к телевизорам УПИМЦТ

622051, г. Нижний Тагил, пр. Вагоностроителей, 18, кв. 35, Колгашову Е. Н.

ПРОДАМ ИЛИ ОБМЕНЯЮ:

На измерительную аппаратуру или электронно-инструмент: связной приемник "Хмель" (Р-671) на диапазон 1,5—25 МГц; клавиатурный и детчик кода Морзе Р-010.

В комплекте — технические описания к ним и запас радиодеталей
346610, Ростовская обл., п. Матвеев Курган, ул. Таганрогская, 115 Смыкунов П. Г.

КУПУЮ:

Ферритовые кольца μ 300, 200, 100, 50, 30 НН и ВЧ диаметр от 15 мм и больше, клары 4; 5; 9; 13,5 и 18 МГц, галетный переключатель ПГК-11ПН — 9 шт., КЛЕ от транзисторных приемников, ва-риометры; "Справочное пособие по высокочастотной схемотехнике".
665708, г. Брестск, Мира, 14—18, Кра-сиков А. А.

УМЗЧ С ЗАЩИТОЙ НАГРУЗКИ БЕЗ РЕЛЕ

А. СЫРИЦО, г. Москва

В статье описаны электронные узлы УМЗЧ, обеспечивающие защиту громкоговорителя от воздействий, способных вывести его из строя. Отсутствие номиналов некоторых элементов объясняется тем, что они должны быть рассчитаны под конкретные параметры полупроводниковых приборов и режимы транзисторов усилителя. Однако приведенные рекомендации позволяют сделать необходимые расчеты.

Появление транзисторных УМЗЧ с гальванической связью нагрузки привело к необходимости защиты громкоговорителя.

Большое распространение получили два основных вида защиты. Первый — от воздействия на нагрузку постоянного напряжения источника питания при пробое транзисторов в одном из плеч выходного каскада или сигналов инфракрасной частоты с большой амплитудой. Второй — от переходных процессов (щелчков) в нагрузке, возникающих при включении и выключении сетевого питания.

Наиболее простая в реализации защита нагрузки достигается обычно при использовании электромагнитного реле, контакты которого отключают нагрузку при любой из рассматриваемых выше ситуаций. Многие примеры подобной реализации названных видов защиты различной степени сложности были описаны в периодических изданиях, в том числе и в журнале "Радио".

Однако анализ длительной эксплуатации УМЗЧ с использованием реле позволил выявить ряд существенных недостатков этого метода. Главным из них является резкое снижение надежности работы УМЗЧ из-за наличия переключающих контактов реле, к которым предъявляются высокие требования как к ресурсу работы, так и к минимизации переходного сопротивления. Характерная особенность электромагнитного реле — точечный контакт, приводящий иногда к нелинейным свойствам увеличением искажения выходного сигнала на высоких частотах звукового диапазона. Кроме того, неравномерность распределения температуры по площади контактов ведет к снижению ресурса их работы, что может вызывать также возможные кратковременные перебои в сетевом питании или при выключении УМЗЧ в моменты наличия на выходе сигналов большой мощности. Использование параллельного включения нескольких групп контактов реле не снижает заметно вероятности их отказа из-за различия моментов их срабатывания. Аналогичный эффект возникает в усилителях, использующих реле для отключения нагрузки при срабатывании узла тепловой защиты.

Очевидно, что отказ от использования контактов реле в выходной цепи УМЗЧ значительно повышает надежность его работы, чем и объясняется появление современных схемотехнических решений УМЗЧ с электронными вариантами узлов защиты.

Несмотря на их большое разнообразие, все они используют несколько общих идей. Во-первых, защита нагрузки УМЗЧ от постоянной составляющей до-

стигается блокировкой (параллельным включением) ве электронным ключом с малым сопротивлением для напряжения любой полярности. Во-вторых, защита нагрузки от переходных процессов в УМЗЧ при коммутации сетевого питания производится записанием транзисторов выходного каскада УМЗЧ, причем включение сетевого питания сопровождается кратковременной задержкой включения выходного каскада УМЗЧ с плавным его открытием и установкой рабочего режима. После выключения питания происходит только записание выходного каскада.

На рис. 1, 3 в качестве примера приведены схемы узлов защиты нагрузки от постоянной составляющей. Узлы представляют собой двухполосники, подключаемые к выходу УМЗЧ, параллельно к нагрузке. Блокировка нагрузки при появлении постоянной составляющей производится электронными ключами, функции которых выполняют симисторы VS1. При использовании таких узлов максимальная величина тока от истоков питания ограничена током срабатывания плавких предохранителей в коллекторных цепях транзисторов выходного каскада. Поэтому допустимый ток симисторов VS1 дол-

жен, как минимум, вдвое превышать номинальный ток предохранителя.

Схемы узлов защиты на рис. 1 и 2 относительно просты и состоят из ФНЧ R1C1 (рис. 2) и цепи управления включением симисторов VS1. Расчет элементов ФНЧ производится на условия исключения ложных срабатываний защиты на нижней частоте звукового сигнала при максимальной амплитуде и необходимого броска действия.

Схема цепи управления на рис. 1 [1] значительно проще, чем на рис. 2 [2], однако требует использования двунаправленного диода VS2. Такое устройство относится к так называемым "схемкам", в них разрядка конденсатора C1 происходит через диод VS2 и управляющая цепь симистора VS1 при фиксированном напряжении из конденсатора C1. Его величина зависит от напряжения включения диода VS2. Емкость конденсатора C1 выбирается с учетом обеспечения необходимой энергии для управления симистором VS1. При отсутствии двунаправленного диода возможна реализация защиты по схеме, приведенной на рис. 3, где использован аналог однонаправленного диода — транзисторы VT1 и VT2, включенные в диагональ моста на диодах VD1, VD4. В этой схеме резистор R2 задает ток управления симистором VS1, а отношение сопротивлений резисторов R5/R6 задает величину напряжения открывания аналога диода. Резисторы R3 и R4 ограничивают ток базы транзисторов VT1 и VT2. В диагональ диодного моста можно включить и обычный диод.

Узел управления (рис. 2) относится к устройствам непрерывного действия. В нем используются отдельные повторители напряжения для положительной и отрицательной полярности выходного напряжения (транзисторы VT1 и VT2 соответственно). Величина постоянного напряжения ($U_{\text{отс}}$), при котором происходит открытие симистора VS1, зависит от тока управляющего электрода, коэффициента усиления по току транзисторов VT1, VT2, сопротивления резисторов R1 и R2, падения напряжения на диодах VD1, VD2 и напряжения насыщения транзисторов VT1 и VT2. Значение $U_{\text{отс}}$ для такого варианта построения обычно находится в пределах 5...10 В. При выборе диодов и транзисторов надо иметь в виду, что величина максимального напряжения из них достигает амплитуды выходного напряжения УМЗЧ.

При выборе конденсатора C1 в схемах рис. 1, 3 следует учитывать возможность появления на выходе УМЗЧ постоянного напряжения различной полярности. Поэтому в качестве конденсатора C1 необходимо применять неполярные конденсаторы или два электролитических, включенных встречно-последовательно и сгруппированных диодами в соответствующую полярность.

Возможные варианты схем защиты нагрузки от переходных помех в УМЗЧ при коммутации сетевого питания приведены на рис. 4—9. В схеме рис. 4 [3] закрытие симисторов VT1 и VT2 достигается за счет использования стабилизаторов VD3, VD6 и диодов VD4, VD5. При включении источника питания транзисторы VT1 и VT2 находятся в закрытом состоянии, так как в этот момент величина напряжения на конденсаторах C1 и C3 равна нулю и отсутствуют условия для протекания тока базы транзисторов VT1 и VT2. Кроме того, появление постоянного напряжения любой полярности от

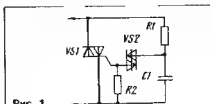


Рис. 1

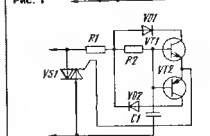


Рис. 2

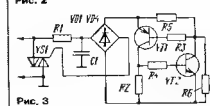


Рис. 3

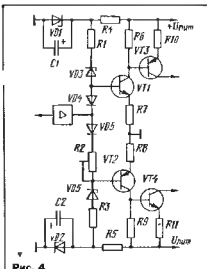


Рис. 4

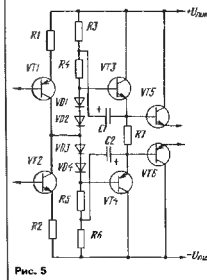


Рис. 5

предыдущих каскадов УМЗЧ в точке соединения диодов VD4 и VD5 не может привести в этот момент к их открыванию. Закрытое состояние транзисторов VT1 и VT2 сохраняется до тех пор, пока плавное нарастающее напряжение на конденсаторах C1 и C2 не достигнет величины напряжения стабилизации стабилитронов VD1 и VD2. При этом стабилитроны VD3 и VD6 также входят в режим стабилизации, обеспечивая прохождение токов через диоды VD4, VD5 и резистор R2, т.е. возникает необходимая величина напряжения смещения для открывания транзисторов VT1, VT2. Напряжение стабилизации стабилитронов VD1 и VD2 обычно выбирают в пределах 13...15 В, а для VD3, VD5 — 4...6 В. Время задержки включения транзисторов VT1 и VT2 можно изменять постоянной времени цепей R4C1 и R5C2. После выключения питания закрывание транзисторов VT1, VT2 происходит при напряжении на конденсаторах C1 и C2 меньше напряжения стабилизации стабилитронов VD1, VD2.

Оригинальный способ задержки включения УМЗЧ получен в каскаде повторителя, выполненного по схеме на рис. 5 [1]. В момент включения питания происходит плавный заряд конденсаторов C1 и C2 через резисторы R3, R7, R6. При этом ток через резисторы R4, R5 и диоды VD1

— VD4 отсутствует, а значит, отсутствует и напряжение смещения для транзисторов VT1 и VT2. В процессе зарядки конденсаторов ток через них уменьшается до нуля, а в цепи R3, R4, VD1 — VD4, R6 соответственно возрастает от нуля до величины, необходимой для создания требуемого напряжения смещения и открывания транзисторов VT1 и VT2. При нормальной работе УМЗЧ конденсаторы C1 и C2 выполняют функцию обычной "вольтадобавки". После выключения питания происходит плавный разряд C1 и C2, что обеспечивает плавное закрытие транзисторов VT3 и VT4.

В схеме узла защиты на рис. 6 [4] для закрывания основных транзисторов VT3 и VT4 используются дополнительные — VT1 и VT2, работающие в ключевом режиме. После включения питания происходит зарядка конденсатора C1 через резистор R3 и переходы база-эмиттер VT1 и VT2. В это время зарядный ток открывает транзисторы VT1 и VT2 и закрывает соответственно VT3, VT4. По окончании зарядки конденсатора C1 транзисторы VT1, VT2 закрыты и не влияют на нормальную работу УМЗЧ, а транзисторы VT3 и VT4 открыты напряжением смещения на резисторах R1, R2 предыдущего каскада. После выключения питания конденсатор C1 разряжается через резистор R3 и диоды VD1 и VD2. Эффективная работа цепи задержки достигается выбором постоянной времени цепи C1R3, но величина значительно большей времени нарастания напряжения на выходе источника питания.

На рис. 7 [5] и 8 [6] приведены схемы узлов защиты в УМЗЧ, использующих общий принцип закрывания дифференциального каскада за счет управления генератором тока в цепи эмиттеров.

В схеме, приведенной на рис. 7, управление генератором тока на транзисторе VT3 производится транзистором VT1. При включении источника питания транзистор VT1 закрыт, следовательно, и VT2 — VT4 также закрыты на время, необходим для заряда конденсатора C1 до напряжения, равного рабочему на напряжению стабилитрона VD1. Время задержки включения определяется стабилитроном и постоянной времени цепи C1R2. После отключения источника питания закрывание дифференциального каскада происходит при разрядке конденсатора C1 до напряжения открывания транзистора VT1.

В схеме узла на рис. 8 управление генератором тока на транзисторе VT2 про-

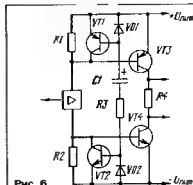


Рис. 6

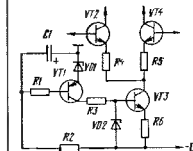


Рис. 7

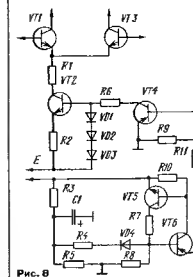


Рис. 8

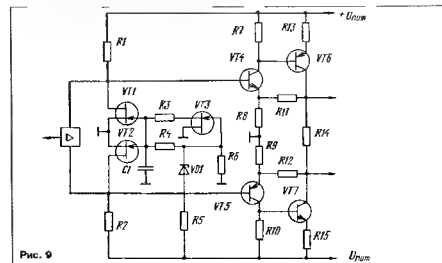


Рис. 9

изводится ключевым транзистором VT4, режим которого определяется состоянием аналога диноистора на транзисторах VT5, VT6. При включении источника питания транзисторы VT1 — VT6 закрыты на время, зависящее от постоянной времени цепи R3C1 и напряжения включения "диноистора". После отключения источника питания происходит плавное закрытие транзисторов за счет плавной разрядки конденсатора фильтра источника питания и конденсатора C1.

На рис. 9 приведена схема узла защиты УМЗЧ с использованием p-канальных полевых транзисторов [7]. При включении источника питания транзисторы защиты VT1 — VT3 открыты, так как у них напряжение между затвором и истоком равно нулю. При этом величина напряжения смещения на транзисторах VT4, VT5 оказывается недостаточной для их отключения. С ростом напряжения питания источника отрицательной полярности и открыванием стабилизатора VD1 начинается процесс плавного закрытия транзистора VT3. При увеличении напряжения на резисторе R6 до напряжения отсечки ($U_{отс}$) транзистора VT3 происходит его закрытие. Конденсатор C1 начинает заряжаться от источника питания по цепи R5, VD1, R4, что приводит к закрытию транзисторов VT1 и VT2 при напряжении на конденсаторе C1, равном $U_{отс}$ транзисторов VT1 и VT2. Токи базы через резисторы R1 и R4 устанавливают транзисторы VT4 и VT5 в заданный режим работы. Как следует из схемы, задержка включения зависит от рабочего напряжения стабилизатора VD1, напряжения отсечки $U_{отс}$ транзисторов VT1 — VT3 и постоянной времени цепи R4C1. При отключении источника питания и уменьшении напряжения до значения, при котором происходит закрытие стабилизатора VD1 и открывание VT3 за счет уменьшения напряжения на резисторе R6: $U_{отс} < U_{отс}$. Конденсатор C1 начинает разряжаться через резистор R3 и транзистор VT3 и при $U_{отс} < U_{отс}$ происходит закрытие транзисторов VT4 и VT5. В качестве транзисторов VT1—VT3 целесообразно применять транзисторы с большой величиной $U_{отс}$, например типа КП303Е. Для быстрой разрядки конденсатора C1 величина резистора R3 должна быть минимальной величины, однако ограничивать ток стока транзистора VT3 не доступной величиной.

К дополнительным достоинствам узлов защиты, схемы которых приведены на рис. 7—9, относится возможность их применения для защиты усилителя при длительных коротких замыканиях в нагрузке и при работе в режиме тепловой защиты, а также для дистанционного управления их отключением.

ЛИТЕРАТУРА

1. Описание и инструкция по эксплуатации усилителя SPL-6000 фирмы Fender Electronics.
2. Атаев Д.И., Болотников В.А. Функциональные узлы усилителей высокочастотного звукоусиления. — М: Радио и связь, 1989, с. 110.
3. Описание и инструкция по эксплуатации усилителя MX 700 фирмы OSC.
4. Постышев С.Б. Авторское свидетельство SU № 1522379A1 H03F1/52. — Бюл. № 42, 15.11.89.
5. Описание и инструкция по эксплуатации усилителя SPL-9000 фирмы Fender Electronics.
6. В. Люмичев. Полный усилитель 34 "Beta 50Y-122". — Радио, 1992, № 5, с. 44.
7. Сырица А.П. Авторское свидетельство SU № 1816678 A1 H03F1/52. — Бюл. № 20, 30.05.93.

РАЗВИТИЕ ТЕХНИКИ МАГНИТНОЙ ЗАПИСИ

ИСТОРИЧЕСКИЕ ЗАМЕТКИ

С. АГЕЕВ, г. Москва

Из-за невысокого качества и коммерческой невыгодности магнитная запись после первых демонстраций оказалась почти забытой до тридцатых годов. Более актуальными в ту пору представлялись, например, беспроволочные телеграф и телефон, а также кинематограф. Тем не менее исследование методов магнитной записи все-таки продолжалось, и постепенно создавались предпосылки второго ее рождения.

В конце двадцатых — начале тридцатых годов даже выпускались небольшими сериями аппараты записи на стальную проволоку или ленту, имевшие ламповые усилители и более совершенные механизмы протяжки. К этому же периоду относится изобретение немецкой фирмы Schaub Elektrik — Lorenz первых кассет (рис. 7) с катушками проволоки для упрощения работы с аппаратом. Это было шагом вперед по сравнению с работами Поульсена. Однако качество звука оставалось желать лучшего — полоса не шире 4...5 кГц, динамический диапазон всего 26...36 дБ при нелинейных искажениях до 5...8%. Повысить качество звука тогда пытались подбором лучшего материала для носителя — след за простой углеродистой сталью последовали кобальтовая (кобальдой), вольфрамовая и медно-никелевая (сеналлой) стали, кобальт-ванадиевая сталь (викаллой) и другие. Были изобретены и освоены такие методы обработки металлов, как электрополировка и направленная кристаллизация в магнитном поле. Главной же цели — качественной записи — на пути применения сплошных металлических носителей достичь не удалось. Основной причиной этого являются сравнительно большие размеры элементов намагниченности — доменов — в сплошных металлах, но тогдашние изобретатели этого просто не знали.

В 1921 г. А. Назаришвили использовал вместо стальной проволоки никелированную медную. В результате родилось предложение о применении в качестве носителя записи бумажной ленты, покрытой слоем никеля или другого ферромагнитного металла. Такой носитель в виде ленты легко может быть склеен, в то время как скрутить проволоку гораздо сложнее. Тем же автором годом ранее был предложен опыт по записи звуковой сигнализации на ...стальных рельсах Закавказской железной дороги.

В 1926 г. И. Крейману в СССР был выдан патент № 3340 на "прибор для магнитной записи и воспроизведения звуков". В описании говорилось: "...Прибор состоит из обыкновенного микрофона, электромагнита и источника тока, которые соединены последовательно. Применяется лента из магнитного материала с большой

задерживающей силой, в именно, медная луженая лента или лента из целлулоида, которые покрыты стальными опилками [например, посредством стального клея]...". Дальнейших предложений на эту тему от Креймана не последовало.

Фриц Пфлеймер в Германии получил в



Рис. 7

1928 г. свой первый патент № 500900 на носители записи, у которых на бумажную, пластмассовую или какую-либо другую немагнитную подложку нанесен рабочий слой, состоящий из магнитного порошка, диспергированного в немагнитной связующей среде [лаке]. В отличие от Креймана, Пфлеймер был настоящим и сумел заинтересовать своими работами руководство филиала в Людвигсхафене химического концерна I.G. Farben (ныне — BASF) и компании AEG—Telefunken. Химики вместе с Пфлеймером занялись разработкой и выпуском магнитных лент, в радиотехнике — конструированием аппаратов для работы с ними.

Обе группы разработчиков действовали в тесном контакте, поэтому дело двигалось довольно быстро: к 1932 г. был в основном разработан процесс получения ленты из порошка карбонильного железа на бумажной основе и получены образцы ленты на диалектатной основе, а в 1934—35 гг. был налажен ее промышленный выпуск.

Эта лента сразу стоила в пять раз дешевле стальной катушечной, легко склеивалась и обеспечивала значительно лучшее качество записи. С ее применением впервые

Продолжение. Начало см. в "Радио" 1996, № 3.

оказалось возможным использовать магнитную запись в радиовещании. К тому же периоду относится окончательная разработка технологии производства порошковых магнитных лент, включавшая в себя изготовление основы, полив и сушку магнитного лака, его каландровку и полировку. Естественно, было разработано и промышленное оборудование для осуществления этих операций. Авторы получили соответствующие патенты (DRP — Deutsche Reich Patent — №№ 552787, 563306, 593878, 637642, 647386, 649408 и другие).

Гейфмейер не ограничивался работой над созданием лент и технологий их производства. Он принимал деятельное участие в разработке аппаратов для магнитной записи. Так, им впервые была применена кольцевая магнитная головка и проанализированы щелевые потери (DRP № 617796, 1932 г.). Дальнейшую оптимизацию выполнили специалисты компании Telefunken, среди которых на том этапе следует упомянуть Хейнца Любке, Эрвина Мейера и Эдуарда Шюллера. В основном они занимались разработкой головок, усилителей и лентопрокатных механизмов. Впоследствии Шюллер стал главным конструктором первых студийных магнитофонов. Ему же принадлежит ряд ключевых патентов, например, на конструкции кольцевых головок в их современном виде и на использование способа перекрестного подмагничивания (вторично изобретенного в 50-е годы).

Вместе с Гейфмейером работали также Франц Преисхас, Эрвин Лерер, Феликс Кронс, Пауль Фридрих и другие специалисты. Их работы получили мировое признание.

Опираясь на достигнутые результаты, компания AEG-Telefunken в 1934—35 гг. начала выпуск аппаратов магнитной записи (рис. 8) для целей радиовещания — «Magnetophone», от которого и произошло известное нам название «магнитофон». Отличительной особенностью этих аппаратов было применение магнитной ленты, а не более распространенной тогда проволоки, что и отразилось в англо-американском названии «tape recorder», в буквальном переводе — «ленточный аппарат».

Качество записи у этих аппаратов было существенно выше, чем у проволоочных, но все равно недостаточным для записи музыки, поэтому их использовали в основном для монтажа речевых передач (на немецком редновещании магнитофоны начали широко применяться с 1935 г.). Частотный диапазон тогда не превышал 80—7000 Гц, динамический диапазон при нелинейных искажениях 5% — около 40 дБ. Виною тому было использование подмагничивания постоянным током, из-за чего лента намагничивалась даже в паузе, и ее неоднородности, ее слоя и шероховатости поверхности создавали шум.

Для снижения уровня шума до 40 дБ потребовалось разработать достаточно сложную технологию перетирания магнитного порошка с лаком, полив и каландровка лент, но этого было недостаточно. Поэтому уже в 1935 г. вместо порошка карбонильного железа, склонного к окислению и образованию комков в рабочем слое, начали применять черный магнетит Fe_3O_4 , а затем, с 1939 г., более стабильный по свойствам гамма-оксид железа Fe_2O_3 (прокаленный ржавчина). Видимо, ход рассуждений специалистов



Рис. 8

был примерно таким: если железный порошок все равно окисляется, то почему бы не использовать железную руду или, в конце концов, собственную ржавчину? Остаточная намагниченность «отдача» у окислов была меньше, чем у чистого карбонильного железа, но шум уменьшился настолько, что динамический диапазон при этом существенно увеличился. Самое любопытное в этом то, что подобное соотношение между отдачей, шумом и склонностью к ржавлению у «металлических» (маталлопорошковых) и оксидных магнитных лент в основном сохранилось до нашего времени.

Если работы по промышленному освоению производства магнитных лент в те годы проводились только в Германии, то аппараты магнитной записи разрабатывали и в других странах — в Японии, США, Англии, Голландии и Советском Союзе. Японцем принадлежит честь первого публичного сообщения о применении высокочастотного подмагничивания (ВЧП) при записи (Nagel N., Sasaki S., Endo J., 1938 г.). Однако имеется ряд свидетельств об аналогичных достижениях, в частности, в США в лаборатории Армстронга при разработке высокочастотной техники для ЧМ вещания. Кстати, именно Армстронг ввел термин «High Fidelity», превратившийся затем в заголовок каждому «Hi-Fi». Здесь уместно напомним, что первый патент (№ 1640861) на устройство высокочастотного подмагничивания, повышавшего чувствительность магнитной ленты, был заявлен в США еще в 1921 г. (!), но о нем вспоминали только после 40-летнего изобретения ВЧП на рубеже 40-х годов.

Подмагничивание высокочастотным током (за рубежом называемое AC Bias) дало два огромных преимущества: первое — в паузе лента размагничивалась (и шум на порядок ниже), а второе — резкое снижение наливных и особенно интермодуляционных искажений, что позволило примерно втрое поднять допустимый уровень записи по сравнению с подмагничиванием постоянным током (DC Bias). В результате динамический диапазон магнитной записи достиг 60 и более децибел при нелинейных искажениях

не выше 2...3 %, полоса пропускания была доведена до 15...16 кГц. Магнитная запись по своему качеству резко превзошла все остальные, известные к тому времени способы записи звука.

Следует заметить, что благодаря эксплуатационным достоинствам магнитной записи ее конкуренты исчезли с изобретением пластмассовой ленты. Поэтому неудивительно, что магнитная лента начала свое победное шествие по всему миру, а магнитофон стал неотъемлемой частью почти любой звуковой аппаратуры. Технология магнитной записи на сегодняшний день и обозримом будущем является доминирующей для записи звуковой и любой другой информации.

Несмотря на сказанное выше, нельзя не напомнить, что первые патенты (DRP №№ 743411, 743186 и 743510, заявленные еще в 1940—1941 гг.) на способ высокочастотного подмагничивания получили немецкие инженеры Брауншмид и Вебер из компании Telefunken. В отличие от остальных, они, случайно обнаружив резкое улучшение качества записи при самовозбуждении усилителя записи на высокой частоте, не потрудились тщательно раздобрать в механизме действия высокочастотного поля. Благодаря этому они смогли грамотно составить описание и формулы изобретения, заслуженно закрепив за собой приоритет не только способа высокочастотного подмагничивания, но и методики его регуляции и практической реализации.

В результате этих работ впервые удалось серьезно произвести аппаратуру для записи звука, обладающую настолько высоким качеством, что при ее применении в радиовещании и звукоусилении слушатели уже не могли определить разницу в качестве при трансляции «живого» концерта или воспроизведении ранее сделанной записи. Возможности магнитной записи впервые позволили копировать фонограмму из отдельных, наиболее удачных фрагментов нескольких исполнений, поэтому резко улучшилось качество и грамзаписей.

(Окончание следует)

МАГНИТОЛА

«ВЕГА РМ-252С»

Л. ВАСИЛЬЕВА, г. Москва

ПАМЯТИ ВИКТОРА АЛЕКСЕЕВИЧА КАЛАЧЕВА

28 января 1996 г. на 57 году жизни скоропостижно скончался Виктор Алексеевич Калачев — один из известных радиоспорсменов и талантливых конструкторов высококлассной радиоаппаратуры для спортивной радиопеленгации.

Имя Виктора Алексеевича Калачева хорошо известно в широких кругах радиобиологической общественности, особенно среди радиоспорсменов — «охотников на лис», не только нашей страны, но и за ее рубежами. Мастер спорта, участник российских, всесоюзных и международных соревнований и чемпионатов Европы и мира по «Охоте на лис», он всегда отличался высокой работоспособностью, завидным упорством в достижении победы, добравшимся к этому отношению к своим соперникам и готовностью поделиться опытом с теми, кто в этом нуждался.

На протяжении шести лет — в 1963–1968 годах — Виктор Алексеевич был членом сборной команды СССР, выступая на крупнейших в мире соревнованиях по радиопеленгации, успешно защищая спортивную честь нашей Родины.

Почти на каждом соревновании по «Охоте на лис» можно было встретить немало наших опытных спортсменок, выступавших с уникальными приемниками пеленгаторами, созданными В. А. Калачевым для членов сборной команд СССР и России. «Калачевская аппаратура» помогла многим из них добиваться высоких спортивных достижений и почетных чемпионских титулов.

В свое время в стране год от года пополнились ряды энтузиастов спортивной радиопеленгации в основном за счет молодежи. И в этом тоже несомненная заслуга Калачева конструктора. Именно он специально для начинающих «охотников» разработал образец простого приемника, который затем в сотнях экземпляров повторяли в радиоклубах, школьных радиокружках и на станциях юных техников, вооружая ими будущих мастеров спорта.

В. А. Калачев — неоднократный участник и призер всесоюзных и российских выставок творчества радиобиологических конструкторов. Он был и активным автором «Радио». Описание его лучших разработок спортивной аппаратуры часто публиковались на страницах журнала.

Много лет В. А. Калачев плодотворно трудился на кафедре радиобиологии Московского государственного университета. И здесь проявился его конструкторский талант. Достаточно вспомнить, что Виктор Алексеевич был автором разработки и создания нескольких поколений современной электронной аппаратуры для нужд космической радиобиологии, получившей высокую оценку специалистов.

Честный и бескорыстный человек, чуткий и отзывчивый товарищ, Виктор Алексеевич пользовался заслуженным авторитетом и уважением среди всех, кому довелось с ним работать, дружить или просто общаться. Светлая память о нем навсегда сохранится в наших сердцах.

Редакция журнала «Радио»,
Центральный радиоклуб
им. Э. Т. Кренкеля

Окончание. Начало см. в «Радио», 1996 г., № 2, с. 11; № 3, с. 36

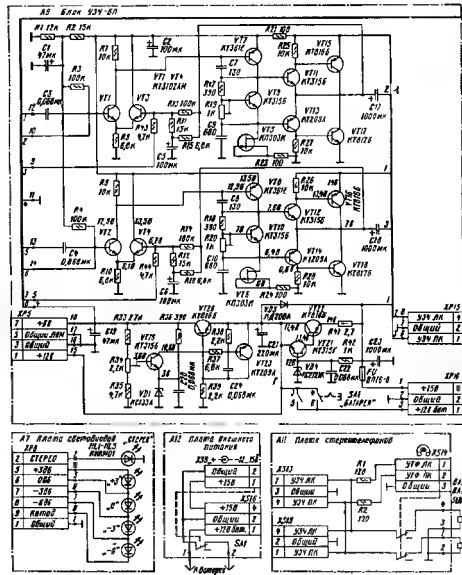


Рис. 5

браны по общеизвестным схемам на транзисторах VT1–VT18.

Усилитель ЗЧ имеет две отличительные особенности: применение входного дифференциального каскада на транзисторах VT1, VT3 (VT2, VT4), обеспечивающего наилучшую стабильность средней точки усилителя мощности при изменении напряжения питания, и использование в качестве коллекторной нагрузки каскада на транзисторе VT7 (VT8) полевого транзистора VT5 (VT6), позволяющего получить хорошую стабильность тока покоя усилителя мощности и большой коэффициент усиления самого кас-

када на транзисторе VT7 (VT8). Ток покоя выходных транзисторов регулируется резистором R19 (R20).

Тембр сигналам может быть установлен с помощью четырехполосных активных частотно-зависимых фильтров блока регуляторов A10, включенных в цепь обратной связи усилителя ЗЧ. Тембр регулируется на частотах 160, 1000, 3150 и 10000 Гц резисторами R3, R4, R11, R12; R19, R20 и R27, R28 соответственно.

С выхода усилителя мощности через разделительные конденсаторы C17, C18 и разъем XP15/XS15 сигналы левого и правого каналов поступают на плату стереотелефонов (A11), а затем через нормально замкнутые контакты соединительного гнезда XS14 — на громкоговорители BA1, BA2. При подключении к гнезду XS14 стереотелефонов громкоговорители отключаются и стереофонический сигнал поступает на стереотелефоны.

Розетка XS13 служит для технологических целей.

Функции индикатора включения блока питания.

Напряжение с блока питания через разъем XP9/XS9 подается на плату внешнего питания A12. При подключении магнитолы к сетевому блоку питания размыкатель розетки XS9 платы A12 отключает минусовый провод батареи элементов питания. Ее плюсовой провод коммутируется выключателем SA1 "Батарея" в блоке УЗЧ-БП (A9). С платы внешнего питания выпрямленное блоком питание напряжение через разъем XS16/XP16 поступает на транзисторы VT11. VT18 усилителя мощности и на вход стабилизатора напряжения +12 В, собранного на транзисторах VT21, VT22.

С выхода стабилизатора напряжение +12 В через разъем XP5/XS5 подается в блок магнитофонов панелей для питания двигателя ЛПМ и на вход стабилизатора напряжения -6 В на транзисторах VT19, VT20. Выходное напряжение этого стабилизатора используется для питания

ЗНАМЕНАТЕЛЬНАЯ ДАТА

ДЕВИЗ ФЕСТИВАЛЯ — «ДЕТИ, ТЕХНИКА, ТВОРЧЕСТВО»

12 октября 1926 г. — знаменательная дата. В Москве на первом сборе юных гениев — юных техников было объявлено о создании Центральной станции юных техников. Этот день считается началом движения организованного технического творчества в России. В текущем году отмечается 70-летие годовщины движения, в ознаменование которой проводится Всероссийский фестиваль "Дети, техника, творчество".

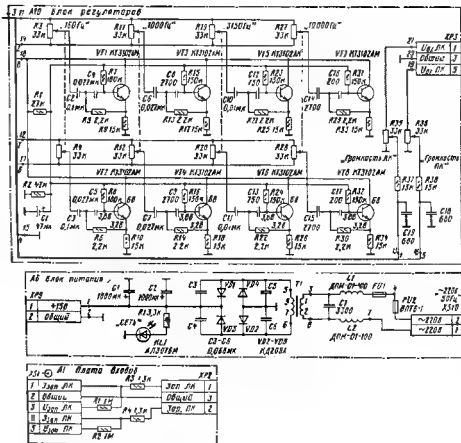
Фестиваль стартовал в январе на всей территории России, его заключительный этап пройдет в Москве в октябре 1996 г. Целью фестиваля является выявление одаренных детей, проявляющих интерес к науке и технике, консолидация усилий педагогов, родителей и общественности в развитии творческой деятельности детей, привлечение общественного внимания к проблемам развития технического творчества учащихся, как одного из путей создания творческого и потенциала и решения проблем научно-технического прогресса России.

В рамках фестиваля пройдут спартакиады по техническим видам спорта и показательные выступления лучших спортсменов, конкурсы видеороликов о деятельности учреждений профессионального образования, телевизионные пресс-конференции, научно-практическая конференция руководителей и организаторов технического творчества.

В марте в Объединенном павильоне "Народное образование" на ВВЦ (бывшая ВДНХ) в Москве открылась Всероссийская выставка технического творчества учащихся, на которой, в частности, есть разделы "Радиоэлектроника", "Спортивно-технические модели", "Юные техники малому бизнесу", "Техническое творчество и товары народного потребления", "Игра и игрушки". Выставка продлится до 25 ноября 1996 г.

Своеобразный флиппинг этой постоянно работающей выставки разместился на территории московского Центра технического творчества учащихся Министерства образования Российской Федерации по адресу ул. Тихвинская, 39, строение 2. На ней представлены действующие модели, оригинальные механизмы, оборудование, инструменты. Вход на выставку — свободный. При желании заказать экскурсию по выставке нужно позвонить по тел. (095) 972-43-28.

Дети-авторы наиболее интересных работ и их педагоги будут награждены дипломами и памятными подарками Министерства образования Российской Федерации и Центра технического творчества учащихся, а также медалями "Лауреат ВВЦ", "Юный участник ВВЦ" и дипломами "Участник ВВЦ".



Питается магнитола "Bera PM-25C" от блока питания (A6). При подключении его к сети через розетку XS10 предохранитель FU2 и терморепрессор FU1 сетевое напряжение поступает на трансформатор питания Т1. Далее оно выпрямляется мостовым выпрямителем на диодах VD1—VD4 и сглаживается конденсаторами фильтров C1, C2. Фильтр C1LC7 подавляет высокочастотные помехи от сети. Светодиод HL1 выполняет

электронных узлов блока регуляторов (A10), блока УЗВ (A3) и блока ВД-ПЧ (A1). Регулируется напряжение +6 В резистором R34.

При питании магнитолы от батареи ее напряжение через диод VD3 (A9) подается на транзисторы усилителя мощности и, минуя стабилизатор на напряжение +12 В, поступает также из двигателя ЛПМ и стабилизатор на напряжение +6 В.

РАДИОПРИЕМНИКИ НА ОТЕЧЕСТВЕННОМ РЫНКЕ

В. ГНАТЕНКО, г. Москва

В последнее время на прилавках магазинов появилось огромное количество, в основном, зарубежной телевизионной, видео- и аудиотехники, значительно меньше — радиоприемников. Наряду с изделиями малоизвестных фирм, есть и аппараты, выпускаемые популярными производителями и отличающиеся достаточно высокими качественными показателями. Однако они не всегда имеют соответствующие их цене технические характеристики. Автор публикуемой ниже статьи сравнил работу нескольких зарубежных радиоприемников с широко известным приемником "Океан-214" производства минского радиозавода. Результаты испытаний показали радиации весьма интересными, поэтому мы решили познакомиться с ними наших читателей. Надеемся, что это поможет им более грамотно подходить к выбору той или иной модели радиоприемника при его покупке.

Рынок переносных радиоприемников зарубежного производства представлен, в основном, недорогими моделями марок "International" и "Artech" и несколькими более дорогими "Sony" и "Philips". Условно все эти аппараты можно отнести к третьей и четвертой группам сложности. Они выполнены, как правило, на одной микросхеме и иногда имеют светодиодный индикатор настройки. Некоторые модели содержат встроенный блок питания и развивают выходную мощность около двух ватт. У приемников напольный дизайн. Они обеспечивают прием на всех радиовещательных диапазонах, причем их коротковолновые диапазоны разбиты обычно на несколько растянутых поддиапазонов от 11 до 75 м.

Встречающиеся в продаже переносные радиоприемники производства стран СНГ относятся к тем же группам сложности, что и зарубежные. Однако они проигрывают последним в дизайне и потребительских качествах. Например, в них, за редким исключением, предусмотрено только два-три растянутых КВ диапазона, да и то не в каждой модели. Автор провел сравнение работы импортных моделей с многодиапазонным радиосетевым приемником II группы сложности минского радиозавода "Океан-214" (рис. 1), некогда бывшим весьма популярным в нашей стране. Модернизированные приемники этой группы сейчас выпускаются под торговыми наименованиями "Selena" и "Beras".

Как и зарубежные приемники, минские аппараты, к сожалению, часто поступают в продажу плохо настроенными как по высокой, так и промежуточной частоте. Это обстоятельство не позволяет реализовать высокую чувствительность (до 70 мкВ), которую могли бы обеспечить приемники такого класса.

Для оценки работы зарубежных аппаратов были испытаны десять образцов самых популярных моделей: "International 799", "International MT-718" (рис. 2),

"Artech H 108" (рис. 3), "Artech H-123" (рис. 4). Оказалось, что практически почти у половины проверенных КВ приемников отмечались несоответствие частоты настройки меткам шкалы. У многих аппаратов не были настроены входные контуры. Это, к счастью, легко исправить, поскольку все испытываемые модели имеют индивидуальные контуры для каждого коротковолнового диапазона, что позволяет с помощью подстроечных катушек

индуктивности настроить входные и геродиодные контуры на нужные частоты. После такой процедуры возрастает чувствительность и улучшается качество звучания приемников.

Иногда в продаже бывают и приемники довольно высокого класса, например, "Panasonic RF-B45" (рис. 5), "SONY-SW 7600". Это всеволновые модели с синтезаторами частоты, электронной настройкой, возможностью приема ЧМ, АМ и SSB сигналов. Несмотря на небольшие размеры, они новы, ценой различными сервисными устройствами. К работе этих аппаратов нет почти никаких претензий, но и стоят они дешевле — около 200 долларов.

В последнее время в магазинах появился и престижный приемник фирмы GRUNDIG — "Satellit 700" (рис. 6), пришедший на смену старой модели "Satellit 650 Professional". В различных рекламных проспектах его относят к самому высокому классу подобной аппаратуры. Стоит он около 500 долларов. Аппарат предназначен для приема радиовещательных станций в диапазоне УКВ [87,5...108 МГц], а также в диапазонах длинных, средних и коротких волн (1,612...30 МГц), возможен прием SSB сигналов. В диапазонах СВ, ДВ, КВ предусмотрено двойное преобразование частоты: первая промежуточная частота равна 54,5 МГц, вторая — 450 кГц.

В ЧМ тракте имеется стереодекодер и декодер системы RDS, оценивающий качество приема. К сожалению, реализовать возможности системы RDS даже в Москве полностью не удастся, поскольку из четырнадцати радиостанций, работающих в диапазоне УКВ-2, только две — "Престиж" и "Радио-Рокс" — передают сигналы, опознаваемые приемником как RDS. "Satellit 700" оборудован RCM памятью (ПЗУ) с записями на заводе-изготовителе частотами и названиями двенадцати радиостанций с восемью альтерна-

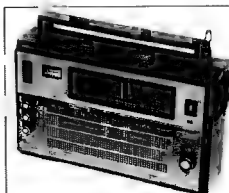


Рис. 1

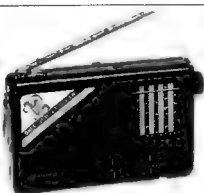


Рис. 3



Рис. 2



Рис. 4



Рис. 5



Рис. 6

тивными частотами для каждой из них. Всего — 96 частот.

Основная память приемника позволяет пользователю записывать в нее частоты и названия шестидесяти четырех радиостанций и по восемь альтернативных частот для каждой. Всего — 512 частот.

Казалось бы, широкие функциональные возможности аппарата позволяют надеяться и на высокое качество радиоприема. Однако эти надежды, как показала проверка, не оправдались. В целях объективной оценки качества работы "Satellit 700" было организовано прослушивание нескольких таких аппаратов. Все они изготовлены фирмой GRUNDIG на предприятии в Португалии, а блоки сетевого питания к ним — в Китае. Одновременно оценивалось качество работы и ряда других приемников: "Океан-214" (пять лет работы, ремонту и подстройке не подвергался), новые "Panasonic RF-845", "Archie H-123", "Archie H-108", "International 799" и "International MT-718". Для устранения влияния помех, свойственных большому городу, прослушивание проводилось за городом, в 60 км от Москвы. Подобные испытания полезны, в частности, потому, что зарубежные изготовители радиоприемников, в том числе и GRUNDIG, не сообщают в прилагаемых инструкциях всеобъемлющих характеристик своих изделий. А это значит, что, приобретая аппаратуру этой фирмы, вы никогда не знаете, на какое качество ее работы можно рассчитывать.

Неоднократное прослушивание радиоприемника "Satellit 700" показало, что все сервисные режимы аппарата работают очень хорошо. Прием станций в диапазоне УКВ, работа стереодекодера и декодера RDS также не вызывают никаких нареканий. Вместе с тем было отмечено глухое, невыразительное звучание передатчика по сравнению с остальными испытываемыми аппаратами. На других диапазонах, особенно на коротких волнах, выявлен ряд все более неприятных качеств.

Так, например, был отмечен высокий уровень собственных шумов, проявляющихся как довольно сильное шипение даже при полностью убранной антенне. Этот недостаток усугубляется неудачной частотной характеристикой усилителя ЗЧ приемника. Недостаточный подъем высоких частот не позволяет выделить звучные передачи на фоне паразитного шума. В результате шум приемного тракта как бы усиливается в усилителе ЗЧ, а это приводит к тому, что прием слабо слышимых радиостанций становится практически невозможным, поскольку их звучание полностью маскируется шумами приемника.

К тому же постоянное присутствие паразитного шума раздражает слушателя.

При приеме слабо слышимых радиостанций с речевыми программами на радиоприемник "Океан-214" и другие упомянутые выше аппараты была достигнута 100%-ная разборчивость передач. В тех же условиях приемники "Satellit 700" и "International MT-718" обеспечивали разборчивость лишь на уровне 15...20%.

В радиоприемнике "Satellit 700" обнаружены также побочные каналы приема практически по всему КВ диапазону. Уровень этих паразитных сигналов так велик, что иногда делал невозможным прием слабо слышимых станций.

Такой же эффект имел место при использовании приемника "Panasonic RF-845", даже когда была значительно увеличена общая длина антенны. В остальных аппаратах ничего подобного обнаружено не было.

Реальная чувствительность "Satellit 700" в КВ диапазонах оказалась хуже, чем, например, у приемников "Океан-214" и "Panasonic RF-845". Так, прием одних и тех же слабо слышимых радиостанций "Океаном-214" был лучше, чем приемником "Satellit 700". Чувствительность последнего в КВ диапазонах оценена не выше 100 мкВ, что может быть нормой для довольно посредственного аппарата.

В общем, можно сделать вывод: радиоприем в КВ диапазонах выполняется приемником "Satellit 700" весьма скромно и с посредственным качеством. Заметим, что такой же уровень качества приема в КВ диапазонах обеспечивают даже дешевые приемники на одной микросхеме, не говоря уже об "Океане-214", "Panasonic RF-845", "Sony-SW-7600".

Результаты подобной экспертизы позволяют более трезво подходить к выбору и приобретению радиоприемников и, в частности, дорогих моделей некоторых известных фирм. Например, учитывая сравнительно высокую стоимость радиоприемника фирмы GRUNDIG — "Satellit 700" и довольно рядовые параметры приемного тракта этого аппарата, есть смысл приобрести более дешевый приемник с менее громким названием.

В заключение хотелось бы отметить, что широко известный в нашей стране "Океан-214", показавший неплохие результаты, может быть улучшен даже радиолюбителем средней квалификации. Для этого нужно встроить в него отключаемый синхронный детектор и подключить самодельный КВ конвертер на необходимые диапазоны.

ПРОДОЛЖАЕТСЯ ПОДПИСКА НА "КВ ЖУРНАЛ" НА 1996 г.

Стоимость индивидуальной подписки (за год выйдет четыре номера), включая пересылку на домашний адрес, внутри России — 20000 руб., для стран СНГ — 30000 руб., для остальных стран — 80 долл. США.

При подписке в один адрес десяти и более экземпляров журнала предоставляется 10%-ная скидка.

Не ищите название нашего издания в каталогах "Роспечати" — его там нет, и почтовые отделения подписку на "КВ журнал" не принимают. Подписаться можно только в редакции. Но для этого вовсе не обязательно приезжать к нам, хотя мы всегда рады гостям. Деньги за подписку можно направить и почтовым переводом на расчетный счет ЗАО "Журнал "Радио" — он указан на третьей странице журнала "Радио". Там же вы найдете банковские реквизиты для организаций. На бланке перевода нужно обязательно указать, за что уплачены деньги, куда и на чье имя пересылать журнал (эти сведения будут занесены в нашу базу данных). Почтовую квитанцию о переводе денег храните у себя.

В редакции есть номера "КВ журнала" за 1994 и 1995 гг. Стоимость одного экземпляра отдельных номеров с учетом пересылки внутри России: № 1 и 2 за 1994 г. — по 2200 руб., № 3, 4, 5 — по 3700 руб.; № 1, 2, 3 за 1995 г. — по 4200 руб. Комплект журналов за 1994 г. стоит 15500 руб., за 1995 г. — 9000 руб. Имеется также небольшое количество "КВ журнала" № 6 за 1993 г. Цена одного экземпляра — 1700 руб.

Наши контактные телефоны:
(095) 207-77-28, (095) 208-89-49.

Думаем, что читателям "Радио" небезы интересно будет узнать, какие материалы были помещены на страницах "КВ журнала" в 1995 г. в разделе "Техника".

В течение года здесь были опубликованы описания нескольких законченных конструкций связной аппаратуры и отдельных узлов, в частности, трансивера "РП-94" (№ 2, 3), универсального низкочастотного тракта трансивера "Целина" (№ 1), конвертера 430/144 МГц (№ 2), усилителя мощности для QRP-трансивера, с автоматической настройкой (оба в № 1) и на двух лампах ГУ-70Б (№ 3), блока питания для портативной радиостанции (№ 1), многодиапазонной антенны и антенны на диапазон 144 МГц (№ 2). В № 3 даны рекомендации по переделке армейской связной техники для любительских целей. Читатели познакомились с компьютерной системой связи TCP/IP (№ 1, 2).

Редакция "КВ журнала"

УКВ ЧМ ПРИЕМНИК НА МИКРОСХЕМЕ КФ548ХА1

И. НЕЧАЕВ, г. Курск

Микросхема КФ548ХА1 предназначена для работы в усилителях ПЧ супергетеродинных АМ радиоприемников с промежуточной частотой 465 кГц. На первый взгляд, она непригодна для приемника ЧМ сигналов. Однако опыт показал, что эта экономичная микросхема (для ее питания требуется источник напряжением 3...6 В) может применяться и в ЧМ приемниках.

Схема УКВ радиоприемника с усилителем ПЧ на микросхеме КФ548ХА1 приведена на рис. 1, а принцип ее использования для демодуляции ЧМ сигнала поясняется рис. 2. КФ548ХА1 содержит входной регулируемый усилитель, трехкаскадный активный фильтр-усилитель и АМ-детектор. Фильтр обеспечивает полосу пропускания по уровню -3 дБ около 40 кГц, т. е. он эквивалентен по избирательности LC-контуре с добротностью 10...12. Такой фильтр-усилитель имеет достаточно протяженные склоны АЧХ, и если подать на него ЧМ сигнал с центральной частотой, соответствующей середине линейного участка, то он будет преобразован в сигнал с амплитудной модуляцией, который уже может детектироваться АМ-детектором микросхемы. Описанный метод детектирования ЧМ сигналов широко применяется еще несколько десятилетий назад. Конечно, качество сигнала 3Ч, по сегодняшним меркам, нельзя назвать высоким, но для миниатюрного УКВ приемника при работе на головные телефоны оно вполне приемлемо.

Прежде, в этом случае значение ПЧ должно быть низким (600...700 кГц), что

вынуждает в приемнике с однократным преобразованием частоты мириться с помехами по зеркальному каналу либо использовать двукратное преобразование. Если в УКВ диапазоне работают две-три радиостанции, в это характерно почти для всей территории России и других стран СНГ, то хорошие результаты можно получить и в приемнике с однократным преобразованием частоты. Схема именно такого приемника и приведена на рис. 1.

Он содержит усилитель радиочастоты на транзисторе VT1, смеситель на транзисторе VT2, гетеродин на транзисторе VT3, предварительный усилитель ПЧ на транзисторе VT4. На микросхеме DA1 собран усилитель ПЧ и демодулятор, а на транзисторе VT5 — усилитель 3Ч, работающий на головные телефоны. Входные сигналы отфильтровываются широкополосным входным контуром LC2C3, установленным на входе усилителя РЧ. Сигнал гетеродина поступает с истока транзистора VT3 на базу VT2. Сигналы радиостанций и гетеродина подаются на конденсатор С8, в сигналы ПЧ усиливаются транзистором VT4, который нагружен на фильтр ПЧ, выполненный на связанных контурах LC6C10, LC1C12 с полосой пропускания около 150 кГц.

К выходу 3Ч микросхемы подключен усилитель 3Ч, который имеет с ней гальваническую связь. Такое включение обеспечивает режим, близкий к режиму бесшумной настройки. Дело в том, что при работе системы АРУ микросхемы величина падения напряжения на резистора

R12 изменяется. Так, при увеличении уровня сигнала напряжение на нем возрастает. Если с помощью резистора R12 выбрать такой режим работы транзистора VT5, при котором в отсутствие сигнала он будет немного притормаживать, то уровень шума в телефонах окажется небольшим. При настройке на радиостанцию напряжение на резисторе R12 увеличивается, транзистор VT5 открывается больше и громкость сигнала возрастает. Прием ведется на шнур головного телефона, а приемник выключается, когда штекер телефона вставляется в гнездо XS1. При этом телефоны оказываются непосредственно подключенными к входному контуру, а через дроссель L4 к выходу усилителя 3Ч.

Ток, потребляемый приемником, изменяется примерно от 4...5 (при отсутствии сигнала) до 8...9 мА (при настройке на радиостанцию). Питается приемник от трех встроенных аккумуляторов Д-0,06. Для их подзарядки используется то же самое гнездо XS1. С этой целью в приемник введен диод VD1, который в обычном режиме закрыт, а при подключении зарядного устройства открывается. Схема зарядного устройства приведена на рис. 3, и питается оно от источника (можно и нестабилизированного) напряжением 9...12 В. Стабилитрон VD1 служит для защиты микросхемы от недопустимо большого напряжения и в нормальном режиме в работе не участвует, так как заряд

Большинство даталей приемника (кроме конденсатора C1 и гнезда XS1, показанных на плате широкой линией) размещены на одной стороне печатной платы (рис. 4) из двустороннего фольгированного стеклотекстолита, при этом другая сторона оставлена металлизированной и соединена тонкой фольгой с «землей» — линией, идущей по краю платы. В приемнике можно применить транзисторы VT1 — VT3 — КТ368А, КТ368Б, КТ339А; VT3 — КТ33С с индексом А, Б; VT4 — КТ315 с индексом Б-И; VT5 — КТ209 с индексом Б, Е, К, КТ3107А-Е. Оксидные конденсаторы К52-1, К53-1, К53-16, остальные (кроме подстроечного) — КМ.

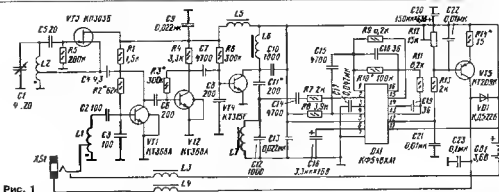


Рис. 1

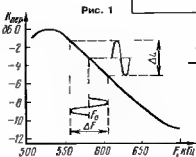


Рис. 2

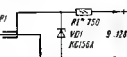


Рис. 3

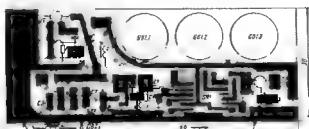


Рис. 4

С ЮМОРОМ, НО НЕ БЕЗ ЗДРАВООСМЫСЛА!

Катушка L1 бескаркасная, она намотана на оправке диаметром 3 мм и содержит семь витков провода ПЭВ-2,0,6 с отводом от третьего витка. При использовании в качестве С1 подстроечного конденсатора КТК-МТ катушку L2 можно намотать непосредственно на нем. Для этого его корпус надо покрыть слоем эпоксидного клея толщиной 0,5...1 мм, а после затвердевания клея намотать катушку, содержащую девять витков провода ПЭВ-2,0,6 с отводом от четвертого витка.

В этом случае гетеродин будет иметь перестройку в диапазоне 65...110 МГц, что позволит принимать сигналы звукового сопровождения телевидения или УКВ радиостанций в диапазоне частот 100...108 МГц. Катушки L6, L7 намотаны на кольцах К7х4,2 из феррита 1500НМ и содержат 9...10 витков провода ПЭВ-2,0,12. Катушка L5 намотана на стержне диаметром 2,8 и длиной 6...8 мм из феррита 600Н-1, содержит 25...30 витков того же провода. Если приемник не окажется склонным к самовозбуждению, то эту катушку можно исключить. Дроссели L3...L4, ДМ-0,1, ДМ-0,4 индуктивностью 20...100 мкГн.

В приемнике можно применить и подстроечные конденсаторы с воздушным диэлектриком, но при этом придется изменить топологию печатной платы. В приемнике лучше использовать голубые телефоны сопротивлением 80...150 Ом.

Настройка приемника следует начать с настройки фильтра ПЧ. Для этого сначала настраивают контуры L5C10 и L/C12 на частоту 700 кГц. С этой целью каждый контур подключают к генератору РЧ через резистор сопротивлением 10...20 кОм и, контролируя напряжение на нем с помощью вольтметра или осциллографа с большим входным сопротивлением, путем уменьшения или увеличения числа витков катушек настраивают контуры на требуемую частоту. Точности настройки ~20 кГц вполне достаточно. Для выполнения этого условия возможно придется подобрать конденсаторы С10, С12 меньшей или большей емкости (±200 пФ), при этом их ТКЕ должен быть не хуже М1500. Затем устанавливают нижнюю границу диапазона перестройки гетеродина. Делают это, изменяя число витков катушки L2, а также изменяя расстояние между витками. Если необходим диапазон перестройки в стандартном УКВ диапазоне 66...73 МГц, то параллельно катушке L2 устанавливают конденсатор емкостью 10...20 пФ. За счет сжатия или растяжения витков катушки L1 входной контур настраивают на середину диапазона входных сигналов.

Подбор номинала резистора R3 устанавливают так, чтобы транзистор V2 работал на 0,3 мА, а резистор R4 — ток через транзистор V4 в пределах 0,7...0,9 мА. Подстроечным резистором R12 добиваются, чтобы ток транзистора V75 при отсутствии сигнала радиостанции был равен 1...2 мА.

После настройки на радиостанцию качество приема можно попытаться улучшить за счет сечения в ту или иную сторону настройки активного фильтра. Для этого параллельно конденсаторам С18 и С19 подключают дополнительные конденсаторы емкостью 3...10 пФ или параллельно резисторам R9, R11 — резисторы сопротивлением 50...100 кОм.

Очевидный путь усовершенствования этого приемника — введение двукратного преобразования частоты, что при использовании малогармоничных пьезокерамических фильтров ПЧ позволит без увеличения габаритов повысить селективность приемника и сократить количество катушек индуктивности.

Импортный аппарат вокруг нас стало много. Непонятных надписей и терминов на коробках, в прилагаемых этикетках и рекламных проспектах — еще больше. Неискушенный потребитель часто теряется и все это принимает за "чистую монету". Однако спустя некоторое время после покупки эйфория уступает место прозе жизни. Поэтому, потенциальные покупатели, будьте внимательны и бдительны!

Изготовители аппаратуры изобрели специальный сленг с целью разжигания собственной пропаганды. Как это всегда бывает, последующий, более точный перевод их информации на общедоступный язык понимания не всегда подтверждает "возлюбленные" свойства аппарата, который нам предлагают приобрести. Ниже приведены дословные переводы терминов (в скобках) и примечания к ним, сделанные в шуточной форме. Возможно, это поможет покупателям избежать массу стрессов и неприятных минут. Итак:

NEW (новое) — зачастую следует понимать как отличающееся по цвету от предыдущей модели;

ALL NEW (совершенно новое) — значит, детали не подходят к предыдущим моделям;

PROTOTYPE (прототип) — аналогичное изделие было, но не прижилось; попытайтесь счастье с новым;

EXCLUSIVE (исключительное) — импортное изделие; изготовлено специально для вас;

UNMATCHED (несравнимое) — почти такое же, как у конкурентов, но не прошедшее тестирования;

DESIGN SIMPLICITY (простая конструкция) — большие расходы на производство фирме не по карману, пришлось упростить конструкцию;

FOOLPROOF OPERATION (легкое управление) — справится любой, даже дошкольник в ваше отсутствие;

ADVANCE DESIGN (прогрессивная конструкция) — немного отличается от прототипа, но трудно объяснить, чем именно;

IT'S HERE AT LAST (наконец-то оно появилось) — особая конструкция изделия, которую ранее не могли освоить на производстве;

FIELD TESTED (испытано при эксплуатации) — видимо, у фирмы отсутствуют технологии и приборы для тестирования изделия до его эксплуатации;

HIGH ACCURACY (высокой точности) — фирме неудобно говорить о стоимости изделия; она гораздо выше точности;

DIRECT SALES ONLY (только прямые поставки) — изготовитель не смог договориться с грамотным посредником;

YEARS OF DEVELOPMENT (многoletний опыт) — по прошествии многих лет выяснилось, что

только эта модель может работать; **UNPRECEDENTED PERFORMANCE (непревзойденное качество)** — из того, что мы до сих пор изготавливали, работает лишь эта модель; **REVOLUTIONARY (революционное)** — несколько иное, чем у конкурентов;

BREAKTHROUGH (открытие непереходной в-жестости) — наконец-то нашлось применение и для этой модели;

FUTURISTIC (модель будущего) — а как еще можно объяснить внешний вид изделия, которое сегодня мало кто рискнет приобрести;

DISTINCTIVE (существенно отличающееся) — изделие другой формы, другого цвета, кнопки переставлены, в остальном никаких отличий;

MAINTENANCE FREE (не нуждающийся в уходе) — не подлежащее ремонту;

REDESIGNED (переработанное) — надемся, что обнаруженные недостатки уже исправлены, остальные пока нет;

HAND-CRAFTED (ручная сборка) — сборщики работают на станках, не надевая перчаток;

PERFORMANCE PROVED (опробовано) — будет работать до окончания гарантийного срока;

MEETS ALL STANDARDS (отвечает всем нормам) — нашим нормам, но не вашим;

SATISFACTION GUARANTEED (удовлетворение гарантировано) — единственным довольным останется изготовитель после получения вашего чека;

MICROPROCESSOR CONTROLLED (управляется микропроцессором) — модель делает то, чего я не могу объяснить;

ALL SOLID STATE (полупроводниковое исполнение) — не обращайте внимания, что весом с корову;

BROADCAST QUALITY (высокое качество приема) — если повезет, можно добиться изображения и звука;

BUILT TO PRECISION TOLERANCES (изготовлено с минимальными допусками) — наконец-то одна деталь подходит к другой;

MILITARY SPEC COMPONENTS (детали, отвечающие требованиям военно-промышленного комплекса) — изготовлено из деталей, которые оказались не нужны военным;

24 HOUR CUSTOMER SERVICE (круглосуточное обслуживание заказчиков) — у нас найдется человек, который будет полностью вас игнорировать в течение суток;

CUSTOMER SERVICE NATION-WIDE (обслуживание заказчиков на территории всей страны) — в большинстве аэропортов имеются пункты приема в ремонт

По материалам
"STEREO & VIDEO"

ЦЕНТР АЦП АОЗТ "Руднев-Шияев"

Устройства сбора, обработки и ввода/вывода аналоговой и цифровой информации с гарантированными метрологическими параметрами для ПЭВМ IBM PC/XT/AT/EISA/PCI

Для автоматизации:

- лабораторий и производств
- медицинских комплексов
- научных исследований
- измерительных комплексов

См. журнал "Радио" N3, 1996 год

Задать вопросы Вы можете
по тел.: 7-(095) 288-3766, 288-4075

Приезжайте по адресу:

1 Щемиповский пер., д.16
(метро "Новослободская")
АОЗТ "Руднев-Шияев"
местный тел.: 3-20, 7-41, 7-45



АСТРОНИКА

Мы продаем надежные
теле- и радиопередатчики!

Мощностью 100, 200, 500, 1000 и 2000 Вт.
ДМВ, МВ, ЧМ-стерео.

Практически необслуживаемые!

С эффективными антенно-фидерными системами:

- турникетная одноэтажная
Диаграмма направленности - круговая
- турникетная четырехэтажная
Диаграмма направленности - круговая
коэффициент усиления $K_u = 4\text{дБ}$
- панельная
Диаграмма направленности от секторной (90°)
до круговой, коэффициент усиления $K_u = 10\text{дБ}$

Электронная защита:

- входа и выхода (го КСВ);
- по теплу;
- по току.

Автоматическое трехкратное включение

при кратковременных бросках напряжения в сети 220В (380В)
Параметры передатчиков соответствуют ГОСТ 20532-83.

Гарантия
2 года

А также другую телевизионную технику:

- транскодеры-микшеры PAL-SECAM, NTSC-SECAM;
- транскодеры SECAM-PAL;
- корректоры временных искажений;
- платы ввода-вывода (бегущая строка, страница, фирменный знак);
- графические станции S-VHS.

Новосибирск 8 (383-2) 35-35-78

РЕКЛАМА ПРАЙС-ЛИСТЫ ОПИСАНИЯ ПАРАМЕТРЫ ХАРАКТЕРИСТИКИ РЕКОМЕНДАЦИИ ОБЗОРЫ СТАТЬИ БИБЛИОГРАФИЯ АННОТАЦИИ ЖУРНАЛ «ЭЛЕКТРОННЫЕ КОМПОНЕНТЫ»

Российский журнал для специалистов, занимающихся разработкой, производством и ремонтом изделий электронной техники.

ТЕМАТИЧЕСКИЕ РАЗДЕЛЫ ЖУРНАЛА:

- рынок электронных компонентов: события, обзоры, прогнозы;
- ведущие компании-производители, дистрибьюторы и поставщики;
- продукция, описания и рекомендации по применению;
- прайс-листы и каталоги;
- адреса и телефоны торговых организаций;
- коммерческие предложения и информация.

Журнал распространяется по подписке и в розницу.
Подписные индексы (второе полугодие 1996 г.)

«РОСПЕЧАТЬ» **72209**

ФУПС для России **34244**

для других регионов **34279**

Редакционную подписку на три очередных номера можно оформить с любого месяца без ограничений.

РЕДАКЦИЯ ЖУРНАЛА «ЭЛЕКТРОННЫЕ КОМПОНЕНТЫ»

тел./факс [095] 912 2427, 911-9558,

факс [095] 923-6442 тел. [095] 237-3058

109044 Москва, а/я 19. E-mail: Alex@compel.msk.su

Талон подписки на три номера журнала «ЭЛЕКТРОННЫЕ КОМПОНЕНТЫ» (оформление подписки с любого месяца)

Адрес

Организация

Отдел

ФИО

Телефон Факс

Коп-во экземпляров Сумма

Дата оплаты подписки

Стоимость подписки на три номера (с учетом доставки по почте, включая все налоги) 36 000 рублей — для России, 45 000 рублей — для других регионов.

Заполненный талон с копией платежного документа выслать по адресу: 109044 Москва, а/я 19

Банковские реквизиты для Москвы и Московской обл.
получатель - АО "Компэл", ИНН 7713005406,
р/с 107467752 в Татарском филиале Инкомбанка г. Москва
МФО 998/36 уч. сс. с пометкой: «оплата за подписку на журнал «Электронные компоненты»».

Банковские реквизиты для других регионов:
получатель - АО "Компэл", ИНН 7713005406,
р/с 107467752 в Татарском филиале Инкомбанка г. Москва
502161000 в РКЦ 19 ЦБ РФ г. Москва МФО 201791
[44583001] уч. сс. с пометкой: «оплата за подписку на журнал «Электронные компоненты»».

Научно-Технический Центр АВТОНИМ

- всё для ПЛОТТЕРОВ

(Hewlett-Packard, Houston Instrument, Graphtec, Benson (Oce Graphics), Calcomp, Roland, Mutoh, Sekonic, Numonics, Микрограф и любых других) предлагает любые РАСХОДНЫЕ МАТЕРИАЛЫ (со склада в Москве) для черчения по ватману, калька, чертежной бумаге, пленке и т.д.

Производства как фирмы АВТОНИМ так и фирм Германии, США, Франции, Японии

Универсальные пишущие узлы для черчения тушью (стальные; хромсталь; остоуостойчивые из карбида вольфрама; супер устойчивые с наконечником из драгоценного камня).

С шириной линии письма 0,1 0,18, 0,2 0,3, 0,4; 0,5, 0,6, 0,8, 1,0 мм.

Многоразовые рапидографы любых диаметров

Одноразовые рапидографы с водостойкой тушью

Супергрифели для карандашных плоттеров



Адаптеры

(плунжера, переходники)

пишущих узлов для

любых моделей плоттеров

Фломастеры

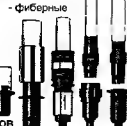
всех цветов

- пластиковые

- нейлоновые

- шариковые

- фибровые



Установки ультразвуковой очистки



Плоттерная бумага

Чистящая жидкость

Чистящие устройства

Шариковые стержни под давлением

Сканирующие головки для плоттеров HP

Почтовый адрес:

119517 г. Москва а/я 48

НТЦ АВТОНИМ

Тушь

всех цветов

для любых скоростей

черчения и типов

поверхностей



Тел.: (095) 144-66-24,

(095) 441-55-54,

ТелеФакс: (095) 144-66-24

T-ХЕЛПЕР

ОБОРУДОВАНИЕ И СИСТЕМЫ РАДИОСВЯЗИ

STANDARD

OPTOELECTRONICS

AOR

STARTEK

ANAL

ZETRON

CELWAVE

WACOM

AEA

Cushcraft



T-ХЕЛПЕР предлагает современные высококачественные средства и технологии связи для работы в диапазонах 130-174, 300-375, 400-512, 800-900, 1200-1300 МГц:

- транковые системы SmartLink I, MPT 1327 и их компоненты,
- системы служебной радио- и радиотелефонной связи,
- радиостанции носимые, автомобильные, стационарные,
- ретрансляторы различного назначения,
- антенны, антенные устройства, кабельную продукцию,
- радиооборудование для морских и речных судов и береговых служб,
- полный ассортимент сканирующих приемников и программного обеспечения к ним,
- оборудование передачи данных по эфиру,
- радиотелефонные интерфейсы,
- аксессуары, источники питания,
- контрольно измерительное оборудование

Все оборудование сертифицировано Министерством Связи Российской Федерации и прошло тщательное тестирование в лаборатории Т-Хелпер.

Мы предлагаем уникальный спектр услуг:

- гарантии на все оборудование (до 36 месяцев),
- консультации квалифицированных специалистов,
- оптимальная комплектация под конкретную задачу заказчика, демонстрация оборудования в действии на территории заказчика,
- качественный монтаж и наладка систем связи, обучение персонала,
- ремонтные работы и послепродажное обслуживание,
- аренда работающих систем радиосвязи,
- подключение в работающие системы радиотелефонной связи,
- обеспечение оперативной радиосвязью общегородских и спортивных мероприятий

117416, Россия, Москва, ул. Новочеремушкинская, 69^б
правое крыло, 9 этаж
тел.: 332-54-46, 333-54-87, 332-55-84 факс: 332-18-75
E-mail: radio@t-helper.msk.ru



Проводится
подписка
на российский
ежемесячный
журнал

по спутниковому телевидению

"ТЕЛЕСПУТНИК"

Публикуются материалы по программам развития спутникового ТВ, спутниковой связи и кабельного ТВ, аппаратуре, еженедельные программы передач; открыта справочно-рекламная рубрика.

Цветная полиграфия.

Печатается в Финляндии.

Стоимость подписки до 31 января одного номера на один месяц (по России):

XI, XII/95 г. - 18 000 руб., 1996 г. - 20 000 руб.

*Приглашаем к сотрудничеству
региональных распространителей.*

1233633, Москва, вб. ящ. 60

Телефон/факс: (095) 492-50-25, 495-31-55.

Лучшая техника и безупречное обслуживание!

"ОКНО-ТВ"

ПРЕДЛАГАЕТ ТЕЛЕОБОРУДОВАНИЕ:

- Видео S-VHS, Betacam, MII, DVC PRO
- ТЕЛЕ- И РАДИОПЕРЕДАТЧИКИ
(сертификат Минсвязи!)
- КОМПЬЮТЕРЫ и MULTIMEDIA
- НЕЛИНЕЙНЫЙ МОНТАЖ
- СИНХРОНИЗАТОРЫ, ВИДЕОМАРКЕРЫ
ТРАНСКОДЕРЫ, СИСТЕМЫ ШИФРАЦИИ,
ОБОРУДОВАНИЕ КАБЕЛЬНЫХ СЕТЕЙ
- ЗВУКОВАЯ, ОСВЕТИТЕЛЬНАЯ И
ИЗМЕРИТЕЛЬНАЯ ТЕХНИКА

БЕСПЛАТНО:

- ✓ гарантия 1 год со дня продажи
- ✓ доставка в пределах Москвы
- ✓ инструкции на русском языке
- ✓ все необходимые консультации
- ✓ высылаем каталог и прайс-листы

✉ 123056 Москва, Б. Кондратьевский пер. 12, стр 1

☎ (095) 212-05-91, 214-04-11

УНЧ Kenwood и Yamaha мощностью до 1000 Вт, трекеры-основные кассетные магнитофоны Technics и Sony с системами Dolby B, C, S, Akai с системой dbx, катушечные студийные Akai и Revox, магнитола и плееры Sharp с графическими эквалайзерами и системой X-Bass, видеоманитофоны Samsung, CD-плееры Эстония и Technics, спутниковые тюнеры Digma, дисководы, радиотелефоны Salvo — в рубрике "Блокнот схемотехника"

Самые популярные и экзотические схемы и информация из популярных зарубежных журналов Electronics World + Wireless World, Elektor, Everyday with Practical Electronics, Amateur Radio, Radiotechnika, Elektronika Praktyczna, Stiftung Warentest, Radioelektronik, Electronics Maplin Magazine, PC Welt, PC Format CD + CD ROM, Electronics Today International, Circuit Ideas Pocketbook и др — в рубрике "Добджест"

DX-info, QSL-managers, IOTA-news, адреса, Contests, Awards, условия и результаты соревнований, экспедиции и фестивали, официальная информация Лиги радиолюбителей Украины — в рубрике "КВ + УКВ"

Трансиверы, синтезаторы, усилители, антенны, фильтры, методики — в рубрике "Техника любительской связи"

Новости сверхдальнего радио и ТВ вещания в рубрике "Радиовещание"

Программы анализа электронных схем, разводки печатных плат, супертексты архиваторов, сравнение процессоров IBM совместимых, вычислителей, жестки, адаптеры и дилитайзеры для ZX-клона, BBS-info — в рубрике "ПК & программирование"

Характеристики отечественных и зарубежных радиолемментов — в "Справочном листе"

Антиреклама - в "Ложке дегтя"

Объявления радиолюбителей — в рубрике "Контакт"

а также схемы и статьи популярных авторов в рубриках "Схемные идеи", "ТВ", "Видео", "Ремонт", "Измерения", "Суперстек", "Звукотехника Hi-Fi", "Авто + радио", "Устройства питания", "Автоматика", "Спутниковое ТВ", "Цифровая техника", "Бытовая электроника", "Технология", "История радиотехники", "Для начинающих"

— вот краткий перечень того, с чем вы можете ознакомиться в издаваемом с января 1993 года

Н.Е.Суховин

ежемесячном журнале на русском языке для любителей и профессионалов

«РадиоАматор»

Подписка на второе полугодие только до 31 мая в любом почтовом отделении СНГ по каталогу агентства "Роспечать" индекс издания 74435. Для первых 2000 подписчиков на срок не менее 6 месяцев — беспроигрышная лотерея, призы в которой — журналы за 93-95 гг.

Адрес редакции: 252110, Киев — 110, а/я 807

Телефон: (044) 2714171, факс (044) 2763128

«ОРИОН-128»: «Z80-CARD»

Судя по редакционной почте, многие читатели, собравшие по описанию в журнале любительский компьютер "Орион-128", хотели бы заменить примененный в нем микропроцессор KP580BM80A на более совершенный Z80. Сегодня мы выполним их просьбу. В публикуемой ниже статье описана доработка компьютера, выполненная отделом электронной техники "Орион-Сервис" ТОО "Гримакс". Статья подготовлена на основе "Документации № 659", выпущенной в свое время названным ТОО.

ЗАЧЕМ НУЖНА ЗАМЕНА KP580BM80 НА Z80

По сравнению с i8080 (KP580BM80, KP580BM80A, далее для краткости — KP580BM80) восьмизарядный микропроцессор Z80 имеет расширенную систему команд, большее число регистров, встроенную систему обработки прерываний, может работать при большей тактовой частоте [1]. Он совместим с i8080 на уровне команд и считается аналогичным, но более производительным микропроцессором.

Замена в "Орионе-128" микропроцессора KP580BM80 на Z80 позволяет реализовать ряд новых возможностей:

- расширить систему команд. Кроме всех команд i8080, Z80 имеет ряд дополнительных и расширенных команд, использование которых значительно повышает эффективность работы программ. В среде ОС CP/M имеется большое число мощных программ, работающих только под управлением Z80 или самонастраивающихся на тип процессора (с Z80 они работают быстрее). Программы, написанные специально для "Ориона-128" и ориентированные на работу только с Z80 (с использованием команд отсутствующих у i8080), более рациональны, т.е. занимают меньший объем памяти и работают быстрее. На "Орионе-128" с Z80 процесс адаптации игр от "ZX-Spectrum" значительно проще;

- повысить быстродействие компьютера за счет увеличения тактовой частоты микропроцессора. Дело в том, что микропроцессор Z80 рассчитан на работу с большей, чем i8080, тактовой частотой. Стербиранной Z80-Card быстродействие "Ориона-128" повышается минимум в 1,4 раза. При использовании нетурбированного варианта Z80-Card скорость работы некоторых программ повышается примерно на 15% (Z80 работает немного быстрее, чем KP580BM80),

- использовать прерывания Z80, который имеет более совершенную, чем KP580BM80, систему их обработки (они могут обрабатываться как внешним контроллером, так и без него).

Немаловажно и то, что микропроцессор Z80 питается от однополярного источника и потребляет меньше (по сравнению с KP580BM80) мощность.

Как известно, расположение выводов микропроцессора Z80 и назначение некоторых из них иное, чем у KP580BM80, поэтому для установки Z80 необходима

переходная плата, а также специальные узлы, преобразующие и формирующие некоторые сигналы и обеспечивающие работоспособность Z80 в "Орионе-128". Очень важно, чтобы при установке Z80 изменения на плате компьютера были минимальны, а сама доработка обратной.

Обязательное условие — полная совместимость с "Орионом-128" на KP580BM80. В противном случае часть программ на переделанном компьютере работать не будет и, следовательно, у вас будет и не совсем "Орион-128", и не "ZX-Spectrum", а нечто третье.

Описываемые ниже варианты переделки "Ориона-128" на Z80 обеспечивают 100%-ую совместимость с компьютером, описанным в [2], что обеспечивает нормальную работоспособность на нем всех программ, написанных для базовой модели "Ориона-128".

СУЩЕСТВУЮЩИЕ ВЕРСИИ "Z80-CARD"

Название "Z80 Card" дословно переводится как "Карта Z80" или "Плата Z80". Вообще говоря, под "картой" ("платой") подразумевается законченное устройство, имеющее определенные входные и выходные параметры и выполняющая функции, смысл которых обычно отражен в названии. В нашем случае "карта" выполняет функции микропроцессора Z80 и имеет входные и выходные сигналы, максимально приближенные к сигналам микропроцессора i8080 (KP580BM80).

Существует две разновидности "Z80-Card": вариант V3.1 (V3.10, V3.11) — турбированный с тактовой частотой 2,5 МГц, и вариант V3.2 (V3.20, V3.21) — турбированный с тактовой частотой 5 МГц. В схемотехническом отношении оба варианта практически одинаковы (V3.1 легко модифицируется в "Z80-Card" V3.2 введением одной дополнительной микросхемы). Все сказанное далее о "Z80 Card" V3.1 в равной степени относится и к "Z80-Card" V3.2.

Оба описываемые версии "Z80 Card" обратимы. Каждую из них выполняют на отдельной плате, устанавливаемой в панель (розетку) вместо микропроцессора KP580BM80. Для обеспечения нормальной работы Z80 необходимо на основной плате компьютера выполнить небольшие доработки, которые никак не скажутся на работе "Ориона-128" с микропроцессором KP580BM80. Все соединения на плате доработанного компьютера сохраняют-

ся, и KP580BM80 можно установить обратно, извня из панели плату "Z80-Card".

Обе версии полностью совместимы с базовой моделью компьютера на аппаратном уровне. В "Z80-Card" производится эмуляция выхода INTE, которого не имеет микропроцессор Z80, а в "Орионе-128" этот выход используется для формирования звукового сигнала. Обращение к системным портам производится так же, как это делает микропроцессор KP580BM80, благодаря чему с "Z80-Card" нормально работают все программы, написанные для "Ориона-128" с KP580BM80.

Устройства не содержат дефицитных деталей и благодаря отсутствию аналоговых времязадающих цепей практически не требуют наладки.

"Z80-CARD" V3.1

Принципиальная схема устройства приведена на рис. 1. Как видно, выполнено оно на семи микросхемах (включая и Z80). Для обеспечения одинаковой (с KP580BM80) работы команд обращения к портам используются мультиплексоры DD2 и DD3. При обращении к внешним устройствам Z80 выдает на шину 16 битный адрес, который формируется различными способами (в зависимости от типа команды), а KP580BM80 — только восемь бит (старшая половина адреса совпадает с младшей). Мультиплексоры подменяют старые адреса младшими при появлении на выходе процессора сигнала IORQ, указывающего на обращение к внешним устройствам. Поскольку в Z80 сигналы IORQ и WR появляются почти одновременно, необходимо принять меры, чтобы запись в порты производилась только по сигналу WR (см. далее).

Сигнал синхронизации SYNC, формируемый микропроцессором KP580BM80, используется в "Орионе-128" для осуществления режима "прозрачного" ОЗУ (напомним, что появление этого сигнала указывает на "намерение" микропроцессора произвести в следующем такте операцию чтения или записи байта по шине данных). Микропроцессор Z80 такого сигнала не формирует, поэтому в "Z80-Card" применен специальный формируемый на элементах DD4.1, DD5.1, DD5.2. Сигнал синхронизации снимается с вывода DD5.1. Он становится активным (с выключением MREQ (обращение к памяти) или IORQ (обращение к устройствам ввода-вывода), что происходит примерно в середине такта, и сбрасывается фронтом сигнала Ф2 в начале следующего такта.

Для эмуляции отсутствующего у микропроцессора Z80 сигнала INTE в "Z80-Card" используется формируемый на элементах DD4.2, DD4.3, DD7.4, DD6.1, DD6.2 (этот узел появился только из-за требования полной совместимости с "Орионом-128" в части генерации звуковых колебаний). Работа формируемого включается в "вызываемый" кодов команд E и D в циклах M1 микропроцессора (чтение кода операции) и установке INTE в соответствующее состояние. Команды EI (11111011B) и DI (11110011B) различаются только на один бит DD3, его значение "защелкивается" триггером DD5.2. Остальные детали устройства дешифрируют код команды и осуществляют привязку к спаду сигнала M1.

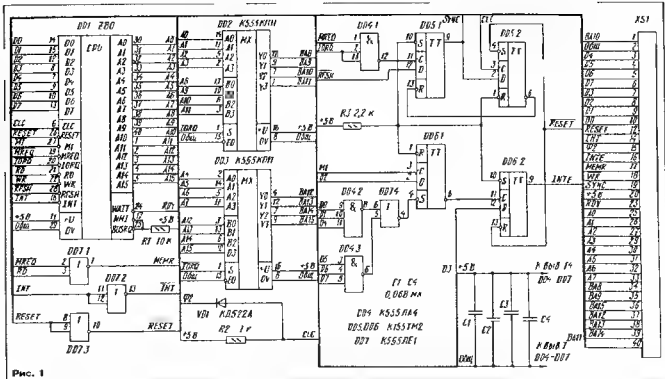


Рис. 1

Элементы DD7 1—DD7 3 выполняют необходимые преобразования сигналов для работы микропроцессора Z80. Элементы VD1, R2 необходимы для приведения уровня сигнала Ф2, поступающего в "Z80-Card" через контакт 15 панели микропроцессора DD19, к уровню TTL.

НЕМНОГО О ТУРБИРОВАНИИ

Говоря о турбировании (увеличении тактовой частоты с целью повышения производительности компьютера), необходимо отметить одну особенность. При работе микропроцессор выполняет в основном внутренние операции и обмен информацией по шине данных с другими устройствами (исключение кодов операций из памяти, чтение или запись данных) занимает не более 20...30% времени. Поэтому чаще всего при турбировании "убстроят" только процессор, а скорость работы всех остальных устройств оставят прежней. При этом в компьютер входит устройство, которое формирует в необходимых случаях тактирование для микропроцессора, приостанавливая его работу и синхронизируя его с другими устройствами. При таком подходе требования к временным характеристикам всех устройств, кроме микропроцессора, не изменяются, что, в принципе, гарантирует нормальную работу компьютера в турборежиме без дополнительной наладки. Иными словами, не придется зачищать микросхемы ОЗУ и буферных элементов на более быстродействующие или подбирать микросхемы портов ввода-вывода. Не придется вносить какие-либо существенные изменения и в схему компьютера.

При описанном ниже способе турбирования быстродействие может повыситься не более чем на 50...80% от коэффи-

циента увеличения тактовой частоты, однако этого вполне достаточно, особенно если принять во внимание простоту реализации способа.

"Z80-CARD" V3.2

Основное отличие этой версии от V3 1 в том, что микропроцессор работает с увеличенной тактовой частотой 5 МГц "Z80-Card" V3.1 легко модифицируется в V3.2 введением микросхем DD8 и резистора R4, как показано на рис. 2 (новые соединения выделены утолщенными линиями, а соединения, которые необходимо удалить, обозначены крестиками).

Колесания с тактовой частотой 5 МГц поступают на микропроцессор Z80 по отдельному проводу с вывода 8 элемента DD11.4 компьютера. На микросхеме DD8 выполнен формирователь сигнала ожидания для микропроцессора. Идея его работы состоит в том, что при появлении высокого уровня на выводе 8 триггера DD5 1, указывающего на "замерзание" микропроцессора обратиться к памяти раньше, чем диспетчер ОЗУ (DD13 2 на плате компьютера) позволит это сделать, микропроцессор будет переведен в состояние ожидания низким уровнем сигнала WAIT. Кроме того, при каждом обращении к ОЗУ микропроцессор "тормозится" на один такт, чтобы растянуть сигнал RD и WR (это необходимо для обеспечения нормального взаимодействия микропроцессора с ОЗУ). Таким образом, микропроцессор может находиться в состоянии ожидания от одного до трех тактов.

Повышение тактовой частоты процессора до 5 МГц — на предел. Если вы уже запустили "Z80-Card" V3 2 и ваш компьютер вполне работоспособен, то есть смысл провести эксперимент, подав на Z80 тактовые импульсы с частотой сле-

дования 10 МГц (их можно снять с вывода 8 элемента DD1.5 на плате компьютера). Для того чтобы "Z80-Card" работал с такой тактовой частотой, на плате "Орион-128" необходимо произвести одно небольшое изменение (которое никак не повлияет на его работу с KP580MB80 и Z80 при тактовой частоте 2,5 и 5 МГц): перерезать печатный проводник, идущий к выводу 4 триггера DD18 2, и соединить этот вывод с выводом 8 DD1.5. Вполне возможно, что эксперимент пройдет успешно и, включив компьютер, вы по достоинству оцените все возможности имеющихся в вашем распоряжении игровых программ.

экземпляр просто не может работать с такой высокой тактовой частотой. При этом компьютер либо вообще не будет подавать признаков работоспособности процессора, либо будет "зависать" через непродолжительное время после нажатия на кнопку "Сброс".

Другая возможная причина неработоспособности компьютера при таком значении тактовой частоты — недостаточное быстроедействие портов ввода-вывода KP580BB55. Неправильность проявляется в отсутствии загрузки ODDOS из ROM-дискета при нажатии на кнопку "Сброс" (иногда загрузка может работать только в течение нескольких секунд после включения питания), неработоспособности части клавиш на клавиатуре. При этом тест-программа обычно показывает исправность портов. Выход из положения — подбор работоспособных при такой тактовой частоте микросхем KP580BB55.

Таблица 1

Микропроцессор	Число микросхем			
	проверенных	работоспособных при тактовой частоте, МГц		
		2,5	5	10
KP1858BH1	5	5	5	3
KP1858BH1	3	3	3	2
134BH1	2	2	2	0
Z80 CPU Zilog	2	2	2	0
Z80A CPU Zilog	2	2	2	1
Z80A CPU SGS	2	2	2	1
Z80A CPU GS	1	1	1	1
Z80B CPU GS	2	2	2	2
Z80 CPU Hostek	1	1	1	0
Z80A CPU NME	2	2	2	0
Z80B CPU NME	1	1	1	1

Еще одна причина — непригодность микросхем ОЗУ (такой диагноз обычно для K565PY5D). Кроме того, компьютер может вообще не работать при тактовой частоте 10 МГц из-за недостаточности быстрогодействия микросхем некоторых узлов компьютера. В подобном случае вряд ли есть смысл продолжать поиск причин неадекватности и пытаться запустить процессор при этой тактовой частоте.

Как известно, существуют несколько модификаций микропроцессора Z80, различающихся предельными значениями тактовой частоты: Z80 (2,5 МГц), Z80A (4 МГц), Z80B (6 МГц), Z80C (8 МГц). Чтобы выявить возможность использования этих микропроцессоров (и некоторых других, имеющихся в распоряжении) при более высоких (чем указано в скобках) тактовых частотах, были проведены соответствующие испытания, результаты которых сведены в табл. 1 (из-за относительно небольшого числа проверенных микросхем делать какие-либо серьезные выводы не следует).

(Окончание следует)

Литература

- Еун М. "Срестьян"-совместимый компьютер. Микропроцессор Z80. — Радио, 1995, № 2, с. 15–19.
- Суняков В. Сафронов В. "Орбис 128" Сообщаем подробности. Тестирование памяти. — Радио, 1991, № 2, с. 44–48.

КАК «ОЖИВИТЬ» КОМПЬЮТЕР

(СОВЕТЫ "ШАМАНА")

А. ФРУНЗЕ, г. Москва

Судя по редакционной почте, статья А. Жарова "Железо" IBM сегодня надо знать каждому" ("Радио", 1995, № 4, 9, 11, 12) вызвала большой интерес читателей. Многие из них просят подробнее описать процесс конфигурирования персонального компьютера, рассказать об особенностях BIOS различных фирм, о тонкостях терминологии и т. д. Этим вопросам и посвящена публикуемая ниже статья вшего постоянного автора А. Фрунзе.

ВВЕДЕНИЕ

Эта статья адресована, в первую очередь, тем, кто только начинает свое знакомство с IBM-совместимыми персональными компьютерами (ПК). В последние годы в нашей стране появилось немало периодических изданий и книг на компьютерную тематику [1, 2], охватывающих все вопросы работы с ПК. Однако литература, посвященная проблемам, с которыми сталкивается пользователь при самостоятельной сборке ПК из готовых узлов, не так уж много. А поскольку насыщенность этой литературой обратно пропорциональна расстоянию от места проживания пользователя до Москвы, то удалке от столицы ее практически нет. Если к этому добавить, что многие лишены возможности ознакомиться с опытом тех, кто набил себе уже достаточно "лишних" при решении подобных задач, то актуальность предлагаемой статьи очевидна. Автор не претендует на то, чтобы охватить все возможные вопросы (во-первых, из-за ограниченного объема журнальной публикации и, во-вторых, ввиду того, что никому не по силам описать необъятное), но надеется, что на многие вопросы читатели смогут найти ответ или информацию из размещенного из представленного материала.

КОНФИГУРИРОВАНИЕ IBM PC/XT

Начнем с небольшого сравнения, которое поможет понять отличительные особенности архитектуры IBM-совместимых ПК. Владельцами радиолобительского компьютера "Радио-86РК" хорошо известны трудности, возникающие при его модернизации. Это и необходимость резать проводники печатной платы, делая требуемые соединения навесным монтажом, и невозможность заменить видеосистему или микропроцессор на более совершенные, и трудности с расширением памяти или увеличением числа портов ввода-вывода, и многое другое. Причина всех этих проблем — функциональная замкнутость компьютера. Создав предельно про-

стую конструкцию, доступную для повторения и приобретения сотнями тысяч радиолобителей, разработчики свели к минимуму возможности ее серьезной модернизации. Все публикации, посвященные "Радио-86РК", подтверждают сказанное.

Разработчики IBM PC создавали свой ПК по принципу открытой системы. Он состоял из системной ("материнской") платы, на которой были установлены микропроцессор с памятью и разъемами расширения. В каждый из них можно было вставить адаптеры видеосистемы, накопителей на магнитных дисках, других периферийных устройств. Разработчики считали, что со временем удастся создать более совершенные адаптеры и разработать новые ПК будут делом простым и дешевым: вставляешь в системную плату новые адаптеры и получаешь новый ПК.

Жизнь подтвердила правильность этого выбора. Десятки различных фирм начали разрабатывать новые узлы и подсистемы для IBM PC, что привело к его значительному усовершенствованию. Конкуренция между производителями оборудования постоянно заставляла конструкторов искать новые решения: так появились IBM PC/AT286, им на смену пришли ПК с процессорами 80386, 80486 и т. д. При этом стоимость последних снизилась на порядок ниже, чем IBM PC в год его выпуска, а производительность и функциональные возможности — на два порядка выше. Около 90% от всех произведенных в мире ПК составляют потомки IBM PC, и эта доля вряд ли будет уменьшаться в обозримом будущем, хотя то и или не поклонники других компьютеров. И основная причина невероятной популярности IBM-совместимых компьютеров — гибкость их архитектуры, способность работать с самыми разнообразными аппаратными и программными средствами.

Однако эта гибкость обернулась тем, что при создании ПК было невозможно предопределить, в какой конфигурации ему предстоит работать. А поскольку без этой информации он не может правильно функционировать, необходимо было найти возможность "сообщить" ему об объеме установленной памяти, типе и разрешающей

способности видеосистемы, наличии и числе дисководов, наличии или отсутствии математического сопроцессора и т. д. С этой целью в системную плату были введены переключатели. Наладчик устанавливал их в положение, соответствующее аппаратным средствам конкретного ПК, после чего любая прикладная программа, прочитав их состояние, получала всю не-

волической стоимости — менее 10 долл. на Митинском и Царицынском радиорынках Москвы, — все еще привлекал к себе радиолюбителей. Поэтому в табл. 1 мы приводим установку переключателей для этого ПК (положение "ON" — замкнуто, "OFF" — разомкнуто).

Правда, и здесь встречаются отклонения от стандарта. На одной из системных плат IBM PC/XT, имевшихся в распоряжении автора, переключатель SW1-1 в положении "ON" запрещал контроль четности, в положении "OFF" — разрешал, а комбинация положений переключателей SW1-3, SW1-4 определяли установленный объем ОЗУ 1 Мбайт, 640 и 512 Кбайт вместо приведенных в табл. 1 значений 256, 192 и 128 Кбайт соответственно.

IBM PC/AT И CMOS-ПАМЯТЬ

1984 г. ознаменовался выпуском ПК нового поколения — IBM PC/AT. В нем были применены гораздо более производительный, чем в предыдущих моделях, микропроцессор i80286, более емкие Winchester и накопитель на гибких магнитных дисках (НГМД). Кроме того, в этом ПК была использована микросхема MC146818 фирмы Motorola, содержащая часы реального времени и малоэнергопотребляющую CMOS(КМОП)-память. Помимо микросхем, на плате устанавливались литиевая батарея, которая поддерживала ее функционирование при выключенном питании ПК. Благодаря такому техническому решению, появилась возможность сохранять информацию об аппаратных особенностях ПК не с помощью переключателей, а в CMOS-памяти (так сегодня принято называть микросхему MC146818). Конфигурирование ПК теперь сводилось не к установке переключателей, а к программированию MC146818. Для этого было разработано много различных программ, весьма популярных во второй половине 80-х годов. Сегодня необходимость в них практически исчезла, так как ПК, не имеющие встроенных средств программирования CMOS памяти, стали большой редкостью.

Обычно средства установки CMOS-памяти включает в себя базовая система ввода-вывода (BIOS) ПК. Напомним, что BIOS — это набор программ, находящихся в ПЗУ на системной плате. В него входят упомянутая программа установки CMOS-памяти, программа самотестирования ПК при включении (POST), программа поиска и инициализации BIOS дополнительных установленных адаптеров, программ загрузки операционной системы (OS). Кроме того, в BIOS входят подпрограммы, осуществляющие взаимодействие между программами ОС (в основном не зависящими от аппаратной конфигурации) и аппаратными средствами, сильно различающимися от компьютера к компьютеру.

Разработчики фирмы IBM защитили свой BIOS патентами, что было сделано, вероятно, для затруднения повторения IBM-совместимых ПК другими фирмами. Однако при этом тут же возникли фирмы,

разработавшие свои собственные программы, совместимые по функциям и точкам входа с BIOS IBM. Сегодня из этих фирм процветают только две: Award и American Megatrends Inc. (AMI). Они разрабатывают BIOS практически для всех системных плат IBM-совместимых ПК, производимых всеми фирмами, кроме самой IBM. Поскольку последние сегодня выпускают ПК, на совместимых с IBM PC/XT, IBM PC/AT, го редко у кого можно найти BIOS, отличающийся от упомянутых выше. Поэтому далее мы будем говорить о программах самотестирования и настройки BIOS только фирм Award и AMI.

ПРОБЛЕМЫ, ВОЗНИКАЮЩИЕ ПРИ СТАРТЕ ПК

Обычная процедура старта ПК выглядит следующим образом. После включения питания на экране монитора вначале появляется сообщение BIOS установочного видеoadаптера с названием фирмы-производителя и основными характеристиками (в некоторых случаях вы можете увидеть просто мерцающий курсор). Затем появляется аналогичное сообщение, выданное BIOS системной платы. После этого ПК некоторое время не выдает никаких сообщений — это время проходит его самотестирование с использованием POST. Через несколько секунд в левом верхнем углу экрана появляются и начинают сменять друг друга номера тестируемых ячеек памяти: при этом из дина-

таблица 1

Переключатель	Положение	Что означает
SW1-1	OFF (всегда)	—
SW1-2	OFF ON	Сопроцессор 8087 установлен Сопроцессор 8087 не установлен
SW1-3 SW1-4	OFF OFF ON OFF OFF ON	ОЗУ 256 Кбайт ОЗУ 192 Кбайт ОЗУ 128 Кбайт
SW1-5 SW1-6	ON ON OFF ON ON OFF OFF OFF	Монитор CGA или иного Монитор CGA 40*25 Монитор CGA 80*25 Монитор HGA или MDA+CGA
SW1-7 SW1-8	ON ON OFF ON ON OFF OFF OFF	Один НГМД Два НГМД Три НГМД Четыре НГМД

обходимую ей информацию. Естественно, что неправильно установленные переключатели дают системе ошибочную информацию, а это в ряде случаев может привести к невозможности ее функционирования.

Ввиду того, что системные платы IBM PC уже стали чуть ли не музейной редкостью, мы не будем останавливаться на их конфигурировании. Тем же, кто нуждается в этой информации, рекомендуем обратиться к литературе [3].

Вслед за IBM PC последовал IBM PC/XT — первый ПК, снабженный накопителем на жестком магнитном диске (винчестером) с гигантским по тем временам информационным объемом 10 Мбайт. Конфигурирование этого ПК также осуществлялось с помощью переключателей, но их установка была иной. Системные платы IBM PC/XT все еще работают в сотнях компьютеров на территории бывшего СССР и, благодаря своей почти сим-

таблица 2

Звуковые сигналы	Неисправное устройство
Непрерывный	Источник питания
Короткие повторяющиеся	Видеосистема
Один длинный и два коротких	Видеосистема, дисковод, кабель
Один длинный и три коротких	Видеосистема, дисковод, кабель
Два коротких	Видеосистема, дисковод, кабель
Один короткий	Видеосистема, дисковод, кабель
Нет сигнала	Источник питания, системная плата, головка громкоговорителя

мической головки громкоговорителя, как правило, слышны характерные щелчки. Затем программа POST проверяет наличие дисководов, о чем свидетельствует кратковременное свечение светодиодов на их передних панелях. После этого раздается короткий звуковой сигнал, свидетельствующий об успешном завершении работы POST, и происходит обращение к винчестеру — начинается загрузка ОС.

В случае неполадок или несоответствия найденных аппаратных средств уста-

новкам в CMOS-памяти программа POST сообщит о возникших проблемах. Обычно это комбинация звуковых сигналов и вывод кода ошибки на экран монитора. Очевидно, что если неисправна видеосистема, то звуковые сигналы являются единственным источником информации, поэтому крайне желательно, чтобы при запуске ПК динамическая головка уже была подключена к системной плате. В табл. 2 приведены звуковые коды ошибок, выдаваемые большинством программ POST. Отметим, что здесь нет жесткого стандарта, поэтому вы можете столкнуться и с

ниже [3] их — более трех сотен, поэтому его можно рекомендовать тем, кто столкнется с необходимостью найти более подробную информацию по этой теме. Но прежде чем начинать разглагольствовать «нежелания» ПК нормально загрузиться, полезно проделать следующее:

— выключите ПК и снова включите его не менее чем через 15 с (по тем или иным причинам блок питания может сформировать сигнал "POWER GOOD" — питание в норме до того, как питание действительно станет нормальным); попробуйте нажать "RESET" ("Сброс") — при отсутствии упомянутого сигнала это единственный способ заставить ПК заработать,

— убедитесь, что системная плата не слишком зажата винтами и не деформирована: она должна свободно лежать на своих посадочных местах (допустим люфт в пределах 1 мм). При деформации платы возможно появление микротрещин в печатных проводниках — на многих платах их ширина не превышает 0,1 мм;

— если при запуске ПК системная плата не установлена в посадочные места корпуса, убедитесь, что ее нижняя сторона не касается токопроводящих поверхностей,

— проверьте правильность положений переключателей и установок в CMOS-памяти;

— проверьте монитор. Отсутствие изображения может быть связано с тем, что он обесточен или один из его регуляторов выведен в крайнее положение. Иногда забывают состыковать его с видеоадаптером — неподключенный кабель может быть перед глазами, но в спешке и волнении вы долго и не сможете сообразить, что его надо вставить в разъем,

— следите за подключением микропроцессора (если он вставлен в розетку), микросхемы памяти, адаптеры — помимо, все, что подключено к плате с помощью разъемных соединителей, а не пайкой. Отсутствие контакта наиболее распространенная неисправность;

— убедитесь, что закрывая корпус или соединяя какой-нибудь из разъемов, вы случайно не выдернули (иногда даже частично) какой либо другой. Проверьте правильность стыковки разъемов — первый вывод плоского соединительного кабеля обычно маркирован краской,

— убедитесь, что при соединении кабелей дисководов с разъемами контроллера вы не "промахнулись" на одну позицию, и что сигнальный кабель винчестера правильно ориентирован,

— убедитесь, что правильно подано питание на дисководы, монитор, системную плату. Разъемы P8 и P9, через которые поступает питание на системную плату, должны быть установлены таким образом, чтобы черные провода обоих разъемов оказались в середине, а не по краям;

— убедитесь, наконец, в том, что компьютер включен в сеть, что розетка не обесточена, что напряжение в сети около 220 В и в блоке питания переключатель "127/220" стоит в положении "220". Проверьте исправность предохранителя. Убедитесь в том, что вентиляторы блока питания и микропроцессора (если послед-

ний снабжен вентилятором) работают — это признак того, что напряжения на выходе блока питания в норме

Самодельный блок питания тоже может создать проблемы с запуском ПК. Автор однажды попытался приспособить для питания IBM-совместимого ПК блок питания от ПЭВМ "Искра-1030", добавив в него формовочный нагретый 5 В и сигнала "POWER GOOD", но ничего путного из этого не вышло. Иногда ПК запусклся при старте, но чаще — нет. Поэтому в первый раз включите ПК лучше с блоком питания, о котором достоверно известно, что он нормально работал в составе какого-либо ПК.

Все приведенные выше советы очевидны, и, кажется, что излишне кому-то напоминать об этом. Однако опыт показывает, что по тем или иным причинам мы вновь и вновь совершаем эти ошибки, даже если упомянутые действия проделывали не в первый раз, и ощущение, связанное с боязнью вывести по незнанию что-то из строя, уже полади. Автор признается, что он совершал все названные ошибки (за исключением неправильной установки разъемов P8, P9) и некоторые — не по одному разу. Так что прежде чем включить собранный ПК, удостоверьтесь в том, что вы не совершили ни одной из описанных ошибок — в этом случае ваши шансы на успешный запуск ПК существенно возрастут.

КОНФИГУРИРОВАНИЕ CMOS-ПАМЯТИ

Перейдем теперь к конфигурированию CMOS-памяти ПК IBM PC/AT286-486. Как уже говорилось, подавляющее большинство этих ПК имеют BIOS фирм Award и AMI. Поэтому рассмотрим, какие возможности предоставляют нам BIOS именно этих фирм.

Начнем с ПК, имеющих микропроцессор, совместимый с 80286. Возможности по настройке их схем управления памятью из CMOS-памяти отсутствуют, по крайней мере, во всех IBM PC/AT286, которые встречались автору. Поэтому в CMOS-памяти этих ПК хранятся данные об объеме имеющейся памяти, типе используемых дисководов, параметрах винчестера (или винчестеров, если их два), типе использованной видеосистемы, текущей дате, времени и реакции компьютера на критические ошибки. Эти данные мы можем увидеть и изменить, если вызовем в процессе загрузки программу SETUP.

IBM PC/AT286 С BIOS ФИРМЫ AWARD

При старте ПК IBM PC/AT286 с BIOS фирмы Award на экране монитора обычно наблюдается картина, подобная изображенной на рис. 1. Вначале появляются первые три строки с сообщениями о версии BIOS, фирме производителе, авторских правах и названии производителя микросхем управления памятью. Одновременно с ними появляется нижняя

Таблица 3

Код	Неисправное устройство (тест POST не прошел)
2X	Источник питания
1X	Системная плата
2X	Память (с указанием конкретной ячейки)
3X	Клавиатура (с указанием конкретной клавиши)
4X	Монохромный адаптер или монитор
5X	Цветной адаптер или монитор
6X	ИГМ или контроллер
7X	Интегрированный сопроцессор
8X	Адаптер принтера
9X	Адаптер вторичного принтера
11X	Адаптер последовательного интерфейса RS-232
12X	Адаптер вторичного последовательного интерфейса
13X	Игровой порт
14X	Графический принтер IBM
15X	Коммуникационный порт SLC
17X	Контроллер винчестера или винчестер

другими комбинациями звуковых сигналов, но это бывает редко.

Если программа POST находит ошибки при старте ПК и его видеосистема исправна, то коды ошибок отображаются на экране монитора. Эти коды дают возможность локализовать неисправность. В табл. 3 приведены коды ошибок, встречающиеся наиболее часто. Например, код 201 свидетельствует об отказе оперативной памяти (самая распространенная неисправность при сборке ПК). Иногда перед числом 201 может стоять еще одно число, дающее представление о том, в какой на микросхеме памяти произошел сбой, но это не является стандартом и без описания системной платы "вычислить" неисправную микросхему или модуль сложно.

Если один из распространенных кодов ошибок — 1701. Он свидетельствует о неисправности в винчестере, контроллере или соединительном кабеле. При появлении этого кода, в первую очередь, следует проверить исправность кабелей, правильность их подключения. Проверьте, кстати, подключен ли винчестер и подано ли на него питание — автор не раз совершал эту ошибку, после чего безуспешно пытался тестировать винчестер утилитой ldefno!... Чего только не наделаешь в спешке!

Ограниченный объем статьи не позволяет перечислить все известные автору коды ошибок POST. Например, в справоч-

286 Modular BIOS Version 3.10d
Copyright(c)1984 90 Award Software Inc.
SUNTAC

```

TESTING INTERRUPT CONTROLLER #1.....PASS
TESTING INTERRUPT CONTROLLER #2.....PASS
TESTING CMOS BATTERY.....PASS
TESTING CMOS CHECK SUM.....PASS
SIZING SYSTEM MEMORY.....640K FOUND
TESTING SYSTEM MEMORY.....640K PASS
CHECKING UNEXPECTED INTERRUPTS AND STUCK NM.....PASS
TESTING PROTECTED MODE.....PASS
SIZING EXTENDED MEMORY.....00384K FOUND
TESTING MEMORY IN PROTECTED MODE.....01024K PASS
TESTING PROCESSOR EXCEPTION INTERRUPTS.....PASS
    
```

< PRESS CTRL - ALT - ESC FOR SETUP >

Рис. 1

строка, приглашающая вызвать программу SETUP одновременным нажатием на клавиши <Ctrl>, <Alt> и <Esc>

Далее начинается тестирование узлов и подсистем ПК: проверяются первый и второй контроллеры прерываний, источник питания CMOS-памяти, контрольная сумма (это необходимо для того, чтобы убедиться, что в CMOS-памяти не произошло изменений в связи с разрядкой батареи питания), соответствие объема памяти, указанного в CMOS, найденному в системе, прохождение сигнала немаскируемого прерывания, работа процессора в защищенном режиме и найденный в этом режиме объем памяти. Строки появляются по мере прохождения тестов, при этом слово "PASS" означает, что соответствующий тест прошел успешно, а "FAILED" или "FAIL" говорят об обратном.

Одновременно с этим система может издавать звуковые сигналы. BIOS фирмы Award обычно использует небольшой набор звуковых сигналов. Так, один длинный и два коротких сигнала означают ошибку в видеопамяти, два коротких сиг-

нала сообщают о том, что обнаружена какая-то иная ошибка, и нажатием на клавишу <F1> вы можете вызвать программу SETUP. Таким образом, BIOS фирмы Award отличается тем, что выдает довольно много информации о прохождении теста ПК на экран монитора и в то же время не балует большим разнообразием звуковых сигналов о неисправностях. Успешное завершение тестирования сопровождается одним коротким звуковым сигналом, после чего информация с экрана стирается и начинается загрузка ОС. Но об этом позже, а сейчас поговорим о том, что можно сделать, вызвав программу SETUP.

Одновременное нажатие на клавиши <Ctrl>, <Alt> и <Esc> (в вашем ПК может быть и другая комбинация клавиш или, например, одна клавиша) следите за сообщениями, выдаваемыми BIOS) вызовет появление на экране монитора информации, подобной показанной на рис. 2.

Теперь вы можете изменить установки в CMOS-памяти ПК. Однако прежде чем это либо изменять, рекомендуем заглянуть

в установки, которые уже сделаны (во всяком случае, если ваш ПК функционирует). Батареи питания CMOS-памяти хватает на два-три года работы, и по прошествии этого срока ПК может начать "забывать" при старте свой набор аппаратных средств. При этом придется входить в SETUP и "напоминать" ему необходимую информацию, и пока вы не проделаете это пять—десять раз, указанная запись окажется вам неосуществимой помощью. Полезна она и для того, чтобы после экспериментов на работающей машине вы могли восстановить исходное содержимое CMOS-памяти, а не нервничали из-за отката ранее работоспособного ПК на начальные установки.

Нажатие на клавиши перемещения курсора вверх и вниз вызывает перемещение курсора SETUP с одного изменяемого параметра на другой, а на клавиши его горизонтального перемещения изменение этих параметров в пределах, предусмотренных BIOS. Вы, например, можете установить дисковый A. ("DISKETTE1") 1.2М, 1.44М, 360К или 720К (М — Мбайт, К — Кбайт), а в качестве видеосистемы CGA, MONO, EGA/VGA (этот параметр большинство BIOS правильно определяет и самостоятельно устанавливают, так что менять его без нужды не стоит). Параметр "ERROR HALT" определяет реакцию ПК на возникновение критических ошибок в ходе выполнения программы. Его лучше оставить без изменений ("HALT ON ALL ERRORS"), в противном случае вместо сбоя в программе вы получите неварные результаты. Запись "SPEED SELECT HIGH" означает, что если ваш ПК может работать с двумя скоростями (иных IBM-совместимых ПК автор не встречал), то при старте он будет работать на высокой скорости.


Параметры "DATE" (дата) и "TIME" (время) пояснений не требуют, "BASE MEMORY" и "EXTENDED MEMORY" — основная и расширенная память — у большинства IBM PC/AT286 имеют объем соответственно 640 и 384 Кбайт, но в некоторых редких случаях расширенной памяти может не быть (она либо отсутствует вообще, либо недоступна из-за неудачной системы управления памятью на системной плате). Обычно BIOS самостоятельно определяет тот объем памяти, который вы установили на системной плате, и устанавливает найденные значения в этих строках. Если вы сделали изменения в CMOS-памяти и хотите их сохранить, нажмите на клавишу <F10>, а чтобы выйти из SETUP, на <F1>. Нажатие на <F2> изменяет цвета на экране при работе в SETUP, однако их изменение не сказывается на работе аппаратных средств, поэтому здесь можно экспериментировать сколько угодно.

(Продолжение следует)

ЛИТЕРАТУРА

- 1 Жаров А. "Железо" IBM. Изд. 2-е, переработанное и дополненное. — М. Микроарт, 1995
- 2 UPGRADE. Новый уровень ваших компьютеров. Выпуск 3. — М. АО Питит, 1995
- 3 Стефанков Д.В. Справочник программиста и пользователя. — Л. Кваарт, 1993.

AWARD SOFTWARE CMOS SETUP

DATE (MM/DD/YY)	10/16/95	TIME (HH MM SS)	11:29 42
DISKETTE1			
DISKETTE2	NONE		
		CYLs	HEADS SECTORS PRECOMP LANDZONE
DISK1 40Mb	43	809	6 17 NONE 852
DISK2 ****Mb	NONE		
VIDEO	MONO		
BASE MEMORY	640		
EXTENDED MEMORY	384		
ERROR HALT	HALT ON ALL ERRORS		
SPEED SELECT	HIGH		

↑ ↓ MOVES BETWEEN ITEMS, ← → SELECTS VALUES
F10 RECORDS CHANGES, F1 EXITS, F2 FOR COLOR TOGGLE

Рис. 2

«Я ХОЧУ, ЧТОБЫ КАРТИНКА ОЖИЛА...»

А. ЖАРОВ, г. Москва

Публикуемая ниже статья — это краткий рассказ о существующих сегодня и разрабатываемых на перспективу методах получения объемных изображений, а также о выпускаемых в настоящее время технических средствах, реализующих эти методы.

Мультимедиа, мультимедиа... Да, превосходный звук, «живое» изображение. Но сегодня этого уже мало. Хочется «абсолютной» реальности, по-настоящему объемного изображения. Повседневности игры «Doom» не хватает живого объема! Предпринимаются попытки использовать для этих целей «трехмерные» очки фирмы Valiant Vision, которые обычно применяются для рассматривания соответствующим образом изданных комиксов. Их действие основано на известном эффекте, состоящем в том, что объекты красного цвета выступают на передний план, в то время как синие остаются сзади. Правда, остальные цвета при этом не сколько искажаются.

Объемное черно-белое изображение можно наблюдать через зелено-красные очки (для каждого глаза свой цвет), если при этом на экран будет одновременно выводиться стереопара изображений — красное и зеленое. Но потеря цвета ради объема — не лучший вариант.

Целесообразнее изображение хорошего качества дает метод, основанный на использовании свойств поляризованного света. Очки в этом случае должны обладать способностью пропускать изображение только для того глаза, для которого оно предназначено. Но это более дорогой путь.

На Западе сейчас бурно развивается направление, называемое «виртуальной реальностью» («virtual reality»), которое предусматривает использование средств, позволяющих создавать объемные изображения и звук. Идея метода чрезвычайно проста. Известно, что человеческий глаз перестает замечать смену кадров изображения, если их менять с частотой 25–30 Гц. В то же время в компьютерном мониторе для устранения эффекта мерцания кадры меняются с частотой 70 Гц. Мерцание кадров утомляет глаза при длительной работе с текстами, в играх же оно менее заметно. Для получения объемного изображения достаточно на экране монитора попеременно показывать две картинки (одну для левого, другую для правого глаза), а для синхронного закрытия обзора то левому, то правому глазу использовать специальные очки на жидких кристаллах (ЖК). Частота смены кадров для каждого глаза составит 35 Гц, что более чем достаточно. Создаваемое таким изображением ощущение пространства и объема почти абсолютное, все цвета сохраняются.

Очки с ЖК затворами были разработа-

ны специально для этих целей. Их подключение к последовательному или параллельному порту компьютера. На такие очки уже появились стандарты, стоимость их незначительна. Программа, способная создавать объемное изображение, формирует разные рисунки на двух видеостраницах и затем переключает их (одновременно с затворами ЖК очков) во время каждого обратного хода луча. Такое простое решение задачи идеально подходит именно для компьютера, частота монитора 70 Гц (70 кадров в секунду), а не 50 Гц (25 кадров в секунду), как в телевизоре; близость экрана монитора к зрителю усиливает ощущение объемности изображения, выход для подключения очков реализуется довольно несложно программными средствами. Уже появились первые подобные программы и можно ожидать, что скоро их ассортимент расширится.

Недостаток рассмотренной системы в том, что она, показывая, например, перспективный вид сцены, не позволяет зрителю ощутить себя внутри этого пространства.

Коротко остановимся на других возможных вариантах получения объемного изображения. Так, существуют очки с ортогонально поляризованными стеклами, при этом поляризующий фильтр перед экраном дисплея меняет свое поляризация при каждом следующем кадре. Достоинство этого варианта в том, что очки и компьютер никак не связаны между собой.

Альтернативой (и весьма недорогой) способом мультимплексирования изображений является пространственное. Суть этого метода сводится к тому, что два изображения выдают на разные половины экрана и с помощью специальной оптики каждое из них проецируется на соответствующий глаз зрителя. Примером такой оптической является «CyberScope» фирмы Simgalabim Systems, прикрываемое к экрану дисплея. Изображение выдают на верхнюю и нижнюю части экрана. Устройство считывает их, поворачивает на 90 градусов и проецирует каждое через отдельную линзу.

Августероскопические системы отображения не требуют использования специальных очков, так как сам дисплей создает трехмерное по своей природе изображение.

Существует ряд экспериментальных систем, создающих трехмерное изображение в пространстве с помощью лазерных лучей и вращающихся зеркал. Менее экзотичен способ, заключающийся в том,

ДОРОГИЕ ЧИТАТЕЛИ!

Результаты регулярно проводимых редакцией ваучных читательских конференций, редакционная почта, встречи с вами свидетельствуют: материалы раздела «Микропроцессорная техника» интересуют почти 90% читателей. Это неудивительно. Микропроцессорная техника сегодня используется во всех сферах человеческой деятельности, без нее немалым прогресс ни в одной отрасли науки, техники, образования, культуры и т. д.

Раздел «Микропроцессорная техника» существует в журнале около 15 лет. Началось все с публикации в 1982–1983 гг. цикла статей Г. Зеленов, В. Панова и С. Попова «Радиобитовый» о микропроцессорах и микро-ЭВМ, в котором был подробно описан довольно сложный по тем временам любительский компьютер «Микро-80». 1986 год стал годом «Радио-86РК» — радиолобительского компьютера, который повторили или собрали впоследствии из выпущенных промышленностью наборов-конструкторов десятки тысяч радиолобителей. Этот компьютер под другими названиями изготавливался также на нескольких заводах тогда еще СССР. Через три года, в 1990 г., внимание читателей редакции предлжила более совершенный любительский компьютер «Орион-128». Он также повторен тысячами радиолобителей.

Естественно, в последующие годы журнал публиковал материалы, поддерживавшие, в первую очередь, именно эти компьютеры. Однако в редакционной почте стало много все больше писем, в которых читатели высказывали пожелания видеть в журнале статьи и по другим простым компьютерам, в частности по «Spectrum»-совместимым, а также материалы в помощь самостоятельному собирающим IBM-совместимые персональные компьютеры, проили рассказать об однокристалльных микро-ЭВМ и т. д. В меру возможностей, учитывая ограниченность журнальной площади (отнести микропроцессорной технике более шести-семи страниц, в номере невозможно без ущерба остальным разделам журнала), редакция старалась и старается выполнять пожелания большинства своих читателей. Но согласитесь, ереть от времени планы публикации необходимо корректировать.

Именно с этой целью мы проводим очередное анкетирование читателей. Обращаемся ко всем, кто читает в журнале раздел «Микропроцессорная техника»: не считайте за труд, заполните напечатанную на обороте анкету и пришлите ее в редакцию. Нам очень хотелось бы, чтобы в анкетировании приняли участие возможно больше читателей, ведь от того, кто ответит больше вопросов участников, будет зависеть тематика публикаций.

Анкеты с пометкой на конверте «Анкета МПТ» просим прислать в редакцию до 1 июня с г.

Благодарим за участие в анкетировании.

Редакция

АНКЕТА ЧИТАТЕЛЯ РАЗДЕЛА "МИКРОПРОЦЕССОРНАЯ ТЕХНИКА"

1. Какой у Вас компьютер?

2. Какой компьютер был первым (вторым)?

3. Какие публикации раздела Вы считаете лучшими за последние два года?

4. О чем хотели бы прочитать в разделе в ближайшее время?

5. Какие темы по IBM-совместимым компьютерам следовало бы осветить в журнале?

6. Как Вы относитесь к тому, если в целях экономии журнальной площади статьи, содержащие программные продукты объемом более одной журнальной страницы, будут публиковаться в виде реферата без распечатки программ, а полностью (вместе с программами, разумеется, за отдельную плату) будут высылаться всем желающим на диске?

7. Какие издания по компьютерной технике, кроме журнала "Радио", Вы читаете?

8. Сведения о себе (возраст, профессия, род занятий в настоящее время)

что на экран дисплея накладывается решетка, сконструированная таким образом, что один глаз видит только четные, а другой — нечетные строки развертки. При этом, конечно, изображение для выдачи на экран нужно соответствующим образом готовить, используя либо специальную программу, либо аппаратные средства дисплея.

Фирме Teklogik выпускает устройство "NuColor" на ЖК затворах, которые последовательно переключают цвета с красного на зеленый, с зеленого на синий и т. д. Если его поместить перед монохромной электронно-лучевой трубкой и заставить работать на ультразвуковой частоте, выдавая красную, зеленую и синюю компоненты изображения поочередно (и с соответствующим сдвигом), получится полноценное объемное изображение. При этом достигается высокое разрешение и хорошее качество цвета. Головной дисплей, построенный на этом принципе, выпускает фирма g-Vision.

Дисплей "Private Eye" компании Reflection Technology обеспечивает средний уровень разрешения (720х288 точек), используя ЖК матрицу, содержащую изображение, отражаемое от колеблющегося зеркала. Он настолько легок, что его удалось встроить в солнцезащитные очки. Недостаток этого дисплея в том, что он монохромный (красный) и создает узкое (всего 25 градусов) поле зрения. Цветная модель разрабатывается.

Для имитации трехмерного пространства можно заставить экран следовать за зрителем (не отказываясь, впрочем, от датчика положения головы), т. е. создать шлем-дисплей (head Mounted Display или сокращенно — HMD) показывающий зрителю то, что находится перед ним в виртуальном пространстве. Это называют "погружающей" (immersive) или "охватывающей" (inclusive) виртуальной реальностью (ВР).

В шлемах-дисплеях часто используют миниатюрные телевизионные приемники с ЖК экранами. Их достоинства — невысокая цена, компактность и маленькая масса, недостатки — низкая контрастность, медленная смена кадров и низкое разрешение. Типичный представитель этого рода устройств — шлем-дисплей "Virtual Research Flight Helmet" имеет ЖК экраны с разрешением 208х139 точек. Самым высоким разрешением — 416х277 точек — обладает устройство "VPI HPR Eye Phones".

Головной дисплей состоит не только из экранов. Поскольку их приходится укреплять очень близко к глазам зрителя, нужна еще дополнительная оптика, для того чтобы отодвинуть фокус на некоторое расстояние. Изображение, спроецированное таким способом, дает очень узкий обзор, создавая у зрителя эффект "туннельного зрения", что плохо как для ориентации, так и для стереоскопического восприятия. Для создания эффекта "погружения" минимально доступным считается поле зрения около 60 градусов (нормальное поле зрения у человека несколько меньше 180 градусов).

Для расширения поля зрения (обычно примерно до 100 градусов), используют специальную оптику. Однако в результа-

те угловое разрешение, и без того чересчур низкое, становится еще хуже. А поскольку экран находится бы низко к глазам, то зритель видит отдельно же красные, зеленые и синие точки.

Чтобы повысить угловое разрешение, можно использовать миниатюрные телевизионные мониторы. Однако даже самые маленькие микроскопы имеют довольно большую массу и требуют для работы высоких рабочих напряжений, что делает их малоприменимыми для ношения на голове. Кроме того, электронно-лучевые трубки излучают сильные электромагнитные поля, поэтому нежелательно иметь такое устройство в непосредственной близости от головы. Подобные устройства вряд ли найдут в ближайшее время широкое распространение при их огромной цене, качестве создаваемой ими картин, весьма далекой от идеала. Так, например, шлем IBM на ЖК, под управлением к обычному IBM совместимому компьютеру, стоит 1200—1600 долл.

Весьма перспективной разработкой считают лазерный сканер, проецирующий изображение прямо на сетчатку глаза (фирма HPL). Предполагают, что при этом удастся создавать изображения с полным пространственным разрешением, доступным человеческому глазу, и, возможно, учитывать параметры accommodation для лучшего восприятия глубины. Прототип такого устройства уже существует, однако до серийного производства еще далеко.

Радиоблестящий, решивший самостоятельно собрать и отладить IBM-совместимый компьютер, адресованная книга А. Жарова "Железо" IBM". Ее можно приобрести в редакции журнала "Радио" (справки по тел. 207-77-28), фирме "МикроАРТ" (189-28-01, 341-84-54, 180-85-98), книжных магазинах г. Москвы, а также заказать по почте (для этого надо прислать запрос по адресу: 123022, Москва, а/б. ящ. 76).

**ФИРМА
"К О Н Т У Р"**

предлагает:

- ✓ микросхемы
- ✓ транзисторы, диоды, стабилитроны
- ✓ конденсаторы
- ✓ резисторы (0,125...2 В)
- ✓ ЛАТРы (2 А)
- ✓ разъемы РП10, РШАВГ-20, ОНП-К2
- ✓ измерительные головки М 42300 (10 А), М 42304 (100 мА) и др.

Форма оплаты любая

Телефон/факс (095) 379-83-67

УПРАВЛЕНИЕ МОДЕЛЯМИ ПО РАДИО

А. МОХОВ, г. Москва

Итак, повторив конструкции, описанные в "Радио", № 9, 10, 11 за 1995 г. и № 1 за 1996 г., вы освоили два варианта аппаратуры телеуправления моделями дискретного действия — однокомандной и четырехкомандной. Значительно большими возможностями обладает аппаратура дискретно-пропорционального действия. Она способна передавать как дискретные команды ("Включено—Выключено"), так и команды с плавным (пропорциональным) управлением, например, поворотом передних колес на любой заданный угол. Соответственно и конструкция самой модели, на которой предполагается устанавливать приемную аппаратуру, должна быть иной.

ВЫБОР МОДЕЛИ ДИСКРЕТНО-ПРОПОРЦИОНАЛЬНОГО УПРАВЛЕНИЯ

Скажем сразу, электромеханическая модель или игрушка на гусеничном ходу, в частности оловянный вами "Вездеход", для этой цели непригодна. Нужна модель (или игрушка), у которой для маневрирования используются различные поворотные устройства. Например, передний мост модели автомобиля, обеспечивающий ей поворот колес влево и вправо, или специальное, свободно вращающееся устройство в передней части игрушки, позволяющее ей при столкновении с препятствием отъезжать в сторону или назад. Такое поворотное устройство используется на "Планетоходе", на импортной игрушке "Полицейская машина". Для таких и подобных им моделей дискретный канал обеспечит включение ходового двигателя и выполнение команд "Вперед—Назад", а пропорциональный — плавное управление поворотом влево и вправо на необходимый угол.

Лучше всего подходит игрушка или модель с одним общим тяговым электродвигателем на задние колеса и передним мостом, поворачивающим его колеса в обе стороны на угол до 30... 40°. Корпус модели должен быть достаточно вместительным, поскольку в нем, кроме плат электронной части приемного устройства, должна разместиться еще рулевая машинка — специальное устройство для плавного (пропорционального) управления поворотным узлом модели.

КАНАЛ СИГНАЛОВ ПРОПОРЦИОНАЛЬНОГО УПРАВЛЕНИЯ

В чем суть пропорционального управления? Напомним, управление "Вездеходом" осуществляется дискретно — нажатием на соответствующие кнопки (или переключением ручек тумблеров) передатчика вы формировали строго фиксированные командные импульсы и паузы

между ними. Никаких промежуточных их значений быть не могло. Канал же пропорционального управления позволяет формировать любые значения длительности импульсов и пауз в пределах 2... 6 мс при средней длительности сигнала 4 мс.

В нашей аппаратуре телеуправления пропорциональным станет канал, управляемый паузой, а второй ее канал, управ-

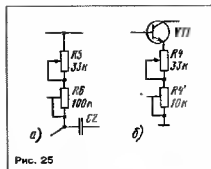


Рис. 25

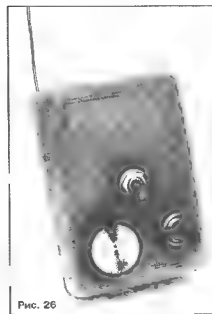


Рис. 26

ляемый импульсами, останется, как и был, дискретным. Получится аппаратура дискретно-пропорциональной системы телеуправления.

Для введения в передатчик канала пропорционального управления постоянные резисторы R5—R7 и контакты кнопок SB3 и SB4 его правого (по схеме рис. 5 в "Радио", 1995, № 10, с. 38) плеча мультивибратора — шифратора надо заменить последовательно соединенными переменным и подстроечным резисторами, как показано на рис. 25а. Резистором R5 в этой цепи вы будете изменять длительность пауз командных сигналов пропорционального канала, а подстроечным R6 пользоваться лишь при настройке аппаратуры.

Но передатчик, основой которого стал промышленный пульт управления "Вездеходом" (рис. 8 там же), придется оставить только для работы в дискретной четырехкомандной аппаратуре управления гусеничными моделями. Для дискретно-пропорциональной системы дистанционного управления надо доработать пульт передатчика на тумблерах (см. рис. 10) или, что лучше, изготовить аналогичный новый. Внешний вид передатчика такого варианта вы видите на рис. 26. На месте переключателя с группами контактов SB3 и SB4 укреплен переменный резистор R5 (подстроечный резистор R6 смонтирован внутри корпуса) с ручкой — "рулем" на валу. По положению стрелки-указателя "руля" будете ориентироваться, на какой угол от прямой станет поворачиваться модель.

В приемной части аппаратуры пропорциональным будет канал, управляемый паузами, между командными импульсами передатчика, т. е. канал, в дашборде которого работают логические элементы DD2.2—DD2.4 и DD3.1, DD3.2 (см. рис. 20 в "Радио", 1996, № 1, с. 40). Но теперь двигатель M1, работающий как тяговый одной из гусениц "Вездехода", станет электродвигателем рулевой машинки управления колесами переднего моста модели автомобиля типа. Надо только в эмиттерную цепь транзистора VT1 этого канала вместо одного постоянного резистора R4 включить последовательно соединенные переменный и подстроечный резисторы, как показано на рис. 25б. Переменный резистор R4 — составная часть рулевой машинки канала пропорционального управления.

РУЛЕВАЯ МАШИНКА

Ее сборочный чертеж с разметкой отверстий на несущих деталях показан на рис. 27. Ее основные узлы и устройства: 12 — электродвигатель; ведущее зубчатое колесо 13, ведомое зубчатое колесо 5, червяк 6 и червячное колесо 1, образующие редуктор; 7 — переменный резистор (R4 на рис. 25, б). 4 — рычаг на валу переменного резистора, передающий (через проволоночную тягу) усилие рулевой машинки колесам переднего моста модели. Другие детали: 2 и 8 — несущие червячной пары и электродвигателя; 9 — гайки крепления ведомого зубчатого колеса на червяке; 10 — жестяной хомут крепления электродвигателя на несущей 2; 11 — крепежные винты.

Электродвигатель, пригодный для руле-

но изменением длительности образцовых импульсов. Добиваются этого плавным изменением сопротивления переменного резистора (R4 — на рис. 25, 6), вал которого механически, через редуктор рулевой машинки, связан с валом электродвигателя. При этом на выходе дешифратора приемного устройства формируется

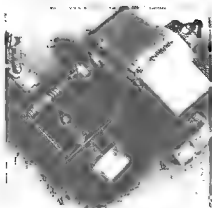


Рис. 29

сигнал, управляющий через усилитель постоянного тока электродвигателем рулевой машинки. В результате вал переменного резистора поворачивается на определенный угол и тем самым изменяет сопротивление участка частотозадающей цепи генератора образцовых импульсов. Этот процесс продолжается до тех пор, пока длительность образцовых импульсов не сравняется с длительностью командных. В этот момент электродвигатель рулевой машинки останавливается. Поворот вала переменного резистора и установленного на нем рычага также прекращается, а передние колеса модели, связанные с рычагом тягой, оказываются повернутыми на четко определенный угол, пропорциональный командному сигналу. В таком положении колеса будут находиться до поступления на вход приемного устройства командного сигнала другой длительности. После его обработки в дешифраторе вновь заработает электродвигатель рулевой машинки и через редуктор и вал переменного резистора повернет передние колеса модели на угол, пропорциональный следующему командному сигналу.

Рулевая машинка — наиболее трудоемкое и ответственное устройство канала пропорционального управления. Кроме того, параметры некоторых подобранных вами деталей, например зубчатых колес, будут отличаться от приведенных в нашем примере. Придется, следовательно, провести соответствующую корректировку отверстий на размерках несущих деталей. Очень важно, чтобы все зубчатые колеса вращались свободно, без каких-либо люфтов и перекосов. От этого зависит четкость работы рулевой машинки и выполнения моделию подаваемых команд.

Внешний вид собранной рулевой машинки показан на рис. 29.

Приступая к налаживанию пропорцио-

нального канала, движки всех его переменных и подстроечных резисторов установите в среднее положение. Включите питание передатчика приемного устройства. Если при этом вал переменного резистора рулевой машинки с установленным на нем рычагом поворачивается в одно из крайних положений и рулевая машинка не реагирует на команды передатчика, это укажет на необходимость изменения полярности включения электродвигателя рулевой машинки. Затем подбором сопротивления подстроечного резистора R6 передатчика и подстроечного R4 дешифратора приемника добейтесь, чтобы при среднем положении "руля" передатчика тяговый рычаг на валу переменного резистора рулевой машинки установился в среднее (вертикальное) положение.

Рулевую машинку размещайте в передней части корпуса модели. Рычаг на валу переменного резистора соедините проволокой тягой с поворотным устройством колес переднего моста. Подавая команды "Влево—Вправо" и "Вперед—Назад", убедитесь в четкости выполнения их моделью.

ЗВУКОВОЙ СИГНАЛИЗАТОР

Телеуправляемую модель можно оснастить устройством, которое бы движение сопровождало гравитационными звуковыми сигналами "Бип-бип".

Схема возможного варианта такого сигнализатора приведена на рис. 30. Устройство состоит из двух мультивибраторов — на транзисторах VT1, VT2 и VT4, VT5. Второй из них генерирует электрические колебания частотой около 1000 Гц, а первый — В...10 Гц. Транзистор VT3 выпол-

няет роль электронного ключа, через который колебания второго мультивибратора "модулируются" колебаниями первого. Динамическая головка BA1 мощностью 0,1—0,25 Вт (или излучатель низкочастотных головок телефонное) преобразует колебания генераторов в двуглазый звуковой сигнал.

Частоту следования звуковых сигналов можно изменять подбором резистора R3, а громкость звучания головки — резистора R6.

Печатная плата звукового сигнализатора, выполненная из одностороннего фольгированного стеклотекстолита, и монтаж деталей на ней показаны на рис. 31. Источником питания может быть батарея гальванических элементов или аккумуляторов напряжением 6...9 В или питающая приемное устройство модель.

Безошибочно смонтированный сигнализатор в налаживании не нуждается.

На этом, дорогие читатели телемеханики, редакция "РАДИО" заканчивает публикацию цикла статей, посвященного изучению и конструированию аппаратуры дискретно-пропорциональной системы управления моделями по радио. Дополнить и расширить знания в этой области радиотехнического творчества вам поможет литература, рекомендуемая автором статей.

ЛИТЕРАТУРА

1. Плотицкий В. Пропорциональное телеуправление — Радио, 1974, № 6, с. 56—58, № 9, с. 38, 39, № 10, с. 47, 48
2. Путькин Н., Гринин В. Радиоуправляемый "Лунход" — Радио, 1976, № 11, с. 49, 51, № 12, с. 52, 54
3. Путькин Н.Н. Радиоуправление моделями — М.: Энергия, 1976

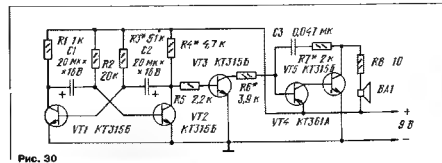


Рис. 30

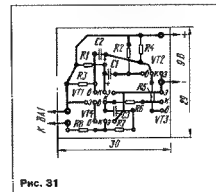


Рис. 31

4. Миль Г. Электронное дистанционное управление моделями. — М.: ДОСААФ, 1980
5. Прохурин А. Радиоуправляемая модель танка — Радио, 1981, № 3, с. 52—55
6. Васильев М.Е., Дыков А.В. Радиотелевизионная телемеханика. — М.: Радио и связь, 1980
7. Прохурин А. Модульная аппаратура радиоуправления. — М.: ДОСААФ, 1988
8. Бирюков С. Помехоустойчивая система радиоуправления. — Сб.: "Радиотехника-89", с. 136—149. — М.: ДОСААФ, 1989

От редакции. Червячное колесо рекомендуемой рулевой машинки выполнено автором статьи с помощью разрезанного им приспособления, описание которого предполагается опубликовать в одном из номеров "Радио".

КАК ЗДОРОВЬЕ, ТРАНЗИСТОР?

Прежде чем впаивать транзистор в собираемую конструкцию, его нужно проверить и убедиться в работоспособности. Конечно, лучший вариант — измерить основные параметры транзистора: статический коэффициент передачи тока базы и обратный ток коллектора. Но в большинстве случаев достаточно воспользоваться сравнительно простыми пробниками, позволяющими убедиться, что транзистор исправен, а заодно определить его структуру и цоколевку. Об устройстве таких пробников пойдет рассказ в предлагаемой подборке статей радиолюбителей-конструкторов.

ОПРЕДЕЛИТЕЛЬ СТРУКТУРЫ И ВЫВОДОВ ТРАНЗИСТОРА

И. ГОРОДЕЦКИЙ, г. Москва

Описания приборов для аналоговиче- ских целей не раз встречались в литературе [1-4]. Однако, скажем, описанная в [1] конструкция вряд ли увлечет начинающего радиолюбителя из-за своей сложности — в ней около трех десятков микросхем и четырех транзисторов. Приборы, описанные в [2, 4], позволяют определить структуру транзистора, но при условии, что известна его цоколевка. В [3] рассказывается о приборе умеренной сложности, определяющем структуру и цоколевку транзистора, но содержащем девять микросхем и шесть светодиодов.

Вышеперечисленные недостатки, по мнению автора, удалось устранить в предлагаемом сравнительно простом пробнике. Помимо структуры и цоколевки транзистора, он позволяет определить отсутствие обрывов или замыканий переходов а также ориентировочно судить о статическом коэффициенте передачи тока базы. Работает прибор с транзисторами любой структуры и мощности.

В основу разработанного метода положены два этапа опознавания. На первом этапе определяют структуру транзистора и вывод базы, на втором — вывод коллектора. Понять это поможет известная аналогия транзистора, состоящего из двух диодов (рис. 1), соединенных анодами или катодами в зависимости от структуры транзистора. Точка соединения — вывод базы, и определить ее нетрудно даже с помощью омметра, проверяя переходы транзистора как диоды. В одной полярности щупов омметра, прикладываемых к переходу, должно фиксироваться небольшое сопротивление (прямой ток), в другой (обратный ток) — большое (для кремниевых маломощных транзисторов — почти бесконечное). Если же в обоих случаях омметр показывает небольшое сопротивление, значит, переход неисправен (замкнут), при отсутствии же отклонения стрелки омметра можно сказать, что в цепи перехода обрыв. Заметное отклонение стрелки омметра при обратном токе свидетельствует о повышенном обратном

токе коллектора (для мощных транзисторов это нормальное явление).

Одновременно определяют вывод базы и структуру по полярности щупов омметра, прикладываемых к его выводам, — если при малом сопротивлении переходов транзистора одного и того же вывода касался плюсовой щуп омметра, значит, это — вывод базы, а транзистор структуры $p-n-p$. Для транзистора структуры $n-p-n$ полярность щупов омметра будет обратной.

В пробнике этот процесс протекает несколько иначе (рис. 2) — выводы исследуемого транзистора подсоединяют к гнездам X1-X3 в произвольном порядке а с помощью коммутирующих элементов (они условно обозначены в виде узла К) проверяют различные варианты подсоединения их к цепям, изображенным слева от коммутатора. В каждом случае нажимают и отпускают кнопку переключателя SB1. Очевидно, что только при варианте подключения, показанном на схеме для транзисторов разных структур, а также при исправных транзисторах стрелка индикатора PUI будет отклоняться в одну сторону независимо от положения подвижного контакта переключателя. Выводом базы будет тот, что соединен с гнездом X2.

Поскольку направление тока через индикатор определяется структурой транзистора, он должен быть с нулевой отметкой по середине шкалы либо в это место нужно заранее установить стрелку регулировочными элементами (об этом скажем позже). По направлению отклонения стрелки определяют структуру транзистора.

После этого можно перейти к определению вывода коллектора. Последовательно считая один из оставшихся выводов коллектором, транзистор включают по схеме с общим эмиттером (рис. 3) и контролируют стрелочным индикатором ток в цепи предполагаемого коллектора. В случае, если коллекторный вывод определен правильно, стрелочный прибор покажет большой ток. При этом переключатель SB1 устанавливают в положение, соответствующее

структуре транзистора, а переменным резистором R1 задают ток базы, при котором стрелка индикатора не зашкаливает.

Рассмотрев принцип работы прибора, можно перейти к знакомству с его устройством по принципиальной схеме, приведенной на рис. 4. Питается прибор от сети переменного тока напряжением 220 В, которое подается на выводы 1, 2 понижающего трансформатора. С выводов 3, 4 вторичной обмотки переменное напряжение поступает на цепь, служащую для определения структуры транзистора и вывода его базы. А с выводов 3, 5 напряжение подается на диоды VD1 и VD2, необходимые для получения пульсирующего тока, используемого при стыкании вывода коллектора. Кроме того, выпрямленный диодом VD2 напряжение используется для установки стрелки индикатора на середину шкалы (подстроечным резистором R2). Резистором R1 задают ток базы, резистор R3 ограничивает ток через индикатор при испытании транзистора с пробным переходом (или обоими переходами). Переключателем SA1 ищут «правильный» включение транзистора для определения его структуры и

рис. 1

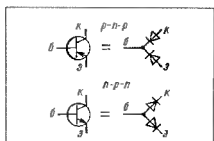


Рис. 1

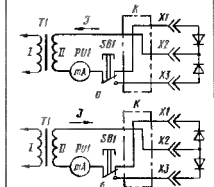


Рис. 2

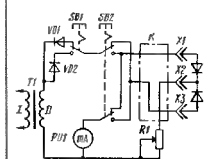


Рис. 3

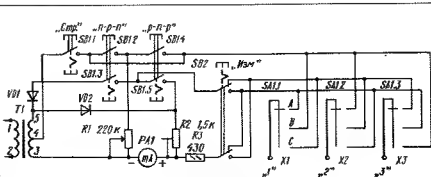


Рис. 4

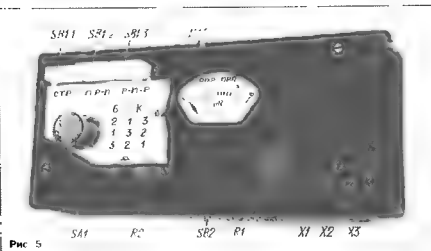


Рис. 5

Сетевой трансформатор — любой мало-мощный, обеспечивающий на вторичной обмотке напряжения 1 В (выводы 3, 4) и 3 В (выводы 3, 5) при токе 3...5 мА. Стрелочный индикатор — миллиамперметр с током полного отклонения стрелки 1 мА. Если удастся использовать индикатор с нулевой отметкой в середине шкалы, резистор R2 не понадобится. Диоды — любые слаботочные, желательно германиевые. Переключатели SB1, SB2 могут быть ПЗК или другие ключевые, первый из них с возвратом от отдельного привода, второй — с возвратом повторным нажатием на кнопку; SA1 — малогабаритный галетный на три положения и три направления.

Все переключатели, переменный резистор и стрелочный индикатор, а также вилки для подключения транзисторов размещены на лицевой панели прибора (рис. 5), на нее же наклеена рядом с переключателем SA1 таблица соответствия (рис. 6), которую, впрочем, можно выполнить в более упрощенном виде — как у автора. Остальные детали смонтированы внутри корпуса.

Как пользоваться прибором? Сначала подключают к зажимам в произвольном порядке выводы транзистора, после чего прибор включают в сеть. Нажимают кнопку "Стр." ("Структура" — SB1.1) и, поочередно устанавливая переключатель SA1 в по-

ложения А, В, С, находят такое, при котором стрелка индикатора будет отклоняться в одну и ту же сторону при любом положении кнопки переключателя "Изм." ("Измерение" — SB2). В соответствии с таблицей определяют, с каким зажимом соединен вывод базы, а по направлению отклонения стрелки индикатора судят о структуре транзистора: если она ушла в левую часть шкалы, подключен транзистор п-п-п, а если вправо — п-р-п.

В зависимости от структуры транзистора нажимают либо кнопку "п-п-п" (секции SB1.2 и SB1.3), либо "п-р-п" (секции SB1.4 и SB1.5) и, нажимая кнопку переключателя SB2, выбирают положение, при котором стрелка индикатора отклоняется

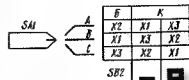


Рис. 6

на больший угол (если он вообще мал в обоих положениях переключателя, увеличивают ток базы транзистора переменным резистором R1). По положению переключателей SA1 и SB2 в таблице соответствия находят зажим, к которому подключен вывод коллектора. Оставшийся вывод принадлежит, естественно, эмиттеру. Не правда ли, все очень просто?

Поскольку разные транзисторы имеют различной длины выводы, целесообразно запастись дополнительными малогабаритными разъемами, контактными планками, удлинительными проводниками с вилками на одних концах и зажимами "крокодил" на других.

ЛИТЕРАТУРА

1. Биданов В. Тестер-анализатор для проверки транзисторов. Лучшие конструкции 28-й выставки творчества радиолюбителей — М ДОСААФ, 1981, с. 140—143.
2. Сергеев Б. Пробник для проверки транзисторов — Радио, 1982, № 1, с. 51.
3. Смирнов А. Полуавтоматический пробник-испытатель — Радио, 1984, № 6, с. 17, 18.
4. Сеталов В. Испытатель маломощных транзисторов — Радио, 1988, № 1, с. 42, 43.

СВЕТОДИОДНЫЙ ИЛИ СТРЕЛОЧНЫЙ?

П. АЛЕШИН, г. Москва

Вопрос, конечно, касается выбора индикатора при конструировании пробника для проверки транзисторов. В предлагаемом простом приборе, например, выбран светодиодный. Принципы действия прибора поясняют рис. 1 и 2.

Вначале транзистор превращают в двухполюсник, соединяя поочередно два вывода вместе. Двухполюсник подключают через ограничительный резистор R1 и

светодиод HL1 к источнику питания в указанном на рис. 1 полярности. Если проветят транзистор структуры п-р-п, светодиод вспыхнет лишь в варианте соединения, приведенном на рис. 1, соответствующем подключению к плюсу источника питания базы транзистора. Если же транзистор структуры р-п-р либо полярности источника иная, светодиод вспыхнет в вариантах соединения, приведенных на

рис. 1, б, в (конечно, при соблюдении полярности включения светодиода).

Итак, структура транзистора и вывод базы определены. Теперь вывод базы соединяют через резистор R2 (рис. 2) с выводом источника питания, соответствующим структуре транзистора (плюс для транзистора структуры п-р-п, минус — для р-п-р), а оставшиеся выводы включают в цель источника в одном и в другом варианте. Резисторы R1 и R2 подобраны таких номиналов, чтобы транзистор входил в насыщение при коэффициенте передачи тока базы 20 и больше. Поскольку коэффициент передачи значительно больше при включении транзистора по схеме рис. 2, а, светодиод в этом варианте горит ярче, что позволяет безошибочно определить вывод коллектора.

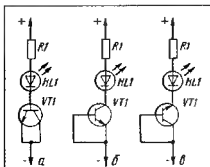


Рис. 1

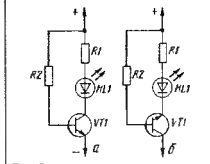


Рис. 2

Принципиальная схема прибора показана на рис. 3. Питается он от источника постоянного тока, подключаемого к зажимам X1 и X2 в указанной полярности. Переключателем SA1 устанавливаются полярность напряжения, подаваемого на проверяемый транзистор, а SA2 — режим проверки: в верхнем по схеме положении ведут поиск вывода базы, устанавливая переключателем SA3 варианты включения транзистора (см. рис. 1), а в двух нижних — вывод коллектора (см. рис. 2).

Светодиод включен в диагональ диодного моста VD1—VD4, что позволяет автоматически «переключать» его выводы при изменении переключателем SA1 полярности питающего напряжения.

На месте SA2 и SA3 в приборе можно использовать любые галетные переключатели на три положения и три направления, например, сравнительно малогабаритные ПГ2-17-3П4Н, а на месте SA1 — любой тумблер, скажем ПТ6-15 со средним положением, в котором питание прибора отключается. Светодиод любой красного свечения, диоды VD1—VD4 — обязательные германиевые, например, ДГ507А, Д18, Д20, Д310 или серий Д2, Д7, Д9, Д18, Д311.

Прибор собран в пластмассовом корпусе размерами 170х70х32 мм (рис. 4), большинство его элементов размещено на лицевой панели так, чтобы было удобно работать. Остальные детали смонтированы на выводах переключателей.

Работают с прибором так. К зажимам X1 и X2 подключаем источник питания, а к X3—X5 — выводы транзистора в произвольном порядке. Переключатель SA2 «Коллектор» устанавливаем в верхнее по схеме положение («Структ.» — структура) и, перемещая ручку переключателя SA3 «База», замечаем, в скольких из положениях горит светодиод. Если в одном, значит переключатель SA1 находится в по-

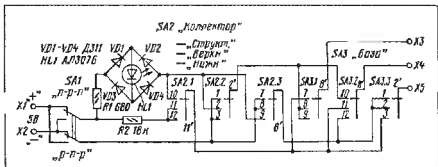


Рис. 3

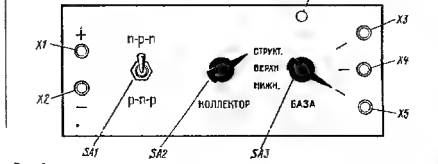


Рис. 4

ложению, соответствующем структуре транзистора, если в двух — следует изменить положение переключателя SA1. Поставив ручку переключателя SA3 в положение «ключика» ручки определяют зажим, с которым соединен вывод базы.

Затем переключатель SA2 поочередно устанавливают в два нижних по схеме положения. То из них, в котором свечение светодиода более яркое, определяет принадлежность одного из оставшихся выводов — верхнего или нижнего — коллектору.

Поскольку напряжение питания подается на транзистор через резисторы и оно меньше пробного его р-п переходов, опасности повреждения для транзистора нет при любом порядке пользования переключателями.

К сожалению, многие СВЧ транзисторы имеют весьма низкое пробное напряжение эмиттерных переходов, что не позволяет проверять их на данном приборе. Также прибор не пригоден для работы с составными транзисторами, поскольку в них между выводами коллектора и эмиттера включен диод.

Если испытываемый транзистор неисправен, у него не всегда можно определить даже вывод базы — светодиод или

горит при всех положениях переключателя SA3 при наличии замыканий или не светится ни в одном при обрывах в транзисторе.

Предположим, есть сомнения в исправности транзистора. Тогда его следует проверить при двух положениях переключателя SA1 — с исправным транзистором светодиод в одном случае вспыхнет лишь при одном положении переключателя SA3 а в другом — при двух, причем положение SA3 не должны совпадать.

Немного усложнив прибор (рис. 5), мы можно измерять коэффициент передачи тока базы. Структуру и колодку транзистора определяют по вышеописанной методике при крайнем правом по схеме положении движка переменного резистора R2. Перемещением движка резистора добиваются одинаковой яркости светодиодов HL1 и HL2, и по шкале резистора считывают значение коэффициента передачи.

Чтобы откалибровать шкалу переменного резистора, нужно подключить к прибору любой кремниевый транзистор и включить в цепь его коллектора миллиамперметр на 5—10 мА. Перемещая движок резистора, установить ток коллектора 5 мА, после чего подобрать такой резистор R4, чтобы яркость светодиодов

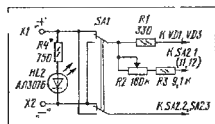


Рис. 5

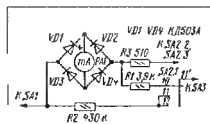


Рис. 6

пен-кам булавок припаивают тонкие многожильные проводники 1, надевают на булавы резиновый кружок 5, вставляют в корпус 2 кружок 3, через отверстия в котором пропускают проводники и выводят их наружу через отверстие в корпусе. На острия булавок надевают отрезки тонкой поливинилхлоридной трубки 6. Причем на булавку, соединяемую с коллектором транзистора, желательно надеть красную трубку, а на булавку, соединяемую с базой, — белую.

Несколько иначе выполнены щупы для подключения ОУ (рис. 3б). С каждым гнездом разъема Х4 соединяют отрезки тонкого многожильного провода 1 в изоляции длиной 7...9 см. К концам проводов припаивают отрезки одножильного провода медного провода 3 диаметром 0,3...0,5 мм и длиной около 20 мм, а на них надевают поливинилхлоридную трубку 2. Как и в предыдущем случае, трубки желатель-

О СОГЛАСОВАНИИ МАЛОГАБАРИТНЫХ АНТЕНН

(Окончание. Начало см. на с. 9)

парата. П-контур настраивают на среднюю частоту рабочего диапазона. Так как добротность П-контура невелика (с одной стороны, он декомпенсирован сопротивлением антенны, а с другой — выходным сопротивлением аппарата), то он сохраняет свои функции преобразователя сопротивления в широкой полосе частот.

Поскольку в отношении действительной величины R_0 в коротких антеннах можно лишь строить предположения, нужный коэффициент трансформации П-контура лучше установить экспериментально, выполнив его так, как это показано на рис. 2. Здесь SA1 — любой многопозиционный переключатель на два направления, например ПГ-2-9П2НВ. В таблице для каждой пары конденсаторов C1, C2 указаны коэффициент трансформации R_0/R_1 и величина R_0 , которая трансформируется таким контуром к $R_1 = 50 \text{ Ом}$.

Для примера приведем параметры П-контура с удлиняющей катушкой, с помощью которого антенна в виде штыря длиной 45 см согласуется с 50-омным антенным входом. Емкость конденсатора C1 — 150 пФ, а C2 — 300 пФ. Катушки L1 и L2 намотаны на каркасах диаметром 6 мм с карбонильным сердечником М3х8 мм. Катушка L1 содержит 9 витков провода ПЭВ-2 0,72 мм (длина намотки 14 мм), а L2 — 40 витков провода ПЭВШО-0,2 мм (длина намотки 12 мм).

Настройку антенны и ее согласование с выходным контуром передатчика лучше всего производить в режиме передачи по максимальной напряженности поля на приемной стороне. Для контроля напряженности поля хорошо использовать приемник со стрелочным S-метром. Сначала настраивают антенну, изменяя положение подстрелочника в катушке L2. Затем уточняют настройку П-контура, вводя в него поперечные латунный и карбонильный сердечник. В том случае, если индуктивность L1 оказалась велика, витки в L1 раздвигают, если мала — сжимают. В П-контуре с изменяемым коэффициентом трансформации подбирают положение переключателя SA1, соответствующее максимальному излучению. Контроль ведут по S-метру, добиваясь максимального его показаний. В приемно-передающей радиостанции процедуру настройки рекомендуются проделать и в режиме приема по максимальному уровню сигнала принимаемой станции. Настройка и согласование антенны в обоих режимах должны дать близкие результаты.

Для настройки и согласования антенны можно воспользоваться индикатором антенного тока (ИАТ), принципиальная схема которого показана на рис. 3, а, внешний вид на фото. Здесь T1 — токовый трансформатор — имеет во вторичной обмотке 10 витков провода в произвольной изоляции, размещенных равномерно по магнитопроводу кольцевого сердечника К12х6х4,5 мм из феррита марки М50 В42-14. Первичной его «обмоткой» оплужит провод с антенным током, про-

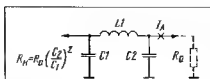


Рис. 1

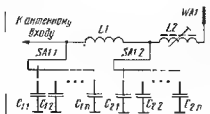


Рис. 2

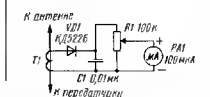


Рис. 3

C1, пФ	C2, пФ	R_0/R_1	$R_0 (R_1 = 50 \text{ Ом})$
130	430	11	5
140	360	6,6	8
150	300	4	13
160	270	2,8	18
170	240	2	25
180	220	1,5	33

тый сквозь это кольцо. Место включения ИАТ показано на рис. 1. Резистором R1 регулируют чувствительность индикатора.

Согласовывать портативную радиостанцию с ее же короткой антенной обычно не приходится: такая станция имеет, как правило, и соответствующий своей антенне «низкоомный» антенный выход. Но если портативную станцию предлагают использовать для работы со стационарной антенной, то здесь опять потребуется согласование, правда, в «обратную» сторону. Так, П-контур с C1 — 300 пФ и C2 — 150 пФ, включенный между антенным выходом радиостанции «Урал-Р» ($R_0 \sim 12 \text{ Ом}$) и 50-омным фидером стационарной антенны, увеличит «дальность» станции по крайней мере на 30%. А если тот же «Урал-Р» будет работать на полуволновый штырь непосредственно, то включен между ними П-контур с C1 — 780 пФ и C2 — 120 пФ (рабочее напряжение этого конденсатора должно быть не менее 40 В) окажется еще более существенным. Согласование может потребоваться и в случае установки на портативную станцию «чужой» малогабаритной антенны.

ЛИТЕРАТУРА

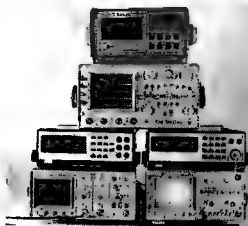
1. Радунцов Ю. Простой испытатель транзисторов. — Радио, 1984, № 8, с. 55.
2. Кларисон К. Простой для операционных усилителей (За рубежом). — Радио, 1994, № 5, с. 39.

БЕЛВАР

ДОСКА ОБЪЯВЛЕНИЙ

За 55 лет производства сложной радионизмерительной и дозиметрической техники не одно поколение специалистов оценило качество и высокие технические возможности приборов "БЕЛВАР"

Сегодня вольтметры и осциллографы "БЕЛВАР" прочно завоевали более 60 % рынка радионизмерительных приборов СНГ.



Приборы с маркой "БЕЛВАР" можно найти в каждой современной лаборатории по ремонту и обслуживанию радиоэлектронной аппаратуры, устройств автоматики, средств связи.

Ежегодно осваивая несколько новых моделей и продолжая выпускать хорошо известные, "БЕЛВАР" уже сегодня решает Вашу проблему выбора необходимого оборудования

ОСЦИЛЛОГРАФЫ

универсальные

C1-126	100 МГц, 2+2 канала, задержка развертки
C1-127	50 МГц, 2 канала
C1-137	25 МГц, 2 канала
C1-137/1	25 МГц, 2 канала, встроенный мультиметр
C1-143	15 МГц, 1 канал

цифровые

C1-137/2	аналого-цифровой 25 МГц, 2 канала, 1 Мв/сек
СВ-28	20 МГц, 1 канал, 5 Мв/сек, ЖКИ
СВ-28	100 МГц, 2 канала, 20 Мв/сек КОП

ВОЛЬТМЕТРЫ

аппаратурные

B7-57/1	1 Ц.С.Р. КОП
B7-57/2	Ц.С.Р. КОП (повышенная чувствительность)
B7-57/3	Ц.С.Р. КОП, 2 канала

универсальные

B7-53	кл. 0,04% КОП
B7-58	кл. 0,2%
B7-54	кл. 0,002% КОП, СТЫК2

ручные мультиметры
"Мастер-5" ретро, кл. 1,5% АВП, Ц.С.Р.
МП-1 кл. 0,2% Ц.С.Р.

Создав сеть сервисных центров по всей территории СНГ и обеспечивая гарантийное обслуживание, мы заботимся о безотказной работе наших приборов.

Обращаясь к нам сегодня, и квалифицированные специалисты ПО "БЕЛВАР" проконсультируют Вас по всем вопросам, связанным с выбором, приобретением и использованием любого оборудования.



220600, г. Минск, пр. т. Ф. Скорины, 58

телефоны: (0172) 39-94-82, 39-94-42, 39-97-89, 39-97-30 факс: (0172) 31-06-89, 33-45-61

Отдел рекламы журнала "Радио" 208-99-45, тел./факс 208-77-13

УПРОЩЕННЫЙ РИТМ-БОКС

В. КОЖУХОВ, г. Кемерово

Сейчас, когда в продаже появилось множество отечественных и зарубежных цифровых электромузыкальных инструментов, казалось бы, этому можно только радоваться: есть хорошая основа для творчества начинающих музыкантов. Но что делать "дворовым командам", если ни школа, ни родители не в состоянии приобрести эти ЭМИ, цены на которые достигают порой среднего годового заработка начинающего музыканта? Выход все тот же, проверенный опытом предыдущих поколений, — конструировать самостоятельно.

Два года назад на страницах "Радио" было опубликовано описание ЭМИ "Ритм-бокс" [1]. Однако, наряду с такими достоинствами, как, например, высокое качество имитации, сравнительная простота конструкции, инструмент имеет и недостатки. К ним, в частности, относятся необходимость трудоемкого программирования ПЗУ и конечное число (16) ритмических рисунков. В условиях постоянно меняющихся музыкальных стилей решающую роль играет не качество имитации реальных инструментов и ритмов, а именно оперативность их изменения.

Предлагаю для повторения упрощенный вариант основного инструмента любого современного ансамбля. Это так называемая "драм-машина" или "ритм-бокс" ЭМИ группы ритма, выдающий заранее запрограммированные ритмический рисунок музыкального произведения и в не-

которых случаях заменяющий "живого" музыканта.

Широкие возможности перепрограммирования (практически под любую песню), а также простота конструкции в сочетании с неплохим звучанием позволяют надеяться, что он может стать хорошим подарком начинающим талантам.

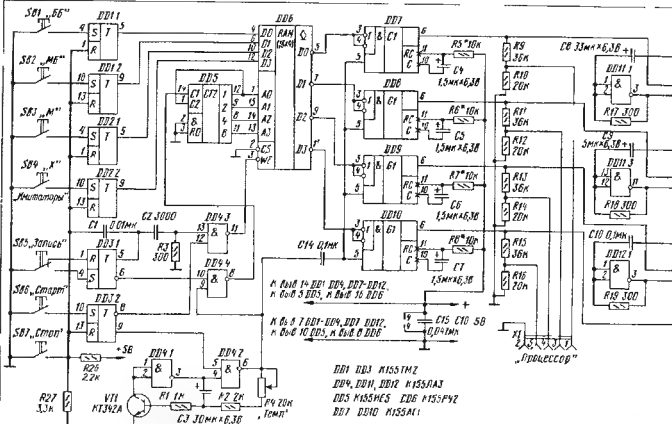
Инструмент позволяет записывать и циклично воспроизводить 16 тактов ритмического сопровождения музыкального произведения с помощью четырех звуковых каналов, имитирующих большой барабан (BB), малый барабан (MB), бон (B), хэт (X). Предусмотрен "процессорный выход", позволяющий подключить инструмент к более совершенным электронным ударным установкам для концертного исполнения, имеющих вход "Сенсор".

Принципиальная схема ритм-бокса показана на рис. 1. Функционально он со-

стоит из двух частей: блока управления и блока звукового синтеза. Основной блок управления служит микросхема K155PY2 (DD6) — оперативное запоминающее устройство (ОЗУ) с емкостью памяти 64 бит. Данные в ОЗУ можно записывать и считывать. При считывании информации из ОЗУ она не разрушается. Ячейки в памяти организованы в матрицу, имеющую 16 слов по 4 бита каждое. Матрица снабжена адресным дешифратором, который принимает четырехразрядный код адреса А0—А3 и выбирает с помощью одного из своих 16 выходов нужное четырехразрядное слово. Четыре буферных входа данных D0—D3 имеют выход разрешения записи WE. Сигналом, поданным на этот вход, выбирают нужный режим работы микросхемы. Если на входе WE — низкий уровень, то в ячейки памяти производится запись, а если высокий — считываетеся информация из памяти. У каждого из выходов данных D0—D3 — транзистор с открытым коллектором, что упрощает подключение к ним последующих устройств. Данные на выходах инвертированы относительно тех, которые записаны в память.

Таким образом, для записи информации в какую-либо ячейку памяти необходимо подать на вход D0—D3 сигналы соответствующих уровней, а на входы А0—А3 — код адреса требуемой ячейки. Затем на вход WE одновременно подать сигнал низкого уровня — и информация записана. Для считывания информации необходимо подать на вход WE высокий уровень. Тогда при смене кода адреса (на входах А0—А3) на выходах D0—D3 будут появляться сигналы, соответствующие содержимому нужных ячеек.

Вход CS служит обычно для выбора нуж-



ной микросхемы при их соединении в более сложные матрицы. При подаче на него высокого уровня записи и считывание на производится. В нашем варианте микросхема постоянно находится в работе, поэтому вход CS подключен к общему проводу.

Рассмотрим работу блока управления. При включении питания D-триггеры микросхем DD1 и DD2 устанавливаются в неопределенное состояние. Нажатием на кнопку SB7 "Стоп" (выполняющую еще и функцию очистки и предварительной установки) триггеры DD1.1, DD1.2, DD2.1, DD2.2 и DD3.2 фиксируют в исходное состояние, при котором на их прямых выходах появляется напряжение низкого уровня. С прямого выхода триггера DD3.2 сигнал низкого уровня запрещает работу тактового генератора, собранного на транзисторе VT1 и элементах DD4.1 и DD4.2. Инструмент готов к приему информации.

Кнопками SB1—SB4 "Имитаторы" и кнопкой SB5 "Запись" записывают 16 тактов ритмического рисунка с помощью приведенной здесь кодовой таблицы, имея в виду, что нажатая кнопка дает сигнал высокого уровня, а ненажатая — низкого. Для примера в таблице приведена запись одного из вариантов стиля "диск".

Запись производят в таком порядке. Сначала нажимают кнопки нужных имитаторов первого такта (для нашего примера — кнопки SB1 и SB4), получив таким образом двоичное слово 1001. При этом триггеры DD1.1 и DD2.2 переключаются в единичное состояние, а триггеры DD1.2 и DD2.1 остаются в исходном нулевом. Следовательно, на выходах D0—D3 ОЗУ DD6 появится нужный нам код первого такта, а именно 1001. Остается записать его в первую ячейку памяти, нажав на кнопку SB5 "Запись". При этом с

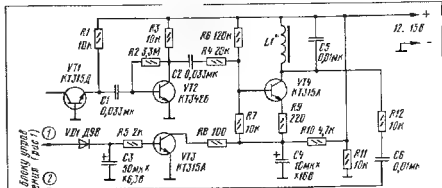


Рис. 2

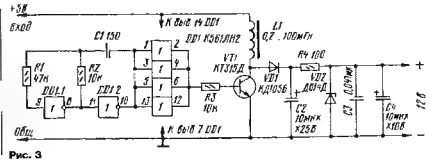


Рис. 3

прямого выхода триггера DD3.1 через дифференцирующую цепь C2R3 на вход 13 элемента DD4.3 поступит короткий импульс высокого уровня. А так как на выходе 12 этого элемента изначально уже присутствовало напряжение высокого уровня, то с его выхода на вход WE ОЗУ поступит короткий импульс прямоугольной формы низкого уровня. Одновременно импульс низкого уровня с инверсного выхода триггера DD3.1, поступающий на вход 10 элемента DD4.4, преобразуется в высокий и с выхода этого элемента поступает на вход C1 счетчика DD5. В результате адресный код на выходах 1, 2, 4 и 8 счетчика увеличится на единицу, а в ОЗУ к записи подготовится следующая ячейка памяти.

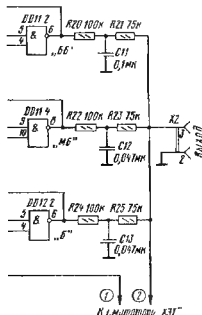
Аналогично дают последующие записи информации.

Необходимо помнить, что на кнопку SB5 "Запись" можно нажимать только после установки нужной информации кнопками SB1—SB4. В противном случае запись придется начинать сначала — с первого такта.

После записи всех 16 тактов можно начинать исполнение нажатием на кнопку SB6 "Старт". При этом сигнал высокого уровня с прямого выхода триггера DD3.2 разрешит работу тактового генератора. Выбравшаяся импульсы, следующие с частотой 1...10 Гц (в соответствии с характером исполняемой мелодии), генератор станет через триггер DD4.4 управлять

счетчиком DD5. Соответственно на адресных выходах A0—A3 ОЗУ будут последовательно меняться адреса ячеек памяти, а на выходах D0—D3 — импульсы низкого уровня, которые по замыслу исполнителя (согласно кодовой таблице) будут подходить тем или иным имитаторам ударных инструментов. Одновременно могут звучать все четыре инструмента (если, конечно, набран соответствующий код).

Инверсный сигнал с каждого выхода ОЗУ проходит обработку в одновибраторах микросхем K155AF1 (DD7—DD10). Каждая из этих микросхем представляет собой формирователь прямоугольных импульсов заданной длительности, которая определяется номиналами деталей выходной времязадающей цепи. С выходов одновибраторов короткие импульсы высокого уровня через делители R9R10, R11R12, R13R14, R15R16 поступают на разъем X1 "Процессор" выхода блока управления, а также запускают собственные имитаторы ЗМИ. Три из этих имитаторов представляют собой простейшие генераторы прямоугольных колебаний, собранные на элементах микросхем DD11, DD12 с резонансными входами. С их выходов сигналы звуковой частоты через низкочастотные фильтры, образованные резисторами R20—R25 и конденсаторами C11—C13, и разъем X2 подаются на вход "Звукоусилитель" внешнего усилителя ЗЧ (чувствительность не хуже 200 мВ и вход-



Имитатор	Кнопка (код)	Такт															
		1	2	3	4	5	6	7	8	9	10	11	12	13	14	15	16
"ББ"	SB1	1	0	1	0	1	0	1	0	1	0	1	0	1	0	1	0
"МБ"	SB2	0	0	0	1	0	0	0	1	0	0	0	1	0	0	0	1
"Б"	SB3	0	0	1	0	0	0	1	0	0	0	1	0	0	0	1	0
"Х"	SB4	1	1	1	0	1	1	1	0	1	1	0	1	1	0	1	0

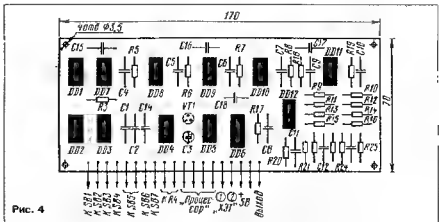


Рис. 4

ным сопротивлением более 47 кОм) или любой магнитофона в режиме "Запись".

Для имитатора хэта (рис. 2) характерно шумовое звучание, которое обеспечивают транзисторы VT1, VT2. Шумы плавного процесса смещенного в обратном направлении эмиттерного р-п перехода транзистора VT1 усиливаются транзистором VT2 и далее поступают к модулятору, собранному на транзисторах VT3, VT4 [3].

Генератор шума и модулятор имитатора хэта (рис. 3) питаются от преобразователя напряжения 5/12 В [2]. Его основой служит автогенератор на элементах микросхемы К561ЛН2 (DD1). Элементы DD1.1, DD1.2 совместно с резисторами R1, R2 и конденсатором C1 образуют мультивибратор, генерирующий колебания частотой в десятки кГц. Остальные элементы этой микросхемы соединены параллельно для обеспечения необходимого импульсного тока расклинки ключевого транзистора VT1. Выходное напряжение преобразователя определяется напряжением стабилизации используемого стабилизатора VD2. Дiod VD1 — выпрямитель импульсного напряжения.

Для питания автономного ритм-бокса используется блок БП2-3 (от микрокалькулятора). Пригоден также любой другой готовый или самодельный сетевой блок питания со стабилизацией выпрямленного напряжения. Важно лишь, чтобы он обеспечивал ток нагрузки не менее 0,3 А при напряжении 5±0,1 В.

Все транзисторы — кремниевые малой мощности серий КТ312, КТ315, КТ342 с любыми буквенными индексами. В имитатора хэта (рис. 2) и преобразователе напряжения (рис. 3) можно использовать любые маломощные выпрямительные диоды, стабилизатор VD3 — ДБ3, КС15А. Все оксидные конденсаторы — К50-6, К50-16, остальные — КМ-5, КМ-6, К10-7 или любые другие доступные. Переменный резистор R4 — СП 23А, постоянные — МЛТ-0,125 или МЛТ-0,25. Кнопка SB5 — ПК без фиксации, остальные тоже ПК2 или любые другие, работающие не замыкая, например от счетных машинок. Розетка X1 — СГ-5, X2 — СГ-3.

Функция катушки L1 резонансной контуры L1C5 модулятора хэта выполняет обмотка трансформатора (выходного или согласующего) транзисторного приемника с магнитопроводом, собранным встык. Изменяя голущину зазора в магнитопроводе, устанавливается резонансная частота контура до желаемого тембра звучания. Конструкция дросселя L1 преобразователя напряжения, индуктивность которого может быть от 0,2 до 100 мГн, произвольная. Можно, например, намотать

тат на резисторе ВС 0,5 100...200 витков провода ПЭВ-1 0,08.

Детали инструмента смонтированы на двух платах из одностороннего фольгированного материала. На одной из них размещены детали блока управления имитаторов, барабанов и бонга (рис. 4). На фольгированной стороне платы вытравлены только площадки под вывод радиоэлементов и разводы цепей питания. Все другие соединения выполнены известным методом. На второй плате (размерами 120х35 мм) смонтирован имитатор хэта с преобразователем напряжения 5/12 В.

Инструмент собран в корпусе с внутренними размерами 240х100х43 мм (в футляре микроскопа МКЗ-2/1). На его верхней стенке справа расположены кнопки SB1—SB4, слева — кнопки SB5—SB7, а между ними выведен диод переключенного резистора R4. Розетки X1, X2 и разъем X3 находятся на задней стенке корпуса.

Собранный из исправных деталей устройство наладки не требует. Возможно, понадобится подобрать резисторы времязадающих цепей одновибраторов DD7, DD10 для получения требуемой длительности импульсов — сг этого, прежде всего, зависит качество имитации звуковых эффектов.

Для генератора шума имитатора хэта подбирают наиболее "булькающий" экземпляр транзистора. Можно также попробовать вместо этого транзистора (VT1) применить один из стабилизаторов.

Несколько упростить конструкцию можно заменой низкочастотных фильтров на выходе генераторов делителей напряжения, аналогичными R9R10, R11R12, R13R14 и R15R16. На слух это не очень заметно. Кроме того, допустимо отказаться от части "цифрового" процессорного выхода, разместив его в цепи линейного выхода (разместив, да сменения сигналов), — установкой заводского изготовления работают и от таких сигналах.

ЛИТЕРАТУРА

1. Богданов А. Ритм-бокс. — Радио, 1994, № 1, с. 36-38.
2. Шигло В. Л. Популярная цифровая микросхемы. Справочник, вып. 1145. — М.: Радио и связь, 1989 (МРБ).
3. Володар А. Электронные музыкальные инструменты группы ритма. — Радио, 1972, № 2, с. 44.
4. Евсеев А. Переключатель входов прилад на базе К155ФУ2. Сб. "В помощь радиолюбителю", вып. 103, с. 11. — М.: ДОСААФ, 1989.

От редакции. Входы S триггера микросхемы DD1, DD2 и вход R триггера DD3 следует подключить к цепи +5 В через резистор сопротивлением 3,3...5,1 кОм.

Система состоит из двенадцати идентичных блоков кодирования с датчиками тревожного сигнала на их входах и путях декодирования и индикации, соединенных между собой двухпроводной линией связи. Работая поочередно, каждый блок кодирования может выдавать сигнал "Норма" или "Тревога". Отсутствие сигнала от какого-либо из блоков индицируется как неисправность этого блока или его датчика.

Для идентификации блоков кодирования используется числовой импульсный код — первый из них выдает в линию пакки из трех нулевых, второй — из четырех, дванадцатый — из 14-ти. В состоянии "Норма" длительность импульсов в пакке равна длительности пауз между ними. Блок кодирования, на вход которого от датчика поступил сигнал тревоги, выдает импульсы втрое большей длительности при сохранении пауз.

Блоки кодирования построены так, что для выдачи сигнала "Норма" или "Тревога" они автоматически выстраиваются в очередь в порядке возрастания числа импульсов в сигнале. Выключение, отсутствие или неисправность какого-либо из них, из-за чего прекращается выдача импульсов, не приводит к нарушению работы других блоков кодирования. В предельном случае возможна работа даже одного блока.

Система построена на микросхемах серий К176 и К561. Для повышения помехоустойчивости амплитуда импульсов в линии выбрана равной 50 В.

Каждый из блоков кодирования (рис. 1) работает следующим образом. На его вход "Линия" от других блоков системы приходит пакет импульсов отрицательной (относительно источника напряжения +50 В) полярности амплитудой 50 В. Делитель R1R2 приводит их к нормальному для микросхем КМОП уровню. Цепь DD1.2, R5, C1 подает короткие импульсные помехи и обеспечивает импульсам пакки крутой фронт. Элемент DD1.3, диод VD1, резистор R6 и конденсатор C2 формируют импульсы отрицательной полярности, фронт которого совпадает с фронтом первого импульса в пакке на выходе элемента DD1.2, а след несколько задержан относительно спада последнего импульса пакки. Формирователь DD1.4, R7, C3 на фронту и спад импульса на выходе элемента DD1.3 вырабатывает короткий импульс положительной полярности, который, пройдя через элемент DD2.1 и DD2.2, устанавливает счетчики DD3 и DD5 в нулевое состояние. Счетчик DD5 во время паузы между пакками считает тактовые импульсы, следующую с частотой 256 Гц, измеряя таким образом длительность паузы между пакками.

Тактовые импульсы формируются кварцевым генератором на элементе DD1.1 с делителем их частоты на микросхеме DD3, что обеспечивает высокую стабильность работы системы и исключает необходимость дополнительной настройки генератора. Работа делителя DD3, входящего в генератор, синхронизирована с началом и концом пакки импульсов, поступающим на его вход R.

Если длительность паузы превышает 16 периодов тактовых импульсов, сигналом с выхода 16-считчика DD5 D-триггер DD7 2

МНОГОКАНАЛЬНАЯ СИСТЕМА ТРЕВОЖНОЙ СИГНАЛИЗАЦИИ

С. БИРЮКОВ, г. Москва

Описываемая здесь система предназначена для подачи сигналов тревоги от 12 источников, например, охранных датчиков пожарной сигнализации в садоводческих коллективах, по двум проводам на пульт индикации. Особенность системы — постоянный самоконтроль ее исправности.

устанавливается в единичное состояние (это происходит одновременно во всех блоках кодирования), после чего продолжается измерение паузы (рис. 2). И если подвижный контакт переключателя SA1 находится в положении "1", то спустя три импульса после переключения этого триггера сигнал лог. 1 с выхода 3 дешифратора DD6 включает элемент DD10.1, лог. 0 с его выхода через элемент DD2 2 устанавливает счетчик DD3, DD5 в нулевое состояние, а D-триггер DD7.1 — в единичное. Сигнал лог. 1 с прямого выхода триггера DD7 1 разрешает прохождение тактовых импульсов через элементы DD10 3 и DD4 4 на базу транзистора VT1. При этом на коллекторе транзистора формируется пачка из трех импульсов отрицательной полярности.

Нагрузкой транзистора VT1 служит резистор, находящийся в блоке декодирования и индикации (R46 на рис. 3). Счетчик DD5 считает импульсы пачки, приходящие на его вход С через элемент DD2.3

По окончании третьего импульса на выходе 3 дешифратора DD8 появляется лог. 1. Этот сигнал не включает элемент DD10.1, так как на выходе элемента DD1.3 лог. 0, и устанавливает триггер DD7.1 в нулевое состояние, что, в свою очередь, переводит триггер DD7 2 в такое же состояние. В результате блок кодирования прекращает выдачу импульсов до появления паузы в 16 импульсов, которая во всех блоках кодирования переключает триггеры DD7 2 и активизирует их работу.

В том случае, если во втором блоке кодирования переключатель SA1 установлен в положение "2", то после паузы в четыре импульса этот блок выдает пачку в четыре импульса и также прекратит работу до появления паузы в 16 импульсов. Следующим срабатывает блок, в котором переключатель SA1 находится в положении "4", и выдает пять импульсов, и т. д. Несовпадение порядка работы блоков положениям переключателей принципиально и обусловлено лишь ул-

рошением разводки печатных плат.

После срабатывания последнего блока триггеры DD7 1 всех блоков устройства запрещают выдачу импульсов. Возникает пауза в 16 импульсов, активизирующая работу всех блоков, и цикл работы устройства повторяется.

Длительность полного цикла работы всех блоков кодирования при частоте тактовых импульсов 256 Гц, чуть меньше 1 с.

Дiode VD2 включает формирователь на элементе DD1 3 в момент начала первого импульса собственной пачки блока. Без диода первый импульс пачки получается несколько большей длительности из-за задержки фронтов импульсов в формирователе на элементе DD1.2.

В зависимости от положения переключателя SA1 блок кодирования выдает от 3 до 14 импульсов в пачках. На случай нарушения контакта в переключателе введен резистор R12, обеспечивающий выдачу пачки в 15 импульсов. Если такого резистора не будет, то при нарушении контакта в переключателе возможна непрерывная подача импульсов блоком в линию, что нарушит работу системы в целом.

Так работают блоки кодирования в состоянии "Норма". Если, однако, на входе "Тревога" какого-либо блока появляется сигнал лог. 0, то триггер DD6, ранее блокированный по входу S, переходит в режим деления частоты на 2. В этом случае длительность генерируемых импульсов в пачке увеличивается в три раза при сохранении интервалов между ними, а число импульсов сокращается. Из-за отсутствия синхронизации работы триггера DD6 с моментом начала выдачи пачки первый ее импульс в режиме "Тревога" может быть как утренний, так и нормальной длительности. Если сигнал лог. 0 приходит на вход "Неисправность", то выдача

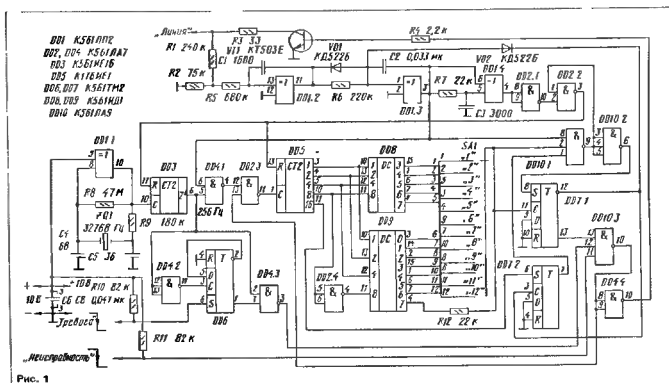


Рис. 1

импульсов этим блоком прекращается.

Схема блока декодирования и индикации приведена на рис. 3. Элементы DD4.1, DD4.2, DD1.2, DD1.3, счетчики DD2 и DD3 работают так же, как подобные детали блоков кодирования. Обнуляющие их импульсы формируются цепью C5R7 в начале приемлемой блоком пачки импульсов (рис. 4). В конце пачки формируется последовательность из двух импульсов — первый на выходе элемента DD4.3 сработает дешифраторы DD9—DD12, а следующий за ним второй устанавливает счетчики DD2, DD3, RS-триггер из элементов DD5.4, DD6.1 в нулевое состояние. После прихода пачки в счетчике DD3 будет записано число импульсов в ней, а в момент окончания пачки при сгребировании дешифраторов на соответствующих выходе дешифратора DD9 или DD10 появляется положительный импульс, который устанавливает один из 12-ти RS-триггров микросхем DD13—DD15 в единичное состояние.

После выдачи всеми блоками кодирования "своих" пачек импульсов разной длительности все 12 RS-триггров микросхем DD13—DD15 установятся в единичное состояние. При паузе, соответствующей 16 тактам, соответствующий DD3 появится лог. 1, формирующая последовательность из двух импульсов. Первый из них, возникающий на выходе элемента DD2.2, переключает состояние триггера микросхем DD13—DD18 в триггер микросхем DD19—DD24, в результате чего вспыхнут зеленые светодиоды HL1, HL2, индицируя исправность блоков кодирования и их датчиков. Второй же из этих импульсов, появившийся на выходе элемента DD8.1, установит триггеры микросхем DD13—DD18 в нулевое состояние.

В случае появления пачки импульсов утроенной длительности сигнал "Тревога" — по первому же ее импульсу срабатывает формирователь на элементе DD4.4 и диоде VD2, его выходной сигнал установит RS-триггер DD5.4DD6.1 в единичное состояние, что разрешит стробирование дешифраторов DD11, DD12. В результате после окончания пачки импульсов соответствующий триггер микросхем DD16 — DD18 установится в единичное

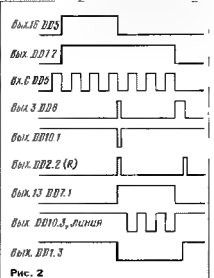
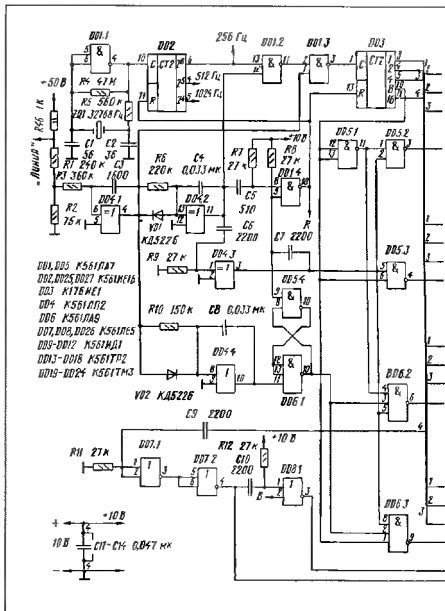


Рис. 2

состояние, RS-триггер DD5.4DD6.1 в иоходное состояние, а после паузы в 16 тактов переключится в единичное состояние один из триггров микросхем DD22 — DD24 и включит соответствующий ему красный светодиод HL13, HL24, индицирующий тревогу.

Если в каком-либо из блоков кодирования или его датчике окажется неисправность, то соответствующий ему зеленый светодиод не включится, а на резисторе R13 возникнет лог. 1. Этот сигнал переключит элемент DD26.1 в нулевое состояние, что, в свою очередь, разрешит прохождение импульсов частотой 512 Гц через элементы DD26.2, DD26.4 и транзистор VT3 к звукоизлучателю BA1. Звуковой сигнал излучателя может быть отключен тумблером SA1.

Микросхема DD25 считает импульсы, следующие с частотой 256 Гц, и устанавливается в нулевое состояние в начале каждой пачки импульсами, поступающими на входы R. Если пачки импульсов в

линии отсутствуют в течение 4 с или импульсы идут непрерывно, импульсы обнуления счетчика DD25 не вырабатываются и не его выходе формируются импульсы длительностью 4 с с таким же интервалом между ними. Теперь мигает красный светодиод HL25 "Неисправность линии", звучит головка BA1, сигнал которой также можно отключить тумблером SA1.

При нажатии на кнопку SB1 счетчик DD27 устанавливается в нулевое состояние и фиксируется в нем, так как в это время на обоих входах элемента DD6.3 присутствует лог. 0. При сигнале "Тревога" 0 с выхода элемента DD6.3 разрешает работу счетчика DD27. Импульсы частотой 1024 Гц, проходя через элементы DD26.3 и DD26.4 на звукоизлучатель BA1 — раздается звуковой сигнал, который можно отключить тумблером SA2. Если длительность сигнала "Тревога" не превышает 16 с, то после его окончания счетчик фиксируется в нулевом состоянии, что

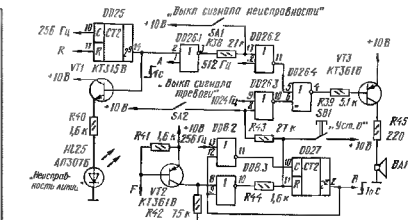
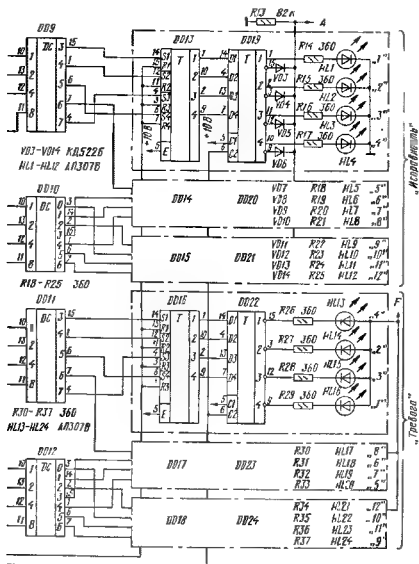


Рис. 3

обеспечивает выключение звукового сигнала при случайном срабатывании системы. При длительности сигнала "Тревога" более 16 с лог. 1 с выхода 2 счелчика DD27 запрещает дальнейший счет и

предотвращает обнуление его при снятии сигнала "Тревога". Кроме того, лог. 1 с того же выхода счелчика поступает на вход элемента DD8.1 и запрещает установку RS-триггера микросхем DD13—DD18 в

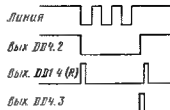


Рис. 4

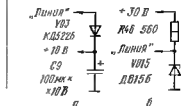


Рис. 5

нулевого состояния, что не позволяет погаснуть светодиодам, индицирующим номера сработавших датчиков, но позволяет включиться другим светодиодам. Такое состояние устройства поддерживается до нажатия на кнопку SB1.

Блоки кодирования собраны на двустороннепечатных платах размерами 55х95 мм, а блок декодирования и индикации на плате размерами 130х130 мм. Никакого налаживания блоки не требуют. Проверить же их работоспособность можно поочередным подключением блоков кодирования к блоку декодирования и сигнализации и установкой переключателей SA1 блоков кодирования в различные положения.

Ток, потребляемый одним блоком кодирования от источника стабилизированного напряжения 8...10 В, не превышает 1 мА, а потребляемый блоком декодирования и индикации от источника такого же напряжения определяется числом одновременно включенных светодиодов, а также сигналом "Тревога", и может быть 100...200 мА. От источника питания -50 В ток потребляет только резистор R46 (рис. 3), он составляет в среднем 20...25 мА.

Автором проверена работа системы при длине двухпроводной линии связи 200 м. Если для линии связи использовать экранированный провод, то можно обойтись без источника +50 В, уменьшая сопротивление резистора R46 до 330 Ом (0,5 Вт) и подключив его верхний (по схеме не рис. 3) вывод к источнику +10 В. При этом делители R1R2 во всех блоках и резистор R3 (см. рис. 1) следует исключить. Более того, по тому же проводу можно питать блоки кодирования, дополнив их элементами по схеме рис. 5, а, блок декодирования и индикации — по схеме рис. 5, б.

Линия связи необязательно должна быть проводной. Можно, например, каждый блок кодирования дополнить радиопередатчиком, манипулируемым выходным и сигналом с коллектора транзистора VT1, и радиоприемником, выходной сигнал которого через резистор R5 поступает на вход 13 элемента DD1.2, а блок декодирования и индикации — радиоприемником. Все эти радиопередатчики настраивают на одну частоту.

ПРОСТАЯ ПРИСТАВКА ДЛЯ ЗАЩИТЫ ЛАМП ФАР

В. БАННИКОВ, г. Москва

Описанное ниже устройство поможет продлить срок службы ламп фар вашего автомобиля. Это устройство проще опубликованных ранее и приспособлено для установки на автомобили прежних лет выпуска.

Уже известные читателям подобные устройства [1, 2] ориентированы главным образом на современные легковые автомобили, скажем, АЗЛК-2141, АЗЛК 21412, ВАЗ-2108, ВАЗ-2109. У этих машин корпус фары пластмассовый, а лампы фар включены в систему электрооборудования через четырехвыводный разъем, в котором использованы все четыре контакта: два — для нити дальнего и ближнего света, один — для нити габаритного огня и один — для общего провода, соединенного с корпусом автомобиля. Именно в разрыв общего провода включают токоограничительный резистор приставки (сопротивлением 0,5 Ом) и параллельно ему замыкающие контакты реле.

Установленные в обеих фарах этих машин две четырехваттные лампы габаритных огней, разумеется, также оказываются включенными через этот резистор, но на их работу он практически не оказывает влияния. Включенные габаритные лампы создают падение напряжения на резисторе всего лишь около 0,3 В.

У более старых моделей машин (например ВАЗ-2106) включение токоограничительного резистора в общий провод часто связано с очень большими трудностями, а порой вообще невозможно. Именно это обстоятельство, в первую очередь, и останавливает многих владельцев старых машин.

Выходом из этого затруднения может быть использование двух токоограничительных резисторов вместо одного. Тогда отпадает необходимость отключать от галогенных ламп общий провод.

Напомним, что в процессе работы приставка измеряет текущее падение напряжения на лампе и по результату измерения формирует временной интервал ограничения тока. Опыт показывает, что в

большинстве реальных эксплуатационных ситуаций вполне достаточно использовать простой отчет времени, прошедшего с момента включения лампы.

С учетом этих факторов была разработана простая приставка для защиты ламп фар, не содержащая микросхем (см. схему). На транзисторах VT1 и VT2 собраны два одинаковых реле времени, обеспечивающих задержку включения около 0,2 с. По схеме и работе эти реле времени аналогичны примененным в [3, рис. 1 и 2].

Токоограничительные резисторы R1 и R2 включены в разрыв проводов, идущих от переключателя света к предохранителям FU1—FU4 ламп EL1 и EL2. Принцип ограничения пускового тока ламп здесь тот же, что и в приставках, описанных в [1, 2].

Когда не включен ни дальний, ни ближний свет, фары и приставка обесточены. Если теперь включить дальний свет, ток потечет через резистор R1, предохранители FU1, FU3 и левые по рисунку нити дальнего света ламп EL1 и EL2. Одновременно начнет заряжаться конденсатор C2 через резистор R5. Приблизительно через 200 мс конденсатор зарядится настолько, что откроется транзистор VT2, сработает реле K2 и его контакты K2.1 замкнут резистор R1.

Включение дальнего света приведет к быстрой разрядке конденсатора C2 через резистор R6 и штырьчатый переход транзистора VT2, транзистор закроется, реле вернется в исходное состояние, приставка вновь готова к работе. Дiod VD2 защищает транзистор VT2 от всплеска напряжения самоиндукции обмотки реле в момент выключения. Узел ближнего света работает точно так же.

Поскольку фактическая емкость конденсатора C2 (C1) может значительно отличаться от номинальной, а также из-за раз

броса параметров транзистора VT2 (VT1) и реле K2 (K1), резистор R5 (R3) желательно подобрать так, чтобы задержка срабатывания реле была бы не менее 200 мс.

Реле K1 и K2 лучше всего применить малогабаритные автомобильные [4]. Наиболее подходящие из них 111.3747 и 113.3747. Но можно использовать и более крупное по размерам реле устаревшей конструкции, например, "жигулевское" реле фар РС-527. Подобрать подходящее реле можно по описанию в [5].

Укажем, что несмотря на простоту, приставка защищает галогенные лампы фар очень надежно, в особенности их более напряженные по тепловому режиму нити дальнего света. Объясняется это тем, что в отличие от описанных в [1, 2] эта приставка срабатывает и при пользования ключом подрулевым выключателем дальнего света. Правда, темп "подмигивания" водителям попутных или встречных машин, а также нетерпеливым или невнимательным пешеходам не может быть слишком высоким (чаще 5 Гц), иначе эти мигания будут плохо различимы.

Проволочные резисторы R1 и R2 можно наматывать рядом на общем цилиндрическом основании диаметром 10...15 мм из керамики отожженной никромовой проволокой диаметром 1 мм, для каждого резистора требуется отрезок проволоки длиной 300...350 мм. В качестве материала основания годятся обожженная глина, пороса, отрезанная от кафельной плитки, узкая пластина из плоской многослойной слюды и даже металлический стержень или полоса, обмотанные листовым асбестом.

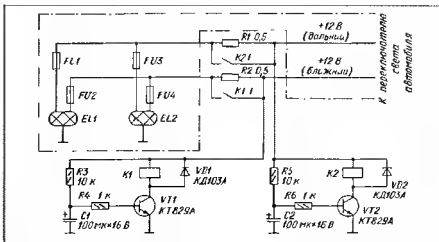
Проволоку тоньше 1 мм применять не следует, поскольку при неподдачке к этому резистору будет приложена мощность 30...50 Вт, что вызовет его значительный нагрев. Поэтому же витки проволоки спиралью нужно укладывать с некоторым зазором, а при монтаже резистора принять все меры, чтобы ни при каких условиях он не стал причиной пожара.

Остальные резисторы: — ОМЛТ-0,125, МЛТ-0,125 или ВС-0,125. Оксидные конденсаторы C1 и C2 рекомендуются использовать наиболее "морозостойкие" серии (например, ЭТО, К52, К53). Дiodы КД103А можно заменить на КД103Б; подойдут диоды из серий КД105, КД208, КД209, КД226, ДД26.

Транзисторы КТ829А заменимы любыми из этой серии; годятся также транзисторы серий КТ834 и 21834 (со статическим коэффициентом передачи тока не менее 400), КТ827, 21827, КТ972. Если же приобрести указанные составные транзисторы не удалось, можно использовать пары, составленные, допустим, из малоомного транзистора серии КТ315, КТ3102, КТ503 и мощного — серии КТ815, КТ817, желательно выбрать наиболее высоковольтные из них по напряжению коллектор-эмиттер.

ЛИТЕРАТУРА

1. Банныков В. Защита ламп фар. — Радио, 1993, № 7, с. 33, 34.
2. Банныков В., Варюшин А. Приставка для защиты ламп фар. — Радио, 1994, № 9, с. 31, 32.
3. Банныков В. "Голос" моей машины. — Радио, 1994, № 11, с. 32, 33.
4. Банныков В. Малогабаритные автомобильные электронные реле. — Радио, 1994, № 9, с. 42, № 10, с. 41.
5. Банныков В., Колосов И. Электронные реле. — За рулем, 1994, № 6, с. 48, 47.



«ЭЛЕКТРОННЫЙ БЛОК ЭКОНОМАЙЗЕРА НА K548УН1»

А. МАСЛОВ, г. Сурск Пензенской обл.

Под таким заголовком в "Радио", 1994, № 5 на с. 35, 36 была опубликована статья Ю. Рунова, в которой автор предложил интересный вариант схемы этого устройства. Однако при попытке собрать экономайзер возникли некоторые проблемы, результатом разрешения которых и явилась изображенная на рис. 1 модернизированная схема электронного блока, более надежного в эксплуатации и более простого в налаживании. Некоторые принципиальные изменения пояснения на требуют, а на остальных следует остановиться подробнее.

Конденсатор С2 заменен другим, емкостью 0,01 мкФ. Дело в том, что одновибратор, собранный на усилителе DA1.1, должен обеспечить постоянно уменьшающееся напряжение на конденсаторе С3 с увеличением частоты вращения коленчатого вала двигателя вблизи частоты срабатывания экономайзера. Но длительность импульса с выхода одновибратора слишком рано становится сравнимой с длительностью периода следования запускающих импульсов, из-за чего происходит ненужный подъем напряжения на частоте вращения около 2500 мин⁻¹ почти до уровня срабатывания компаратора, собранного на усилителе DA1.2. Это приводило к нестабильности в работе экономайзера.

Емкость фильтрующего конденсатора С3 уменьшена до 10 мкФ, так как при емкости этого конденсатора в исходном блоке в 50 мкФ задержка срабатывания экономайзера была слишком большой — около 5 с. Необходимой фильтрации напряжения управления компаратором легко достигнуть включением конденсатора между выходом усилителя DA1.2 и его инвертирующим входом (С6 не схеме рис. 1).

Максимально допустимый выходной ток каждого усилителя микросхемы K548УН1 3 мА, поэтому для надежного срабатывания соленоида У1 клапана выходные транзисторы VT1 и VT2 я включил по схеме составного транзистора. В исходном варианте пришлось бы подобрать выходной транзистор VT2 со статическим коэффициентом передачи тока 100 и более, что для многих радиолюбителей — задача не из легких.

Предложенная Ю. Руновым система защиты выходного транзистора от перегрузки при случайном замыкании выхода блока на корпус, по моему мнению, не эффективна, поскольку на исключает порчи транзистора. В предлагаемом варианте блока для защиты экономайзера от возможных замыканий использован простой предохранитель на 0,5 А, что вполне оправдано, поскольку максимальный до-

пустимый ток выходного транзистора VT2 более чем в 10 раз превышает ток, при котором перегорает предохранитель, а резистор R13 ограничивает этот ток на допустимом уровне на время перегорания предохранителя.

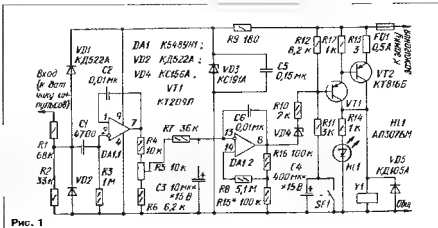


Рис. 1

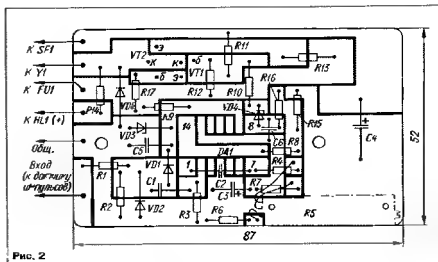


Рис. 2

пустимый ток выходного транзистора VT2 более чем в 10 раз превышает ток, при котором перегорает предохранитель, а резистор R13 ограничивает этот ток на допустимом уровне на время перегорания предохранителя.

В компаратор введен делитель напряжения на резисторах R15, R16. Это сделано для того, чтобы облегчить настройку компаратора на нужную величину "гистерезиса" подборкой резистора R15. Кстати, при отсутствии делителя и резисторе R8 номиналом 15 МОм на испытательном экземпляре микросхемы K548УН1 "гистерезис" превысил 10 Гц, что в 5 раз больше ожидаемого.

Для модернизируемого блока предлагается и новый вариант печатной платы (рис. 2). Она изготовлена по простой

технологии, более подходящей для единичного изделия. Надежность такой — резанной платы выше, чем традиционной, травленной. Детали нужно паять непосредственно к печатным проводникам, не сверля отверстий. Подстроечный резистор R5 — СП5-1А. После монтажа всех элемен-

тов и налаживания блока плату следует покрыть эпоксидным лаком.

О налаживании экономайзера подробно рассказано в статье Ю. Рунова.

МОДУЛЬНАЯ РЕКЛАМА

ПТК-ПОЗЫВНОЙ продает радиодетали для сборки любительских радиостанций: РН-1/М-АМ 180 м; РН-3/М-SSB 160м; РН-3ЕМ 3-х диапазонов, 160,80,82 м; РН-5/М-ЧМ 10м; РН-7-частотомер; РН-13/М-ЧМ 2м; РН-17-телекамера. Программируем БИС ППЗУ (м/с кооператива РЕЗ; РТ4.5, 537РФ2.5). Наш адрес: 603005, г. Н.Новгород, а/я-94, тел./факс (8312) 32-46-53. Для ответа вкладывать конверт.

МОДУЛЬНАЯ РЕКЛАМА

СОПРЯЖЕНИЕ ОПТОПАР С МИКРОСХЕМАМИ КМОП

А. МИХАЙЛОВ, г. Алма-Ата, Казахстан

Применение микросхем структуры КМОП в самой различной аппаратуре весьма привлекательно из-за их высокой экономичности по питанию. Однако при разработке различных устройств автоматики и каналов передачи информации часто возникают трудности в сопряжении приемников инфракрасного излучения и оптопар с указанными микросхемами. О характера этих трудностей и путях их преодоления рассказано в помещенной ниже статье.

Входной ток высокого и низкого уровня микросхем КМОП существенно меньше одного микроампера, поэтому целесообразно при сопряжении фотодиода оптопары с логическим элементом (рис. 1) резистор R1 выбрать высоким, что позволит управлять микросхемой при меньшем входном токе I_{ex} оптопары. На практике такие узлы оказались ненадежными в работе из-за тиристорного эффекта в микросхемах структуры КМОП [1], который возникает вследствие перехода фотодиода оптопары U1 при облучении на фотодиодном режиме в генераторный ток, генерируемого фотодиодом, оказывающегося достаточно для создания на нем положительного напряжения анод-катод. Напряжение на входе микросхемы DD1.1 при этом может превышать напряжение источника питания U_{DD1} на значение фотоздс U_{ph} , если пренебречь влиянием входных защитных диодов микросхемы. Диоды ограничивают это превышение на уровне падения напряжения на открытом диоде, что близко к предельно допустимому режиму микросхем [2].

С точки зрения обеспечения надежности узла работа в таких режимах нежелательна, из-за чего некоторые авторы (например [3]) рекомендуют ограничить допустимый интервал входного напряжения так, чтобы оно не выходило за пределы напряжения питания.

Как правило, I_{ex} определяют по передаточной характеристике оптопары $I_{ex} = f(I_{ph})$ для максимальной плюсовой температуры, когда коэффициент передачи K оптопары минимален. Поэтому при низких значениях температуры из-за увеличения K генераторный режим фотодиодов неизбежен. Такой же результат получается при отсутствии передаточной характеристики, когда I_{ex} оптопары рассчитывают по K_0 , указанному в справочниках как минимальное гарантированное значение.

Выбор сопротивления резистора R1 и тока I_{ex} оптопары, который бы исключал уход в генераторный режим, приводит к малым значениям сопротивления R1 и большому входному току I_{ex} оптопары, а это, в свою очередь, является причиной повышенного потребляемого тока.

Для реализации устройств с минимальным токопотреблением можно подключить вход микросхемы через резистивный делитель напряжения так, как показано на рис. 2, где резистор R1 выбирают таким, чтобы при освещенном фотодиоде оптопары U1 падение напряже-

ния на нем U_{R1} компенсировало напряжение фотодиода в генераторном режиме с небольшим превышением:

$$R1 > U_{ph} / I_{ex} = 0,8 \text{ В} / I_{ex} \quad (1)$$

где I_{ex} — выходной ток освещенного фотодиода оптопары, рассчитываемый из условия обеспечения максимального значения входного напряжения высокого уровня микросхемы $U_{DD1, max}$ формируемого на резисторе R2:

$$I_{ex} = U_{DD1, max} / R2 - U_{ph} / R2 \quad (2)$$

Резистор R2 выбирают из условия обеспечения на нем входного напряжения низкого уровня микросхемы $U_{DD1, min}$ при протекании выходного обратного темнового тока фотодиода $I_{ph, obs}$ и входного тока низкого уровня микросхемы I_{ob} :

$$R2 < U_{DD1, min} / (I_{ob} + I_{ph, obs}) \quad (3)$$

где p — число подключенных входов микросхем.

Так как фото ЗДС фотодиодов чаще всего не превышает 0,8 В [4], при любом запасе по входному току оптопары вход микросхемы будет надежно защищен от тиристорного эффекта делителем R1R2. Заметим здесь, что слишком высокие делители вносят ограничения на скорость передачи информации по оптрону каналу. Длительность спада t_{sp} входного сигнала логического элемента DD1.1 (рис. 2) от уровня $U_{DD1, min}$ до входного порогового напряжения низкого

уровня микросхем $U_{DD1, пор}$ определен временем разрядки входной емкости элемента через резистор R2

Длительность фронта $t_{ф, пор}$ входного сигнала элемента от наименьшего значения напряжения низкого уровня $U_{DD1, min}$ до входного порогового напряжения высокого уровня $U_{DD1, пор}$ связана с протеканием тока фотодиода через резистор R2, а также с ответвлением части этого тока для зарядки входной емкости элемента микросхемы. Чем больше I_{ex} , тем меньше $t_{ф, пор}$.

Максимальные значения $t_{ф, пор}$ и t_{sp} должны соответствовать требуемому быстродействию оптронного канала, а также быть не более 5...15 мкс для обеспечения нормальной работы микросхем структуры КМОП. При I_{ob} равном 0,3 I_{DD1} , значение t_{sp} будет связано с сопротивлением резистора R2 соотношением

$$t_{sp, max} = R2 C_{in} \ln(U_{DD1, max} / U_{DD1, пор}) = 1,2 R2 C_{in} \quad (4)$$

где C_{in} — емкость одного входа микросхемы, подключенного к делителю R1R2.

При изменении входного напряжения микросхемы от $U_{DD1, min}$ до $U_{DD1, пор}$ [3] фотодиод находится в фотодиодном режиме, в котором K_0 , следовательно, и I_{ex} оптопары слабо зависят от выходного напряжения [4]. Тогда в этом интервале напряжения фотодиод можно рассматривать как генератор тока и с помощью теоремы об эквивалентном генераторе нетрудно показать, что для значения I_{ex} выбранного по ф-ле (2), $t_{ф, пор}$ равно $t_{ф, пор, T}$.

$$t_{ф, пор} = 1,2 R2 C_{in} \quad (5)$$

Поскольку I_{ex} зависит от температуры T , то для сохранения работоспособности узла в рабочем температурном интервале необходимо выбрать входной ток оптопары для максимальной плюсовой температуры, воспользовавшись зависимостью $I_{ex} = f(I_{ph}, T)$. Тогда при меньших значениях температуры вследствие увеличения I_{ex} в соответствии с характеристиками оптопар требуемое быстродействие оптронного канала будет гарантировано.

При отсутствии графиков $I_{ex} = f(I_{ph}, T)$ для определения I_{ex} можно воспользоваться коэффициентом K_0 , однако рабочий температурный интервал узла сопряжения в этом случае будет таким же, как и у оптопары. Входной ток оптопары I_{ex} для микротокowego режима целесообразно определять с учетом обратного темнового тока фотодиода [5], используя K_0

$$I_{ex} = (I_{ph} - I_{ph, obs} \text{ при } T) / K_0 \quad (6)$$

Запас по входному току при этом получается из-за технологического разброса изготовления оптопар и увеличения коэффициента K_0 реальных температурных условиях эксплуатации. Рекомендуется увеличивать значение I_{ex} , полученное по графикам $I_{ex} = f(I_{ph}, T)$, на 30% для компенсации оптопар от деградационных процессов [5]. Значительное увеличение I_{ex} целесообразно, так как это может привести к задержке начала выключения фотодиода. Искажение длительности импульсов при этом достигает единиц микросекунд.

Практически расчет узла сопряжения

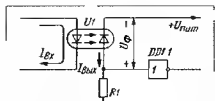


Рис. 1

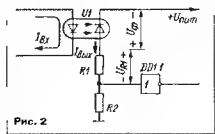


Рис. 2

следует начинать с определения сопротивления резистора R2 из условия (4), задавшись требуемым значением $I_{\text{от, топ}}$:

$$R2 = I_{\text{от, топ}} / (I_2 - C_{\text{н}} \cdot n) \quad (7)$$

Затем для заданного температурного интервала проверяют выполнение условия (3). Если оно не выполнено, резистор R2 необходимо выбрать, руководствуясь только условием (3). Далее по формулам (2), (1) определяют $I_{\text{н, в}}$ и R1, после чего выбирают $I_{\text{н, в}}$.

Если после расчетов делитель R1R2 получится недостаточно высоким и фотодиод в освещенном состоянии из-за значительного тока, отдаваемого в делитель, будет генерировать U_0 менее 0,8 В, это может привести лишь к снижению уровня сигнала на входе микросхемы на некоторое напряжение

$$U = 0,8 \text{ В} - U_0 \quad (8)$$

На надежности передачи информации рассматриваемым узлом это не отразится, даже если значение U_0 окажется равным нулю, так как напряжение на входе микросхемы при этом не будет ниже $U_{\text{н, топ}}$ равного 0,7 $U_{\text{н, в}}$ относительно микровывода источника питания [3].

Для получения инвертированного сигнала на выходе логического элемента узел можно собрать по схеме, показанной на рис. 3. В этом случае делитель R1R2 будет защищать вход микросхемы от мину-

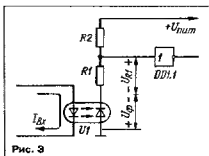


Рис. 3

сового напряжения, возникающего также из-за U_0 . Нумерация резисторов на рис. 3 выбрана такой, чтобы можно было воспользоваться для расчетов теми же формулами, если справочные значения входного тока высокого и низкого уровней микросхемы одинаковы.

Из условий (3), (5) следует, что с целью повышения быстродействия описанных узлов и получения высокого делителя R1R2 целесообразно подключать к фотодиоду не более одного входа (т. е. $n=1$) с минимальным значением $C_{\text{н}}$ (это, например, микросхемы 564ЛН1, 564ЛЕ10, 564ЛА9, 564ЛЕ10, у которых $C_{\text{н}}$ не более 5 пФ), а также использовать низкоомные питание микросхем.

Описанные схемные решения по сравнению с узлами, реализованными на тран-

зисторных оптопарах, позволяют получить в несколько раз меньше задержки при передаче импульсов и примерно в десять раз меньше искажения длительности этих импульсов, так как в них практически отсутствует задержка, обусловленная временем рассасывания заряда.

При изготовлении рассмотренных узлов сопряжения необходимо принять меры к уменьшению емкости монтажа, поскольку она прибавится к входной емкости микросхемы. В этом плане определенные перспективы представляет интегральное исполнение оптоэлектронного переключателя КМОП, аналогичного переключателям серий К249, К262, 293. Экспериментальную проверку параметров узла сопряжения следует проводить с учетом влияния входных параметров приборов, подключаемых к его цепям между выходом оптопары и входом микросхемы КМОП.

ЛИТЕРАТУРА

1. Хоровиц П., Хилл У. Искусство схемотехники, т. 1 — М.: Мир, 1983, с. 591.
2. Хоровиц П., Хилл У. Искусство схемотехники, т. 2 — М.: Мир, 1983, с. 10.
3. Шварц В. Полупроводниковые КМОП-Осцилляторы — М.: Радио и связь, 1993, с. 11.
4. Иванов В., Аksenov A., Юшин A. Полупроводниковые оптоэлектронные приборы. Справочник — М.: Энергоинформат, 1988, с. 321.
5. Носов Ю., Сидоров A. Оптоны и их применение — М.: Радио и связь, 1981, с. 59, 62, 72.

УСТРОЙСТВО ДИНАМИЧЕСКОЙ ИНДИКАЦИИ

А. ГЛОТОВ, г. Самара

Принцип динамической индикации хорошо известен [1, 2] и широко применяется для многоразрядных цифровых индикаторов, а также в многоканальных аналоговых устройствах отображения информации. Главные его достоинства — использование цифровых микросхем, способствующих уменьшению объема узла управления цифровыми индикаторами и числа проводников, соединяющих его с индикаторами. Однако выигрыш в количестве микросхем происходит при числе

разрядов более пяти. Например, в [3] описан вариант устройства динамической индикации с применением сдвигающего регистра, который позволяет сократить число используемых микросхем.

Здесь предлагается устройство динамической индикации с меньшим числом микросхем. Достичь этого удалось, используя регистры, имеющие выходные буферы с высокоимпедансным состоянием (Z). Применение общей шины данных в вычислительной технике общезвестно, но примеров использования ее в индикаторных устройствах автор не встречал.

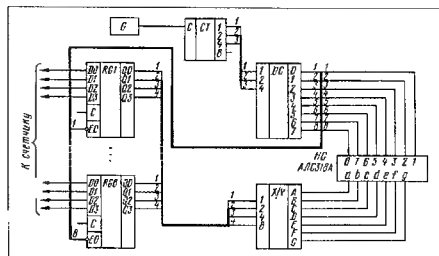
Рассмотрим функциональную схему на примере использования девятиразрядного семисегментного индикатора АЛС318А. Входы регистров RG1 — RG8 подключены, например, к выходам декадных счетчиков цифрового частотомера. После окончания времени счета результат измерения записывается в регистры. Генератор G вырабатывает импульсы с частотой около 1 кГц, которые поступают на вход С счетчика СТ. Его выходы подключены к управляющим входам регистров RG1 — RG8 и к входам дешифратора DC, а катоды индикатора АЛС318А соединены с соответствующими выходами дешифратора. Регистры должны переключаться в высокоимпедансное состояние при высоком уровне на управляющем входе.

Выходы соответствующих разрядов регистров соединены в шину и подключены к входам преобразователя X/Y, формирующего коды для сегментов индикатора. В течение цикла адреса регистров RG1 — RG8 сигналы с их выходов поочередно поступают на входы преобразователя кодов, а дешифратор DC, соединяя с общим проводом один из катодов индикатора, высвечивает на индикаторе цифру соответствующего разряда индикатора.

В устройстве динамической индикации применимы микросхемы серий К555, КР1533. Например, в качестве счетчика СТ могут использоваться КР1533ИЕ2, К555ИЕ2, а дешифратор DC — К555ИД10. Регистры — К555ИР15, КР1533ИР34, преобразователь кода — микросхема КР154ИД1.

ЛИТЕРАТУРА

1. Бирюков С. Динамическая индикация — Радио, 1979, № 12, с. 26.
2. Бирюков С. А. Цифровые устройства на интегральных микросхемах. — М.: Радио и связь, 1987.
3. Бирюков С. Цифровая шкала. — Радио, 1962, № 11, с. 18.



КАК УМЕНЬШИТЬ ПУЛЬСАЦИИ БЛОКА ПИТАНИЯ

И. ЛОСКУТОВ, г. Томск

За последние примерно 12 лет в "Радио" под рубриками "Источники питания" и "Радиоленточного-конструктора" основное внимание уделялось способам питания управляющего элемента в стабили-

зационного блока питания УПТ строго постоянным (непульсирующим) напряжением не нова. Но ею обычно не пользуются, полагая, что понадобится еще одна понижающая обмотка сетевого трансформатора,

тания УПТ, реализация которого достигается включением в блок питания двух диодов и одного конденсатора. На схеме рис. 1 эти детали выделены цветом. Поскольку УПТ потребляет малый ток, то конденсатор C2 может быть сравнительно небольшой емкости, а диоды VD5 и VD6 маломощные. По сути, образуются два мостовых выпрямителя. Один из них — основной — на диодах VD1 — VD4. Второй выпрямитель, образованный диодами VD1, VD3, VD5 и VD6, предназначен для питания УПТ.

Такой способ снижения пульсаций выходного напряжения блока питания на практике зарекомендовал себя как весьма эффективный. Уровень пульсаций практически не зависит от тока нагрузки. Необходимо только грамотно выполнить монтаж, чтобы избавиться от наводок.

Если основной выпрямитель блока питания двухполупериодный со средней точкой, то сам выпрямитель, объединенный на рис. 1 штрихпунктирными линиями, может быть выполнен по схеме, изображенной на рис. 2.

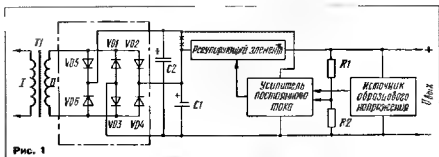


Рис. 1

заторах напряжения компенсационного типа. Анализ публикаций привел к выводу, что в подавляющем большинстве случаев усилитель постоянного тока (УПТ) питается входным напряжением стабилизатора [1, 2].

Особого внимания, на мой взгляд, заслуживает двухполлярный стабилизатор напряжения, описанный в [3]. Он, считаю, более предпочтителен, так как в отличие от предлагаемого способа не требует для питания УПТ дополнительных диодов и конденсаторов. Для этой цели используется выходное (стабилизированное) напряжение канала противоположной полярности.

Однако в случае конструирования однополярного блока питания, для более полного сохранения его достоинств, необходим дополнительный источник питания управляющего элемента. Вот тут и возникают проблемы. Где его взять? Где использовать дополнительную обмотку сетевого трансформатора или, может, батарею гальванических элементов? Есть простой и надежный способ решения этих проблем...

Традиционно УПТ сигнала рассогласования питают пульсирующим напряжением, снимаемым с фильтрующего конденсатора C1 выпрямительного моста VD1—VD4 (рис. 1), что является решающим фактором резкого увеличения пульсаций выходного напряжения по мере роста тока нагрузки. Идея уменьшения пульсаций

в это в большинстве случаев не выгодно. Хочу предложить простой способ пи-

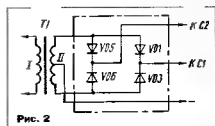


Рис. 2

ЛИТЕРАТУРА

1. Каньгин С. Стабилизатор для питания цифровых микросхем. — Радио, 1981, № 9, с. 79.
2. Столяк А. Экономичный стабилизатор с системой защиты. — Радио, 1987, № 6, с. 58, 59.
3. Тарогин Ю. Двупольный стабилизатор напряжения. — Радио, 1981, № 9, с. 63.

ДОСКА ОБЪЯВЛЕНИИ

РАДИОСВЯЗЬ ДЛЯ СЛУЖБЫ, ОТДЫХА И БЫТА!

Связь без проблем!

ПЕЙДЖЕРЫ,
МИНИ-АТС
и другое
телефонное и
радиоборудование

Гарантия 1 год
Все виды
систем



Комплексное решение
проблем радио
и телефонной связи
Выезд на АТС

РАДИОСТАНЦИИ
Безовые
автомобильные
портативные
Диапазон
СВ (27МГц)
УКВ (130-174МГц)

СПЕЦИАЛЬНЫЕ МОРСКИЕ РАДИОСТАНЦИИ
Судовые, портативные, непортативные

Москва, ул. Ткацкая, 1 Предлагается на работу специалисты в области радиосвязи



Москва: (095) 962-9200, 962-9201
С-Пб.: (812) 535-3875, 535-2946
Корсаков: (42435) 232-44

GAMMA

Санкт-Петербург

Тел. (812) 532-4383, тел./факс (812) 531-1402, E-Mail: postmaster@eogamma.spb.su

Дистрибьютор по электронным компонентам



Microchip

Единственный официальный
дистрибьютор в России

Весь спектр продукции фирмы на заказ и со склада
по ценам фирмы!
Постоянное наличие однокристальных ЭВМ серии PIC16/17,
а также EEPROM I2/C, 3-wire, 4-wire, parallel EEPROM.
Контроллер потребления энергии электродвигателей.
ПЗУ с ультрафиолетовым стиранием

Микросхемы для телефонии, компьютеров,
звуковые генераторы, синтезаторы мелодий,
синтезаторы голоса. Статическая память (SRAM),
быстрая статическая память, микропроцессоры.



Официальный дистрибьютор
в России



Официальный дистрибьютор
в России

Семейство микроконтроллеров Z8: для инфракрасного ДУ,
Контроллеры для автоответчиков, телевизионные цифровые
контроллеры, микросхемы для радиотелефонов.
Цифровые сигнальные процессоры, факс/модем контроллеры,
полный набор контроллеров по обслуживанию периферии

Программируемые логические матрицы,
FLEXlogic, PAL, GAL, EPLG, FPGA.



Официальный дистрибьютор

Продукция для отраслей промышленности
телекоммуникации, автомобилестроения,
промышленное производство, продукция массового спроса.
Процессоры и периферия, память, АЦП, транзисторы,
тиристоры, диоды, микросхемы FIFO.



SGS-THOMSON
MICROELECTRONICS

Официальный дистрибьютор



intel.



Изделия для рынка персональных компьютеров:
микропроцессоры; контроллеры прерываний, изделия
для коммуникаций, процессоры и сопроцессоры,
периферийные микросхемы, флэш-память, семейство MCS-51,
MCS-96, программируемые логические устройства.

Постоянное наличие более 500 популярных позиций, полных аналогов отечественных

Широкий выбор технической литературы, программных и аппаратных средств отладки

Поставка опытных партий компонентов, программа поддержки разработчиков.

Поскольку наличие на складе выросло в употреблении микросхем по ценам ниже рыночных.

Ждем Вас на выставке "Комтек-96" с 22 по 26 апреля. Стенд N 5611.

Наш адрес: С-Петербург, Гражданский пр. 111, офис 427, мест. тел. 245.

ЛОСКА ОБЪЯВЛЕНИИ

ПРОГРАММАТОР НАСТРОЙКИ В УКВ ПРИЕМНИКЕ

Число радиостанций в УКВ диапазонах повсеместно неуклонно растет. В связи с этим остро встает вопрос о совершенствовании приемной техники. Известно, что при нескольких одновременно работающих радиостанциях обзор их программ с перестройкой из одного конца диапазона в другой с тщательной настройкой на каж-

дую позволяет запомнить частоты восьми радиостанций и вызывать их нажатием всего одной кнопки. Каждое последующее нажатие кнопки переключает приемник на последующую запрограммированную радиостанцию. После прослушивания последней очередное нажатие кнопки выбора автоматически переводит программа-

выходов двоично-десятичного дешифратора на микросхеме DD3. К выходам микросхемы подключены делители напряжений, состоятельные из резистора R24 и одного из подстроечных резисторов R17 — R23 (в положении счета "7" и "8" с дополнительными резисторами R15 и R16). Подстроечные резисторы выбраны из расчета удобства настройки на каждую конкретную радиостанцию, поэтому в низкочастотном участке диапазона применены резисторы с сопротивлением 2,2 кОм, а в высокочастотном — 4,7 кОм.

При приходе девятого импульса низкий логический уровень формируется на выходе 10 микросхемы DD3, происходит разрядка конденсатора C2 и закрытие транзистора VT1. Счетчик при этом переходит в исходное состояние (состояние с индикацией "0"), и начинается следующий цикл последовательного счета.

На микросхеме DD3 выполнен преобразователь десятичного кода в код, обеспечивающий работу сегментной светодиодной матрицы HG1, отображающей состояние программатора.

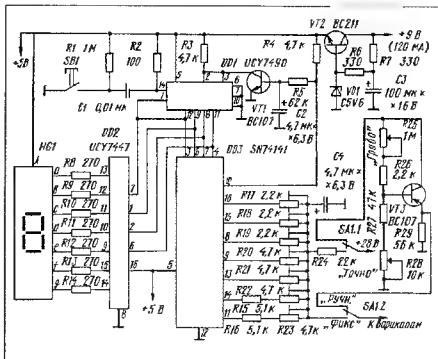
Устройством предусматривается и вариант ручной настройки УКВ тюнера. В этом случае в положении переключателя SA1 "Ручн" напряжение +26 В подается на устройство, выполненное на транзисторе VT3. Выходное напряжение можно регулировать в широких пределах (грубая настройка) переменным резистором R25 и более плавно (точная настройка) переменным резистором R28.

На транзисторе VT2 выполнен стабилизатор питания +5 В для питания микро-

Z.Nowak. Jeszcze raz piersienicowy programator UKF. "Radioelektronik", 1995, № 9, с.34—35

Примечание редакции. В конструкции устройства вместо рекомендованных можно применять отечественные микросхемы DD3 — K155IE2, DD1 — UCY7447 — K154ID2, DD2 — SN74141 — K155ID1. При использовании микросхемы K155ID1 следует иметь в виду, что в качестве VT1 потребуется применить транзистор структуры p-n-p (например KT3616) с подключением вывода эмиттера к шине +5 В, а резистора R3 с сопротивлением 330 Ом — к общей шине питания. В целях безопасности транзистора при согласовании резистора R5 потребуется уменьшить до 2,2 кОм.

Транзистор BC107 можно заменить на KT315B, а BC211 — на KT607B. В качестве светодиодной матрицы следует использовать АЛС3245



дую, а потом и возврат на заинтересовавшую, требует значительного времени и терпения. Как выход из положения, был предложен вариант фиксирования настроек с отдельным кнопочным переключателем. Но число таких настроек в промышленных конструкциях тюнеров, если не считать современных цифровых синтезаторов, не превышает 3—4.

Предлагаемый программатор для УКВ приемника с вариативной настройкой по-

тор в состоянии прослушивания первой из запрограммированных радиостанций. Таким образом, каждая из них имеет свой первоначальный условный цифровой код, зная который, очень легко и быстро вызывать желаемую станцию.

Схема устройства приведена на рисунка. На микросхеме DD1 выполнен счетчик импульсов, формируемых при нажатии кнопки SB1. Каждому очередному импульсу соответствует определенный состояние

ОБМЕН ОПЫТОМ

УСТРАНЕНИЕ СБООВ В ЛПМ "ВИЛЬМА МП-207С"

В некоторых экземплярах магнитофона-приставки "Вильма МП-207С" наблюдается такой эффект: ЛПМ-Б из режима перемотки или при попытке включить режим воспроизведения самопроизвольно переходит в состояние, напоминающее режим рабочего кода. Однако он отличается тем, что головки и при-

жимной ролик не подходят к ленте, а последняя движется со скоростью, примерно вдвое превышающую номинальную. Поиск какого-либо неисправного элемента может отнять много времени и окончиться неудачей, поскольку дефект проявляется периодически, а режимы элементов схемы по постоянному току в данном случае не имеют отклонений и соответствуют режиму "Рабочий код".

Для полного устранения неисправности рекомендуется подключить конденсатор емкостью 470...4700 пФ между вы-

водом 5 элемента DD2 1 блока коммутатора и корпусом (см. альбом схем, лист 11), при этом прекращается воздействие на тактовый вход триггера DP4 импульсных помех, которые и приводили ранее к сбоям в работе устройства.

Следует отметить, что в магнитофоне более ранних выпусков для этой цели служил конденсатор C17, впоследствии исключенный заводом-изготовителем.

П. КУЗНЕЦОВ
г. Ижевск, Удмуртия

МИКРОСХЕМА K174XA35

Микросхема K174XA35 — безындуктивный стереодекодер комплексного стереофонического сигнала с полярной модуляцией. Микросхеме предназначена для работы в переносных радиоприемных устройствах всех групп сложности с диапазоном УКВ. Она выполнена по планарно-эпитаксиальной технологии на биполярных транзисторах с изоляцией элементов обратносмещенными p-n переходами.

В паре с микросхемой K174XA34 [1] образует стереофонический радиоприемник.

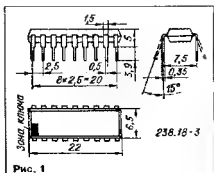


Рис. 1

Поднесущая частота восстанавливается с помощью системы ФАПЧ.

Микросхема K174XA35 имеет также ряд дополнительных функциональных возможностей: индикацию режима "Сtereo"; адаптацию к условиям приема, т. е. автоматическое переключение режимов "Моно", "Сtereo" в зависимости от вида принимаемого сигнала; автоматический переход из режима "Моно" в режим "Сtereo" при достижении необходимого уровня отношения сигнал/шум; автоматическое переключение в режим "Моно" при уменьшении напряжения питания ниже 4,2 В; возможность ручного переключения в режим "Моно" с целью обеспечения экономичного режима работы.

Стереодекoder, построенный на микросхеме K174XA35, позволяет при использовании соответствующих компонентов получить разделение стереоканалов до 60 дБ.

Микросхема конструктивно оформлена в полимерном корпусе 238.18-3 (рис. 1). Упрощенная структурная схема стереодекодера показана на рис. 2, а типовая схема его включения — на рис. 3. Цоколевка микросхемы: 1 — общий вывод, минусовой вывод питания; 2 — подключение частотосадающей цепи к ГУН; 3 — подключение фильтра нижних частот систе-

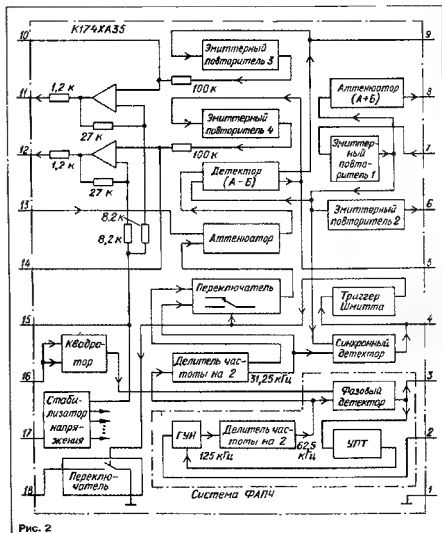


Рис. 2

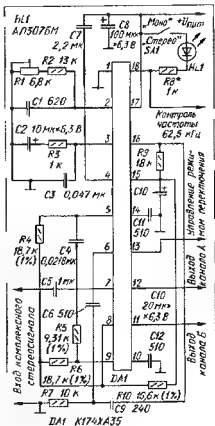


Рис. 3

мы ФАПЧ; 4 — подключение ФНЧ к переключателю режимов; 5 — подключение корректирующего фильтра к усилителю в цепи разностного сигнала (А Б); 6 — подключение ФВЧ; 7 — вход комплексного стереофонического сигнала; 8 — выход суммарного сигнала (А+Б); 9 — подключение корректирующего фильтра в канале разностного сигнала (А Б); 10 — подключение ФНЧ канала В; 11 — выход канала В; 12 — выход канала А; 13 — управление переключением режимов; 14 — подключение ФНЧ канала А; 15 — подключение блокирующей цепи; 16 — вход квадратора; 17 — плюсовой вывод питания; 18 — подключение индикатора режима "Сtereo"; контроль частоты 62,5 кГц.

Стереодекoder работает по так называемой суммарно-разностной системе, без восстановления формы полипримодулированных колебаний, с временным разделением каналов [2-6]. Для детектирования надтонального сигнала (А Б) используется система ФАПЧ с квадратом не входе и делителем частоты на два на выходе. С помощью системы ФАПЧ происходит регенерация поднесущей частоты, которая затем используется для детектирования.

Продетектированный детектором разностного сигнала (А Б) надтональный сигнал с выв. 5 и 9 подается на внешний корректирующий RC-фильтр с постоянной времени $\tau = 1,0186$ мкс. Разностный сигнал смешивается с суммарным, поступающим на корректирующий фильтр синфазно через аттенуатор (А+Б) с выв. 8.

* Квадратор — умножитель сигналов, выходы которого объединены. В результате этого выходной сигнал пропорционален квадрату входного.

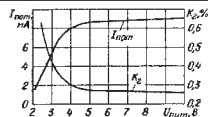


Рис. 4

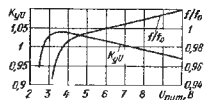


Рис. 6

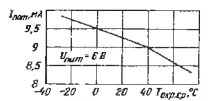


Рис. 8

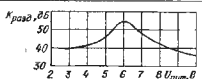


Рис. 5

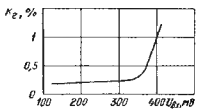


Рис. 7

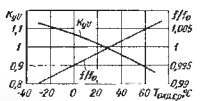


Рис. 9

В результате на выводе 9 формируется сигнал канала Б, а на выв.5 — канала А. Далее эти сигналы проходят коррекцию РС-цепями постоянной времени $\tau = 50$ мкс ($R = 100$ кОм, $C = 510$ пФ) и усиление. Для разделения корректирующих цепей и усиления их взаимного влияния в микросхеме предусмотрены эмиттерные повторители 3 и 4.

Для регенерации поднесущей частоты разностный сигнал и остаток поднесущей, содержащиеся в комплексном сигнале (подводим к выв. 7), с выхода эмиттер-

ного повторителя 1 проходит эмиттерный фильтр 2 и внешний корректирующий фильтр 3. Далее сигнал поступает на вход квадратора (выв. 16) с тем, чтобы получить составляющую с удвоенной частотой, с которой синхронизируется работа системы ФАПЧ.

Частота генератора управляемого напряжением, выбранная равной 125 кГц. После синхронизации системы ФАПЧ на выходе синхронного детектора появляется постоянное напряжение, которое с помо-

щью триггера Шмитта включает синхронное напряжение когерентной частоты 31,25 кГц, необходимое для работы детектора (А Б).

Неопределенность оценки фазы в 180° , которая возникает в результате применения квадратора, устраняется следующим образом. Если фазы сигналов на входах синхронного детектора совпадают, то на его выходе формируется постоянное напряжение определенного знака. В этом случае триггер Шмитта выбирает сигнал на подключение к аттенуатору прямого выхода второго делителя частоты на два.

Если же сигналы на входах синхронного детектора противофазны, на его выходе постоянное напряжение обратного знака. Поэтому триггер Шмитта переключает вход аттенуатора на другой — инверсный — выход второго делителя частоты на два. Этот делитель представляет собой обратный триггер со счетным входом.

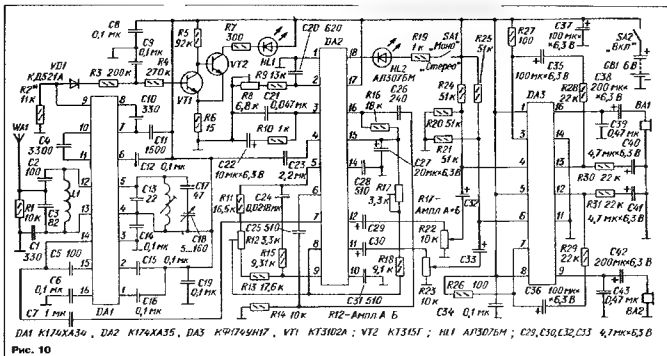
Для получения указанных характеристик необходимо соблюдение допусков на некоторые навесные элементы (см. типовую схему включения). Резистором R1 выполняют начальную настройку частоты ГУН. Светодиод HL1 индицирует режим стереосигнала, переключатель SA1 позволяет переходить в режим "Моно".

На рис. 4—9 показаны некоторые наиболее важные типовые характеристики микросхемы K174XA35.

Рис. 4 иллюстрирует зависимость потребляемого тока и коэффициента гармоник на выходах каналов А и Б в режиме "Стерео", рис. 5 — коэффициента разделения стереоканалов, а рис. 6 — коэффициента передачи каналов А и Б в режиме "Стерео" и нормированную зависимость собственной частоты ГУН от напряжения питания.

На рис. 7 представлен график зависимости коэффициента гармоник на выходах каналов А и Б в режиме "Стерео" от уровня входного сигнала.

Температурная зависимость потребляемого тока, коэффициента передачи каналов в режиме "Стерео" и нормированная температурная зависимость частоты



Основные характеристики*

Номинальное напряжение питания, В	6
Потребляемый ток, мА, при номинальном напряжении питания в режиме "Стерео", не более	11
"Моно" (типное значение)	4,5
Коэффициент передачи в режимах	
"Стерео"	0,8...1,4
"Моно"	0,7...1,3
Коэффициент разделения стереосигналов, дБ, не менее, в режиме "Стерео"	34
Разбаланс по выходному напряжению между сигналами каналов, дБ, не более	2
Коэффициент гармоник в режиме "Стерео", %, не более	0,5
Отношение сигналов в режиме "Стерео", дБ, не менее	60
Выходное сопротивление (типное значение), Ом	1,5
Уровень подавления сигнала поднесущей частоты 31,25 Гц в режиме "Стерео", дБ, не менее	20
Уровень подавления сигнала третьей гармонической поднесущей частоты 62,5 и 93,75 кГц в режиме "Стерео", дБ, не менее	40
Предельно допустимые значения	
Напряжение питания, В, в режиме "Стерео"	5,4...6,6
"Моно"	3,6...6,6
Напряжение входного сигнала, мВ	200...300
Ток индикатора (через вывод 18), мА	1...10
Минимальное сопротивление нагрузки, Ом	47
Температура окружающей среды, °С	-25...+70

* При температуре окружающей среды 25±10 °С, напряжении питания в пределах 5,4...6,6 В, входном напряжении 250 мВ, поднесущей частоте 31,25 кГц, модулирующей частоте 1 кГц, коэффициент модуляции 50%.

ГН представляются на рис. 8 и 9.

На рис. 10 в качестве примера применения микросхемы К174ХА35 показана полная схема стереофонической радиоприемника на трех микросхемах серии К174 (описание микросхем КФ174УН14 см. в [7]). Подстроечные резисторы R12 и R17 позволяют довести разделение стереоканалов до 60 дБ.

Материал подготовил
С. БИРЮКОВ

г. Москва

ЛИТЕРАТУРА

1. Газдаев С. Микросхема К174ХА34 — Радио, 1995, № 10, с. 62, № 11, с. 45
2. Журилин П. М., Стегудовичевы М. С. Селез, 1980
3. Журилин П. М., Милехин В. В., Поляткин П. П. Методы построения современных и перспективных одноступенчатых среднечастотных на интегральных схемах — Техника средств связи (сер. ТРА, вып. 2), 1988, с. 14—27
4. Кравчук Н. Я., Милехин В. В., Поляткин П. П. Патент № 1172033 — Бюллетень "Открытие, изобретения", 1985, № 29
5. Кравчук И. Я., Милехин В. В., Поляткин П. П. Патент № 1222513 — Бюллетень "Открытие, изобретения", 1986, № 13
6. Кравчук И. Я., Милехин В. В., Поляткин П. П. Патент № 1222513 — Бюллетень "Открытие, изобретения", 1986, № 43
7. Новаченко И. Микросхемы серии К174. Телефонный усилитель ЗЧ КФ174УН17. Радио, 1990, № 1, с. 75, 76
8. В. Н. Герасимов. Двухканальный УКВ стерео. — Радио, 1994, № 11, с. 15—17.

«РАДИОЛЮБИТЕЛЬСКАЯ
ТЕХНОЛОГИЯ»

(Указатель публикаций журнала "Радио" в этой рубрике с 1976 по 1995 гг.)

Судя по редакционной почте, рубрика "Радиолобительская технология" (до 1984 г. — "Технологические советы") — одна из наиболее читаемых в журнале. И это понятно: публикуемые в этом разделе небольшие заметки по конструированию различных деталей и узлов радиоэлектронной аппаратуры и технологические советы по их изготовлению помогают радиолобителям в создании их конструкций.

Однако найти нужный материал, даже пользуясь годовыми содержаниями журнала, непросто. Облегчить поиск поможет помещенный ниже указатель публикаций. Для удобства пользования указателем материалы сведены в несколько тематических подборок. В цифровых ссылках первое двузначное число обозначает год публикации, второе (одно- или двузначное) — номер журнала, третье — страницу.

САМОДЕЛЬНЫЕ ДЕТАЛИ
И УЗЛЫ.
СОВЕТЫ КОНСТРУКТОРУ

Выключатель питания в приемнике "Гиссолова". С. Топанов
Четырехканальный миниаторный блок переменных конденсаторов В. Болотников

76-1-22

Мелогобаритный подстроечный конденсатор В. Габарчик
Конденсатор переменной емкости из двух КПК 2 М. Степанов

76-1-63

76-9-47

Сдвоенный переменный резистор Н. Федоров, А. Лыско
Сдвоенные переменные резисторы Н. Горюхи, В. Новиков
Тонкомпенсированный регулятор громкости Н. Аркузин, В. Зибинко, А. Ромашкова

76-1-83

77-8-59

Миниаторный переменный резистор из подстроечного. В. Нохрин

76-12-51

78-12-27

Шкала миниаторного приемника Д. Корнилов
Регулируемый резистор из подстроечного А. Гончаренко

88-10-49

91-6-73

Улучшение переменного резистора А. Логиню, Л. Ломакин
Переделка переменных резисторов СПО В. Антонов

95-11-42

76-11-59

Переменный резистор — на переключателе ПЗК В. Возный
Изготовление сдвоенного резистора В. Зефирю

78-4-55

78-9-47

Усовершенствование двуконтактных регуляторов А. Гавриленко
Защита переменных резисторов от пыли В. Анисимов

78-9-47

86-3-48

Самодельный клавишный выключатель М. Попцов
Двигатель переключателя — из тумблера П. Лебеде

76-2-57

76-9-45

Кнопочный выключатель В. Кондаков
Ножной переключатель — из ПЗК В. Коналов, Б. Печатов

77-8-59

80-1-26

Переключатель из переменного резистора. А. Алехеев, П. Гук

84-7-51

Толкатели кнопок — из трансформаторов Г. Матаев

87-2-52

Кнопка из свитчроды А. Кордачев, О. Шайда

92-11-53

95-9-45

Малогобаритный переключатель С. Дорошечин
Доработка мелогобаритного переключателя М. Роско

87-5-62

89-4-79

Сдвигание переключателей ПЗК И. Корнилов
Модификация переключателя ПЗК В. Журилин

87-5-62

87-8-61

Переключатель из переменного резистора А. Тетехин
Педаль для радиостанции В. Шебеко

88-5-45

88-9-13

Миниаторный переключатель А. Штерман
Двухконтактный переключатель из ПЗК В. Диденко

88-10-49

90-1-73

Доработка микропереключателя Р. Назаренко
Изготовление клавиатуры И. Прокофьев

90-7-74

90-10-76

Клавиатура из переключателей. Е. Мищенко, С. Мищенко
Изготовление клавиш "Пробел", А. Сигорский

92-5-28

91-11-27

Пульт управления П. Алешин
Пульт управления А. Красовский

90-9-56

92-2-3-64

Восьмиканальный пульт управления А. Романченко
Оформление кнопочного переключателя М. Штермана

94-9-34

95-11-42

Верхнерое устройство Ю. Янчик
Редуктор с большим замедлением Ф. Уткин

76-9-45

77-9-56

Самодельный верньер А. Рожневый
Устранение люфта верньерного устройства Ю. Поздняков

78-9-47

81-3-25

Простейшее верньерное устройство Н. Федотов
Верньерное устройство Н. Федотов

81-9-42

84-3-33

Верньер из шариковподшипников С. Сухоруков
Подшипники — из пишущих узлов шариковых авторучек А. Новиков, Ю. Казаменов

87-8-53

78-11-40

Цилиндрическая шкала настройки С. Романчик
Стабильная катушка Д. Желяко

85-12-55

76-12-57

Каркас для катушки П. Контур. Д. Лобанов
Воскрешение дроссели А. Греков

85-10-23

84-6-23

Дроссель на ферритовом старже Б. Григорьев
Изготовление микроавтоматического трансформатора Л. Любушин

88-9-60

92-2-3-65

Оптимизация конструкции сетевого трансформатора. В. Сильченко
Радиолобительские модули. В. Юдин

93-12-39

76-12-57

Упоринтели для головных телефонов Ю. Ильинков
Амбюшеры для телефонов. Л. Бегежа

76-2-54

80-10-19

НАША КОНСУЛЬТАЦИЯ

КИСЕЛЕВ А. ТЕРМОСТАБИЛИЗАТОР С ЦИФРОВОЙ ИНДИКАЦИЕЙ. — РАДИО, 1994, № 9, с. 26–28

Печатная плата.

Чертеж возможного варианта печатной платы термостабилизатора и расположение деталей на ней показаны на рисунке. Ее можно изготовить из фольгированного гетинакса или стеклотекстолита толщиной 1,5...2 мм. На плате монтируют все детали, кроме выключателей SA1–SA13, светодиодных цифровых индикаторов HG1–HG3, светодиода HL1, датчика VD6, диодов выпрямителя VD7–VD10 и транзистора VS1. Плата рассчитана на установку постоянных резисторов МЛТ, подстроечных СПЗ-38а, конденсаторов КМ, стабилизаторов КС156А в стеклянных корпусах (при малом расстоянии между отверстиями под выводы детали устанавливают перпендикулярно плате). Перед установкой на плату вывод 15 микросхемы DD2–DD4 необходимо обрезать или отогнуть. Не показанные на схеме в статье конденсаторы: C5–C7 — блокировочные (также КМ емкостью 0,047, 0,1 мкФ). Штриховыми линиями на рисунке изображены проводочные перемычки. Если используется неизолированный провод, в местах прохода между выводами микросхем и тран-

зисторов с разогретыми при пайке выводами).

НЕЧАЕВ И. ПРИСТАВКА К ВОЛЬТМЕТРУ ДЛЯ ИЗМЕРЕНИЯ ЕМКОСТИ КОНДЕНСАТОРОВ. — РАДИО, 1995, № 6, с. 25–27.

О микросхеме DD1.

Микросхема DD1 — К561ЛН2.

ГЕРЦЕН Н. УНИВЕРСАЛЬНОЕ ЗАРЯДНО-УСТРОЙСТВО. — РАДИО, 1993, № 12, с. 40, 41.

Почему вещита, правильно настроенная без нагрузки, не срывает ватт при подключенной нагрузке?

Наиболее вероятная причина такого поведения защиты — недостаточное напряжение питания ОУ DA1 из-за малой мощности трансформатора Т1. Чтобы убедиться в этом, необходимо отсоединить вторичную обмотку трансформатора от выпрямительного моста VD1–VD4 и нагрузить ее включенным реостатом переменным резистором с номинальным сопро-

противлением переменного резистора, при котором напряжение на постоянном равно 2 В (это соответствует току нагрузки примерно 50 мА). Добившись этого, подсоединяют вольтметр (конечно, изменив предел измерения) параллельно обмотке трансформатора. Переменное напряжение при указанном токе нагрузки должно быть не менее 18...20 В, в противном случае придется либо перемотать вторичную обмотку, либо использовать другой трансформатор.

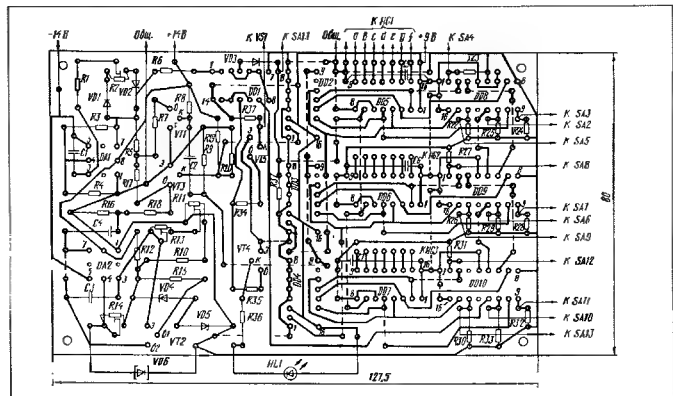
КАПУСТИН С. ПРОБНИК ДЛЯ ПРОВЕРКИ ГОДНОСТИ ОПЕРАЦИОННЫХ УСИЛИТЕЛЕЙ. — РАДИО, 1994, № 5, с. 29.

О "цоклевке" ОУ К140УД2.

Вывод напряжения питания. У операционного усилителя К140УД2 имеет номер 1 (а не 12, как указано на рис. 1 в статье).

Повышение надежности работы пробника.

При использовании в устройстве транзистора с высоким значением статического коэффициента передачи тока β_{H3} светодиод HL1 вспыхивает после включения питания и не гаснет даже в том случае, если проверяемый ОУ на подсоединен. Для устранения этого недостатка наш



зисторов на перемычки необходимо надеть отрезки неэластичной трубки подходящего диаметра (лучше всего фторопластовой, тогда можно будет не опасаться возникновения замыканий пере-

ключением 0,5...1 кОм и соединенным с ним последовательно постоянным резистором сопротивлением 39...43 Ом. Подключив параллельно последнему вольтметр переменного тока, подбирают такое

читатель О. Куция из г. Бурштын Ивано-Франковской обл. (Украина) предлагает соединить вывод базы транзистора с общим (минусовым) проводом через резистор сопротивлением 20 кОм.

К КТИ-МК КОНСУЛЬТАЦИОННО-ТЕХНИЧЕСКИЙ ЦЕНТР ПО МИКРОКОНТРОЛЛЕРАМ

Однокристальные микроконтроллеры,
 обрание, каталоги фирм
PHILIPS INTEL AMD ATMEL Microchip
ZILOG Motorola OKI Hitachi Dallas

Память : ОЗУ, ПЗУ, FLASH, EEPROM

Периферия : порты, таймеры, ЦАП, АЦП, часы

Логика : КМОП 74НС...

Дисплейные модули: алфавитно-цифровые ЖКД
 графические ЖКД
 сегментные светодиодные

SMD-технология : ИМС, конденсаторы,
 резисторы, транзисторы, диоды,
 установок для монтажа.

Установочные элементы.

Универсальная отладочная плата EB552

Предназначена для макетирования и отладки устройств,
 разрабатываемых на базе процессоров семейства 80C51
 На плате установлен процессор 80C552 фирмы Philips,
 ОЗУ - 32Кб, ПЗУ - 32 Кб, Эмулятор ПЗУ - 32 Кб,
 ЖК-дисплей 2Х24, часы реального времени - I2C,
 Процессор 80C552 имеет систему команд MCS-51,
 встроенный 8-ми канальный 10-ти разрядный АЦП со
 временем преобразования 50 мкс при F=11.059МГц,
 интерфейс RS232 и I2C, шесть портов в/в, сторожевой
 таймер.

Плата снабжена удобным макетным полем, на которое
 выведены все сигналы процессора

Плата EB552 может подключаться к любому
 IBM-совместимому компьютеру. При отладке программа
 пересылается из компьютера по RS-232 в виде
 HEX-файла

Макетные платы для микроконтроллеров
Intel, Atmel, Dallas, Microchip, PHILIPS
 Программаторы для микроконтроллеров,
 ПЗУ и FLASH

Принимаем заявки на разработку,
 изготовление опытных и серийных
 заказных контроллеров

**Закключаем договора с предприятиями на проведение программы
 долгосрочной комплектации.**

**Принимаем заказы на изготовление однокристальных
 микроконтроллеров с масочной прошивкой.**

тел./факс в Москве : (095) 972 3416, 973 1855, 973 1923 Relcom: cec@ceo.msk.ru

Воронеж . (0732) 23 0353 ф. 23 4891

Минск : т./ф.(0172) 53 0330

ВЕЛИКОЛУКСКОЕ АООТ "РАДИОПРИБОР"

предлагает:

- Генераторы сигналов низкочастотные: ГЗ-112, ГЗ-112/1, ГЗ-117, ГЗ-118, ГЗ-120, ГЗ-121, ГЗ-123, ГЗ-124, ГЗ-126.
- Генератор сигналов высокочастотный Г4-153.
- Генераторы сигналов специальной формы: Г6-34, Г6-36, Г6-37, Г6-39, Г6-40.
- Микровольтметры селективные: В6-9, В6-10.
- Усилители: селективный У2-11, мощности У7-5, дифференциальный У7-6.
- Измеритель иммитанса (индуктивности, сопротивления, емкости и добротности) Е7-15.
- Медиаппаратура: кардиостимулятор пиццеводный КСП-01, аппарат электроанализа ЭА-500-1.
- Измерители коэффициента шума группы "Х".
- Бытовая радиоаппаратура: магнитофоны "Соната-216", "Соната-213С", "Соната-423С"; магнитола "Соната-223"; проигрыватели "Соната-П-421С", "Соната-П-422С"; антенна телевизионная комнатная; универсальный источник питания, радиоприемники УКВ диапазона; зарядные устройства и др.

Наш адрес: 182100, г. Великие Луки Псковской обл.,
 ул. Некрасова, 18/7.

Телефоны: (81153) 3-63-74, 3-93-31.

Факс (81153) 5-09-61. Телекс 333113 МАК.

✓ **КОМПЛЕКС-5М** - радиорелейная станция
 (диапазон 11 ГГц), 2 дуплексных ствола, от 30 до
 240 телефонных каналов, возможна передача
 телевизионной программы по одному стволу при
 сохранении телефонии по 2-му стволу, длина
 одного пролета до 50 км

✓ **ПЧМ-30** - радиовещательный УКВ ЧМ передатчик
 (66...74 МГц) моно- и стереорежимы, выходная мощ-
 ность 30 Вт. Возможна поставка антенны и усилителя
 мощности УМ-300Н (300 Вт), УМ-500Н (500 Вт);

✓ **СТВ** - приемник спутникового телевидения -
 обеспечит качественный прием программ Российского
 телевидения в любой местности

✓ **АКУСТРОН**, "РАСХОД-7" - ультразвуковые
 счетчики расхода воды и др. жидкостей. Точность
 0,5...1 %, диаметр трубопроводов 10...1400 мм.

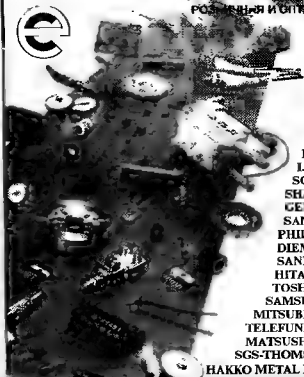
✓ **ММ-2** - цифровой мультиметр (измерение по-
 стоянного и переменного токов, сопротивления,
 напряжений), активное входное сопротивление
 -1МОм Вес - 300 г, габариты - 150х80х30 мм.

✓ **КАСКАД-МИКРО**- УКВ стереоприемник для
 прослушивания стереорадиопередач УКВ
 диапазона (64...75 МГц) на головные телефоны.

**СКОЛЬКО НУЖНО СДЕЛАТЬ ТЕЛЕФОННЫХ ЗВОНКОВ,
ЧТОБЫ КУПИТЬ ВСЕ НЕОБХОДИМЫЕ ВАМ ЭЛЕКТРОННЫЕ КОМПОНЕНТЫ?
ТОЛЬКО ОДИН.**

ЗВОНИТЕ В ФИРМУ "ЭЛЕКТРОННЫЕ КОМПОНЕНТЫ".

РОЗНИЧНАЯ И ОПТОВАЯ ПРОДАЖА ТОВАРОВ.



ЕСА
I.T.T.
SONY
SHARP
GEBRA
SANYO
PHILIPS
DIEMEN
SANKEN
HITACHI
TOSHIBA
SAMSUNG
MITSUBISHI
TELEFUNKEN
MATSUSHITA
SGS-THOMSON
HAKKO METAL IND.

Около 10000 наименований деталей для сервиса компьютеров, TV-, VIDEO-, и AUDIO-техники со склада в Москве и более 20000 наименований под заказ по разделам:

- ✓ интегральные микросхемы;
- ✓ полупроводниковые элементы;
- ✓ оптоэлектроника;
- ✓ пассивные элементы;
- ✓ строчные трансформаторы;
- ✓ ремонтное и паяльное оборудование;
- ✓ измерительные приборы;
- ✓ источники питания;
- ✓ механика для видеотехники;
- ✓ справочники фирм-производителей (CD-версия. SGS, Siemens, Samsung, IC-Master);
- ✓ техническая литература

✉ прием заказов по факсу и телефону,
✉ по России возможна почтовая доставка;
✉ каталог высылается по запросу

☎ (095)281-0429; 281-4025
E-mail: meta@elcomp.msk.ru

ДОСКА ОБЪЯВЛЕНИЙ

НПО "АВРОРА"

предлагает государственным и независимым телерадиокомпаниям.

✓ телевизионные транзисторные передатчики МВ и ДМВ диапазонов мощностью 20, 50, 100, 200, 500 и 1000 Вт блочной конструкции с электронной защитой. Модулятор, высокочастотный усилитель, блок питания легко отсоединяются для ремонта или обслуживания. При неисправности одного из блоков передатчик работает с уменьшенной мощностью;

✓ измерительные приборы для технического обслуживания студий;

✓ поставку импортных ТВ передатчиков МВ и ДМВ диапазонов мощностью до 100 кВт;

✓ поставку запасных частей, монтаж, гарантийное и послегарантийное обслуживание.

Адрес: 630020, г. Новосибирск, ул. Объединения, 8.
Телефоны: (3832) 749461, 749462.

УНИКАЛЬНЫЕ КНИГИ

по ремонту иностранной теле- и видеотехники, другая литература. Для каталога вложите подписанный конверт 160002 ВОЛОГА а/я 32 «РК»

ОТЕЧЕСТВЕННЫЕ И ИМПОРТНЫЕ

РАДИОТОВАРЫ

микросхемы, транзисторы и др. Прямые поставки.

Цены - московские.

Адрес: г. Иркутск, Октябрьская ул., 2.
Телефон (3952) 28-10-64.

А/О «СИНТЕЗ»

ВЫСЛАЕТ НАЛОЖЕННЫМ ПЛАТЕЖОМ:

• NEWI МИНИ-АТС "ДВОЙНИК". Радионабор.

Устройство создает независимый телефонный номер и подключает его к уже существующему на городской АТС номеру. Абонент этого независимого номера по своему основному владению не создает. Чтобы позвонить этому абоненту, следует набрать существующий номер ДВА РАЗА ПОДРЯД. Установка МИНИ-АТС разрешения и регистрации не требует. Комплект: печатная плата, полный набор радиодеталей, схема, инструкция. Цена 45 \$

• NEWI МИНИ-АТС "ДВОЙНИК". Изделие. Цена 110 \$

• NEWI БЛОК ПИТАНИЯ К "ДВОЙНИКУ". Изделие. Цена 22 \$

• NEWI ИНДИКАТОР ПОЛЯ "ЛИС". ИЗДЕЛИЕ.

Обнаружение источников электромагнитного излучения небольшой мощностью в широком диапазоне радиоволн. Радиус уверенного обнаружения с 1,5 м. Индикация световая. Питание 9 В. Габариты 12x15x25 мм. Цена 40 \$

• NEWI МИКРОПЕРЕДАТЧИКИ "ФИЛИН" и "ФИЛИН-2". Радионаборы. Для локальной связи и охранной сигнализации.

Через встроенный микрофон звуковая информация улавливается и передается на частотах 90-96 МГц. Габариты 12x18x25 мм. Чувствительность микрофона 10 м. Дальность передачи для "Ф-1" 150 м, для "Ф-2" 800 м. Комплект для каждого набора: печатная плата, полный набор радиодеталей, схема, инструкция. Цена каждого набора 14 \$

• NEWI АОИ "РУСЬ-20" НА КР 1830ВЕ 31. Радионабор

Схема "Элмас" и последняя версия "Русь" в 1996 году! Комплект: собранная наложенная плата со всеми радиодетальными, прошивкой ПЗУ, индикатор, схема, описание версии.

Вставляете эту плату в Ваш телефон и начинаете определять номер и использовать еще сто функций АОИ "Русь-20". Цена: 90 \$

• БЛОК ПИТАНИЯ АОИ. Изделие. Цена 20 \$

Эти и другие радионаборы, изделия, схемы, инструкции и справочники — в БЕСПЛАТНОМ КАТАЛОГЕ!

103045, Москва, а/б.яц. 121

Научно-технический центр
"ЭЛЕКТРОН-СЕРВИС"



COOPER

CooperTools

Выставка Связь-Экспоком
Москва, май 1996
павильон 2, стенд 3106

крупнейший в США и ведущий в мире производитель оборудования и инструмента для сервисного обслуживания, производства и ремонта микросистемных устройств

ПРЕДЛАГАЕТ

самую современную технологию и широкий спектр профессионального инструмента следующих известных серий:

WELLER паяльники систем Magnostat, Temtronic, Microtouch для решения любых технологических задач; с регулируемой и контролируемой температурой, низковольтные (12V, 24V), батарейные и сетевые (220V) любой мощности, автономные газовые паяльники системы Eutroper; уникальный диапазон сменных наконечников, отпайивательных насадок и приспособлений, контактные и безконтактные (горячий воздух) паяльники и отпайивательные станции, в том числе обеспечивающие эффективное отпайивание и пайку всех видов микросхем, многофункциональные ремонтные станции для всех видов монтажа;

WIRE-WRAP портативные устройства и инструменты для намоточного монтажа, обеспечивающие мгновенное соединение (намоткой) провода (d 0.25-1.0 мм) с терминалом;

XCELITE и **EREM** - богатейший спектр прецизионного инструмента для выполнения любых монтажных операций: антимагнитные и антистатические пинцеты, отвертки, ключи, стрипперы, плоскогубцы, кусачки, экстракторы, ножи и т.д.

НТЦ "Электрон-Сервис" эксклюзивный дистрибутор CooperTools в России и СНГ реализует всю гамму изделий по ценам каталога фирмы за рубль со склада в Москве, обеспечивает гарантию и технологическую поддержку, предоставляет скидку для оптовых покупателей. По запросам предприятий и организаций высылаем фирменные каталоги оборудования любой из вышеперечисленных серий.



Кроме того, предлагаем весь ассортимент продукции фирмы **MULTICORE** (Великобритания) - ведущего производителя припоев, флюсов, паяльных паст и специальных химикатов для всех видов пайки. Впечатляющее повышение производительности труда и практически полное исчезновение брака в Вашей работе окупает затраты за 1-2 месяца. Совсем недорого - за удовольствие работать превосходным инструментом!

Незаменимая техника

Связь и коммуникации

Контроль и испытания

Аудио, видео и TV

Лаборатории

NAMEG

Tektronix

FLUKE

WAVETEK

- | | | | |
|---|--|-------------------------------------|---------------------------------------|
| ✓ LAN-, fiber-optic и кабельные тестеры | ✓ Аналоговые и цифровые осциллографы | ✓ Измерители искажений и детонации | ✓ Блоки питания |
| ✓ ЭМС и СВЧ измерения | ✓ Анализаторы спектра и формы сигналов | ✓ AM, FM, Video и TV генераторы | ✓ Мультиметры |
| ✓ Анализаторы и индикаторы полей | | ✓ Генераторы и синтезаторы сигналов | ✓ AC/DC, DC/DC и DC/AC модули 1W-10kW |

НТЦ "ЭЛЕКТРОН-СЕРВИС" - 105037 Москва, 1-я Парковая 12,
факс: 367-1818, тел: 163-1249, 163-0380, 163-0388, 367-1001.
E-mail: postmaster@elscrv.msk.su

Научно-технический центр
"ЭЛЕКТРОН-СЕРВИС"



- ☑ Государственная лицензия N 12.0163
- ☑ Эксклюзивный представитель концерна "ESCORT" и фирмы "PINTEK"
- ☑ Официальный представитель ПО "Белвар", АО "Краснодарский ЗИП", АО "Радиоприбор", Киевского НИИРИА

Восьмиразрядный частотомер - EFC - 3203A

- Измерение частоты: от 0.1 Гц до 2.4 ГГц
- Канал А имеет отключаемые: входной аттенуатор 10:1, фильтр НЧ;
- Измерения периода от 0.285 мс до 200 мс с разрешением от 100 нс до 100 мкс
- Подсчет числа импульсов до 99,999,999;

Цифровые токовые клещи ЕСТ - 650

III Незаменяемый прибор электрики III

Измеряют:

- Напряжение: 0,1 В - 750 В;
- Ток: 0,1 А - 300 А БЕЗ РАЗРЫВА ЦЕПИ
- Сопротивление: 1 Ом - 2 кОм.
- 3,5 разрядный ЖКИ;
- Удержание показаний;

Габариты и вес 185-62-25 мм, 250 г.



Двухканальный 60 МГц осциллограф PINTEK RS-608 с режимом курсорных измерений ЭЛТ PANASONIC, комплектующие NEC, режим X-Y, TV синхронизация

Коэффициент отклонения: 5мВ - 5В/дел
Плавное масштабирование: до 5 крат
Погрешности: ±3% Время нарастания: 1нС

Максимальная амплитуда 400 В
Развертка: 0,5 В/дел-0,1 мС/дел
Масштабирование: x 10

Задержка развертки регулируемая
Питание: 110/240В, 55 Вт
Габариты и вес 324 x 398 x 132 мм., 8,5 кг

А также более 350 наименований контрольно-измерительных приборов и аппаратуры с гарантией 1 год.

Телефоны отдела продаж: ☎/факс (095) 344 8476, ☎ (095) 844 6707

Прайс-лист и другую информацию Вы можете получить с автоматического факс-сервера (095) 303 7226 (с 9 до 17).
Наш адрес: 115612, Москва, Каширское ш., д.57, корп.5

Самые популярные модели измерительной техники - в предыдущих и следующих номерах "Радио"
Следите за рекламой

ИЗМЕРИТЕЛЬНЫЕ ПРИБОРЫ И АППАРАТУРА

АО "ПРИСТ" предлагает широкий выбор

измерительной аппаратуры отечественного и импортного производства.

- осциллографы (универсальные, специальные, запоминающие).
- генераторы (низкочастотные, высокочастотные, импульсные).
- частотомеры,
- измерители АЧХ,
- анализаторы спектра,
- измерители мощности,
- измерители RLC,
- вольтметры (универсальные, переменного тока);
- и многое другое

г. Москва тел/факс (095) 952-21-53



Старейшина среди изданий о технике и технологии экранных искусств. Самая свежая и интересная информация о новинках профессионального кино, телевидения, видео.

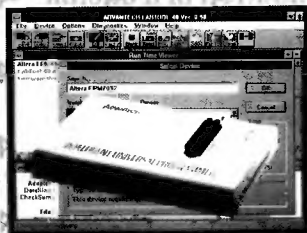
Подписка на ежемесячный журнал ТКТ принимается во всех почтовых отделениях СНГ. Индекс журнала 70972. Можно подписаться и в редакции. Наши телефоны в Москве:

158-62-25, 158-61-18

Не упустите свой шанс всегда быть в курсе последних мировых достижений в области техники кино и телевидения!

ADVANTECH

ЭЛЕКТРОНИКА



Универсальные программаторы ADVANTECH

способны работать на любом компьютере с процессором 286, 4 MB RAM, имеющим параллельный порт или слот для платы расширения. Служит основой набора периферийных устройств обеспечения универсального программирования ПЛЗУ, флэш-памяти, ПЛИСов и микроконтроллеров фирмы AMD, ALTERA, LATTICE, XILINX, INTEL, MOTOROLA, PHILIPS, ZILOG и десятков других. Обновление ПО через BBS фирмы постоянно расширяет этот список. Если Вы не знаете, как запрограммировать микроконтроллер, мы всегда Вам поможем!

Фон: в Москве (095) 971-4000
Телефоны: (095) 284-8404/8647, 844-4422
Секретариат: 812, 843-3099
Эксплуатация: 13432, 89-3459
E-mail: rosl@prosoft.moscow
ProSoft 885-971-263

ProSoft

КОМПЬЮТЕРНО-ТЕЛЕФОННЫЕ СИСТЕМЫ



Разработка и производство:

1. устройств сопряжения компьютера и телефонной линии (работа с базами данных абонентов, АОН с поисковой системой, тарификация, дозвон и пр.);
2. мини-АТС (1/4, 2/8) с функциями (п.1);
3. многофункциональных телефонов, в том числе объединяемых в мини-АТС, с оповещением на пейджер;
4. универсальных контроллеров, а также разработки под спец. заказ, в том числе для транковой связи.

ОПТОВЫЕ ПОСТАВКИ
ЭЛЕКТРОННЫХ КОМПОНЕНТОВ

ИНТЕРНАЦИОНАЛ
ТРАНЗИСТОР
АЛЬФА
INTERNATIONAL RECTIFIER



КАЗАР
ВОСХОД
КРЕМНИЙ
ПРОТОН-ОПТО
ВЕНТА

Комплексные поставки всей необходимой номенклатуры:

- ◆ со склада в Москве и под заказ в течение недели с момента оплаты;
- ◆ по согласованным ценам;
- ◆ с приемкой "1", "5", "9" в различных корпусах.

Услуги заинтересованных лиц оплачиваются!

Дистрибутор в России INTERNATIONAL RECTIFIER (США) - мощная силовая электроника (см. №12 за 1995г.).

Приглашаем посетить стенд АО "ЗОЛОТОЙ ШАР" на выставке "СВЯЗЬ-ЭКСПОКОМ-96", которая состоится в ВК "Экспонитер" на Красной Площади с 13 по 17 мая 1996 года.

Москва, ул. Чернышевского, 16, ком. 605 (м. Аэропорт)

Тел. (095) 536-3646, 152-8844, 152-8846

Факс: (095) 152-0752

E-mail: r.o.t@zolshar.msk.ru

Почта: 125310, г. Москва, а.я.

ЭРА

ВСЕ ДЛЯ ВИДЕОПРОИЗВОДСТВА И КОМПЬЮТЕРНОЙ ГРАФИКИ

Немедленно со склада!

→ ПЕРИЖАЛЬНЫ

→

→

→

→

Газета "ЭРА"

SONY
Panasonic
JVC
Ikegami
Unomat
Helwa
MAGIX
TEMS
ADIA
MS

Ваш адрес: 125080

телефон: (095) 556-21-51, 556-20-24
556-24-65, 556-24-63

факс: (095) 556-21-51
556-24-62

ПЛАТАН

Микросхемы
Транзисторы

Диоды
Конденсаторы

Резисторы
Разъемы
Реле

**ОТ МИКРОСХЕМ
ДО РЕЗИСТОРОВ**

ОПТОМ И МЕЛКИМ ОПТОМ

- * Продукция более 50 предприятий России и ближнего зарубежья.
- * Низкие цены и отличный сервис.
- * 90% продукции поставляется со склада в Москве.
- * Все виды приемки, в том числе «5» и «9».
- * Бесплатный каталог.
- * Доставка товаров почтой по России и за рубеж.
- * Прямые поставки из за рубежа по минимальным ценам: электролитические конденсаторы, резисторы, кварцы, панельки, разъемы, различные оборудование, мультиметры, тестеры и т.д.

Формы ПЛАТАН

ПЛАТАН-ОПТОМ — это оптимальное решение для тех, кто хочет купить оптом различные виды радиоэлектронной продукции по низким ценам. ПЛАТАН-МЕЛКОП — это оптимальное решение для тех, кто хочет купить мелким оптом различные виды радиоэлектронной продукции по низким ценам.

НОМИНАЛЫ:

СРАВНИТЕ ЦЕНЫ:

Москва, ул. Гиляровского, 39
тел.: (095) 284-36-69; 284-56-78; 971-09-63
гол. факс: 971-21-45
Почта: 129110, Москва, а/я 996

Все товары в розницу в магазине "Чип и Д" на улице Гиляровского 39, м. "Проспект Мира", тел. 281-99